#### 第十四章 核医学成像设备

第一节 概述

第二节 γ照相机

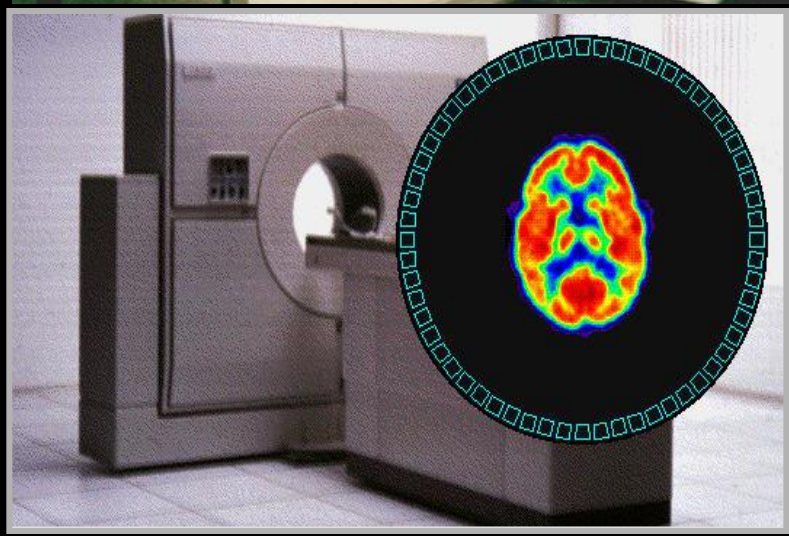
第三节 SPECT

第四节 PET









#### 复习放射性元素的基本知识

- 放射性: 原子核不稳定, 质子、中子不稳定。
- 衰变
- 衰变周期T
- 放射性活度:
- 核医学成像:跟踪放射性药物(视踪原子),在人体器官组织中的分布,探测原子核的信息,功能检测。
- 统计涨落

# 一核物理基础

## 基本概念

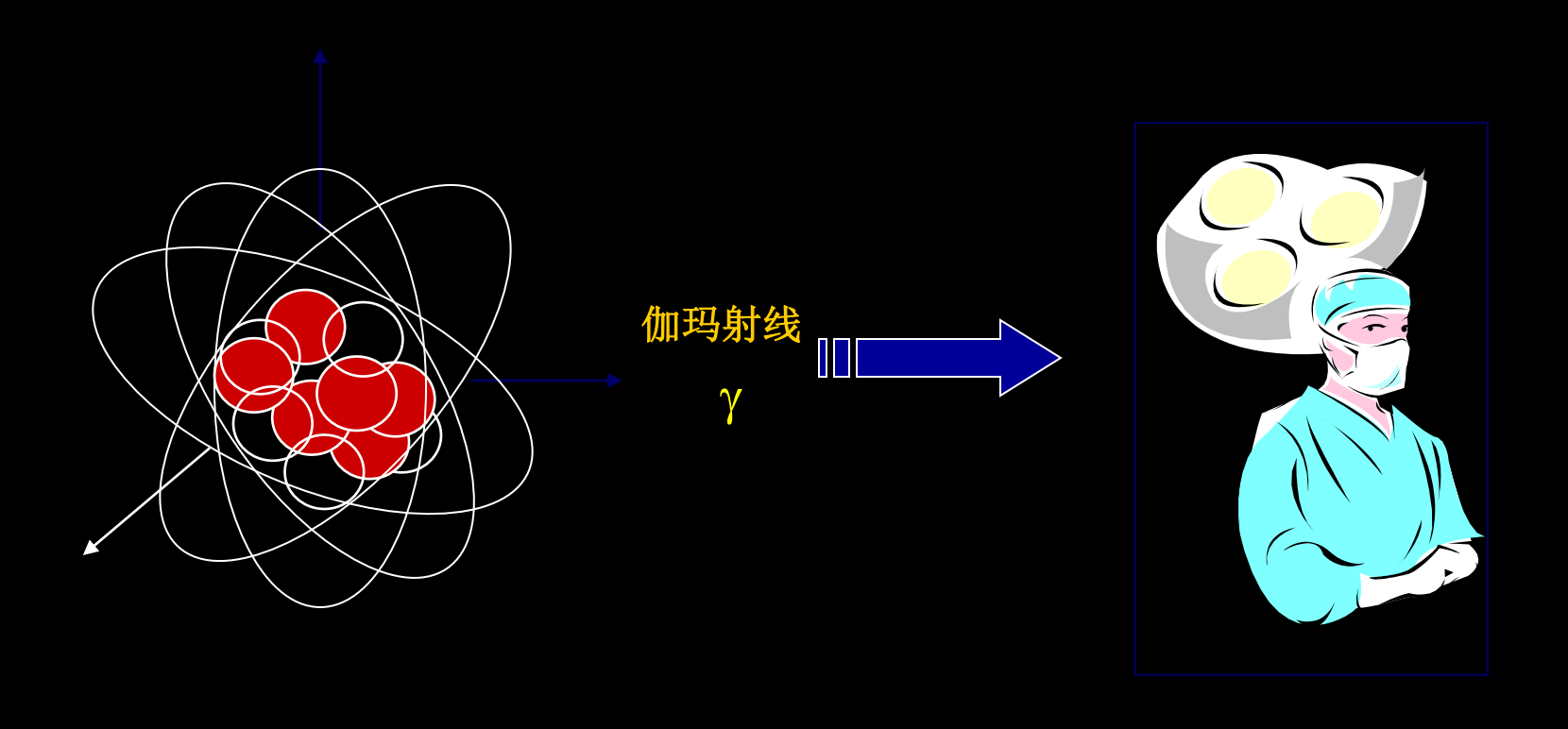
- C核素 (nuclide): 凡核内具有相同的质子数 (P)、中子数 (N)以及相同能量状态的原子为同一种核素。
- 同位素 (isotope): 凡质子数 (P) 相同,而中子数 (N) 不同的核素,彼此互为同位素。在元素周期表中,同位素处于同一位置。如 1H2H3H
- 同质异能素 (isomer):质子数 (P) 相同、中子数 (N) 相同, 而能量状态不同的核素, 彼此互为 同质异能素。如 99mTc, 99Tc

# 第一节概论

## 诊断方法

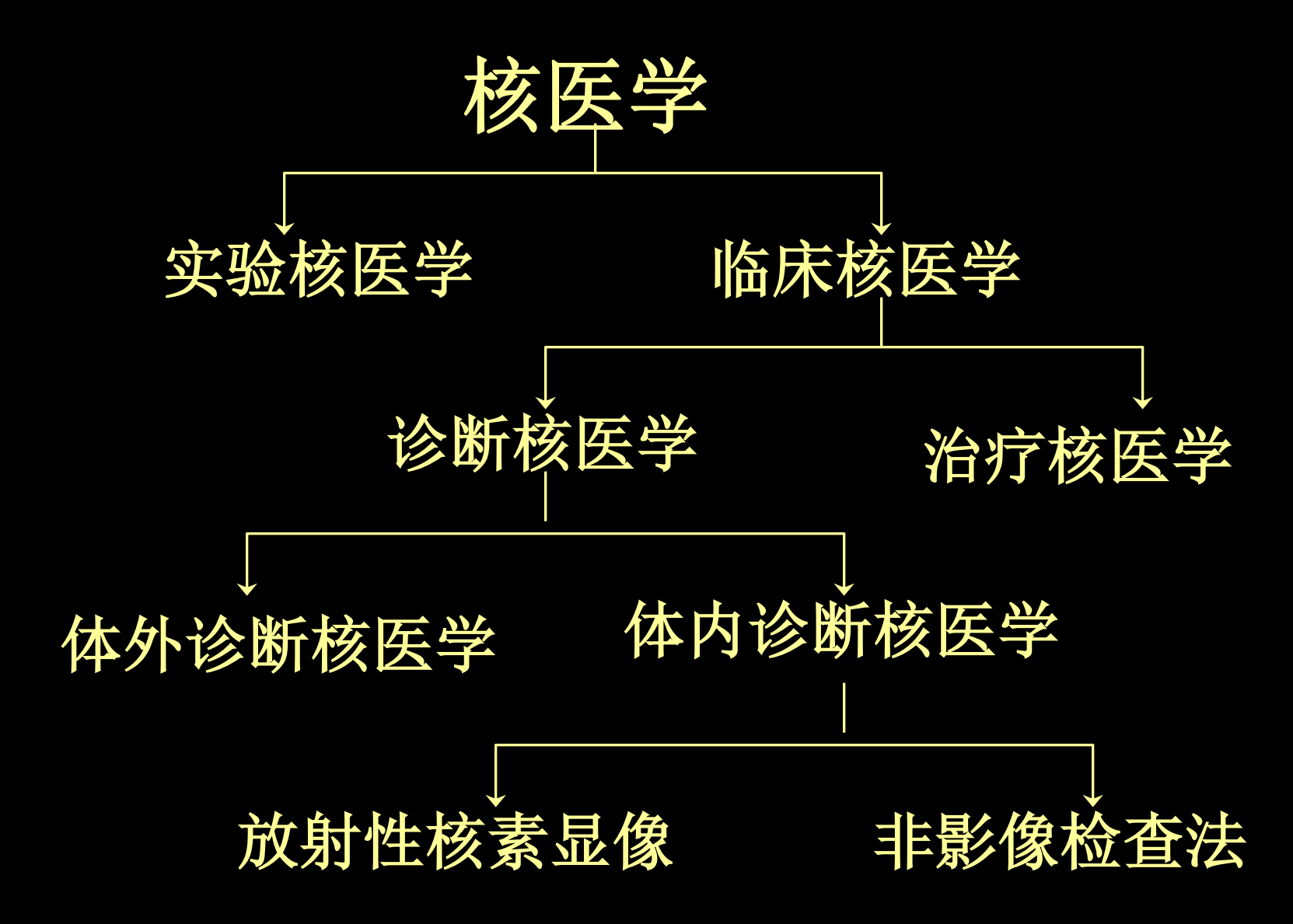
- PE: 视, 触, 叩, 听
- Blood work
- X-ray picture
- US
- XCT
- MRI
- <u>\_</u> .....

### 什么是核医学(Nuclear medicine)?



核医学是将放射性核素用于医学诊断和治疗的一门学科!

### 核医学的分类

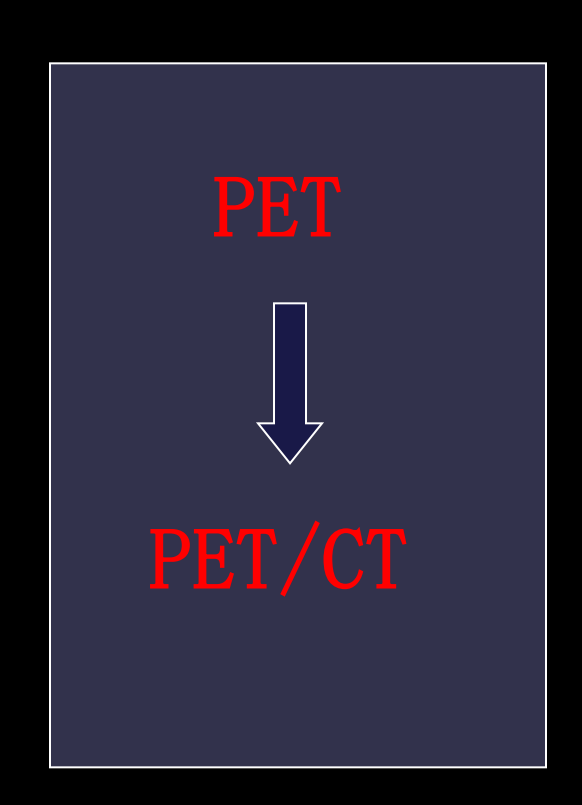


### 放射性核素显像

#### **SPECT**

PET

SPECT(singe photon emission computed tomography) 单光子发射型计算机断层。
PET(positron emission tomography)
正电子发射型计算机断层。

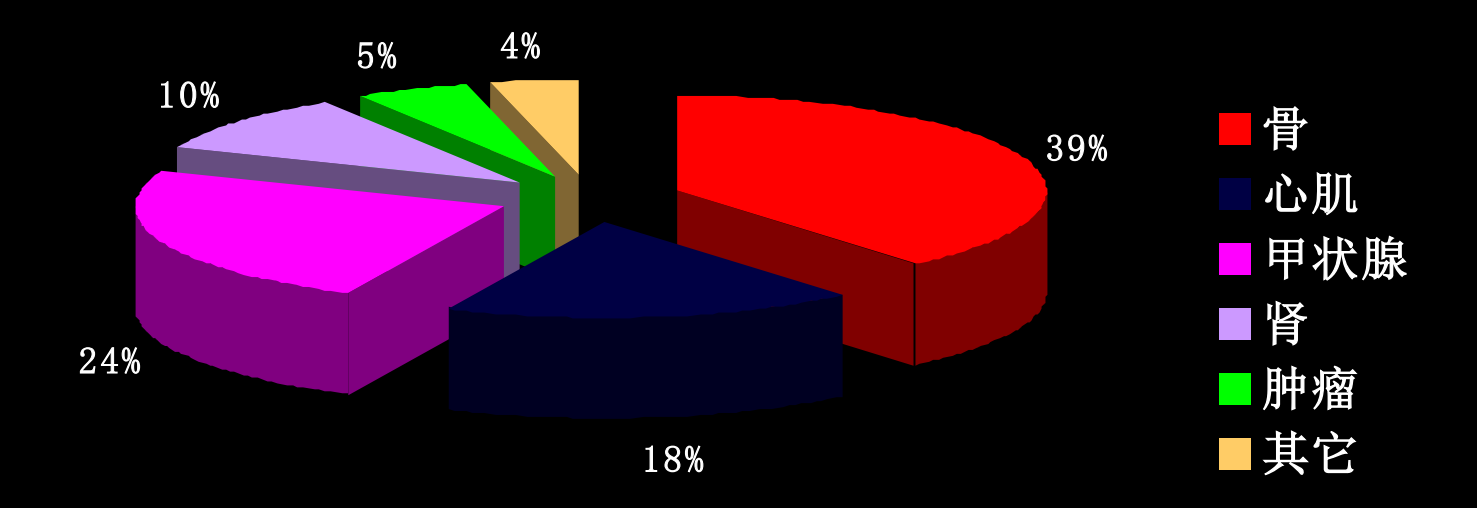


**SPECT** 



SPECT/CT

图像融合型的设备已成为主流!



## 基本概念

- -核素 (nuclide): 凡核内具有相同的质子数 (P)、中子数 (N) 以及相同能量状态的原子为同一种核素。
- 同位素 (isotope): 凡质子数 (P) 相同,而中子数 (N) 不同的核素,彼此互为同位素。在元素周期表中,同位素处于同一位置。如 1H2H3H
- 同质异能素 (isomer):质子数 (P) 相同、中子数 (N) 相同, 而能量状态不同的核素, 彼此互为 同质异能素。如 99mTc, 99Tc

## 基本概念

•稳定性核素:凡核素的半衰期大于1018年的核素,为稳定性核素。

• 放射性核素: 凡核的素半衰期小于1018年

的核素,为放射性核素。

### 基本概念-核衰变

### 衰变规律

- 核衰变为放射性同位素自发放射出带电粒子 或伽玛射线
- 核衰变的速度不以外环境条件改变
- 核衰变是随机的,但事件的集合是有规律的
- 不同放射性同位素有各自特征性的衰变规律

### 基本概念-核衰变

#### 半衰期

- 物理半衰期: T1/2 = 0.693 / λ
   (physical half life) (放射性强度减弱一半所需时间)
- 生物半衰期: Tb
   (biological half life)
   (体内放射性核素通过代谢排除一半 所需时间)
- 有效半衰期: Teff = (T1/2·Tb) / (T1/2 +Tb) (effective half life) (物理半衰期和生物半衰期共同作用使生物体内放射性强度减少一半所需的时间)

#### 基本概念一核衰变

- · 核衰变规律: N=N<sub>0</sub>e<sup>-λt</sup>
- 衰变常数 礼: 单位 时间核衰变的 几率。
- · 放射性活度 (radioactivity): 单位时间内原子核的衰变数量。
- 单位: 贝克(Bq), 居里(Ci)
   1Ci=3.7 x 10<sup>10</sup>Bq
- 1贝克:放射性核素在1秒钟内发生1次衰变。

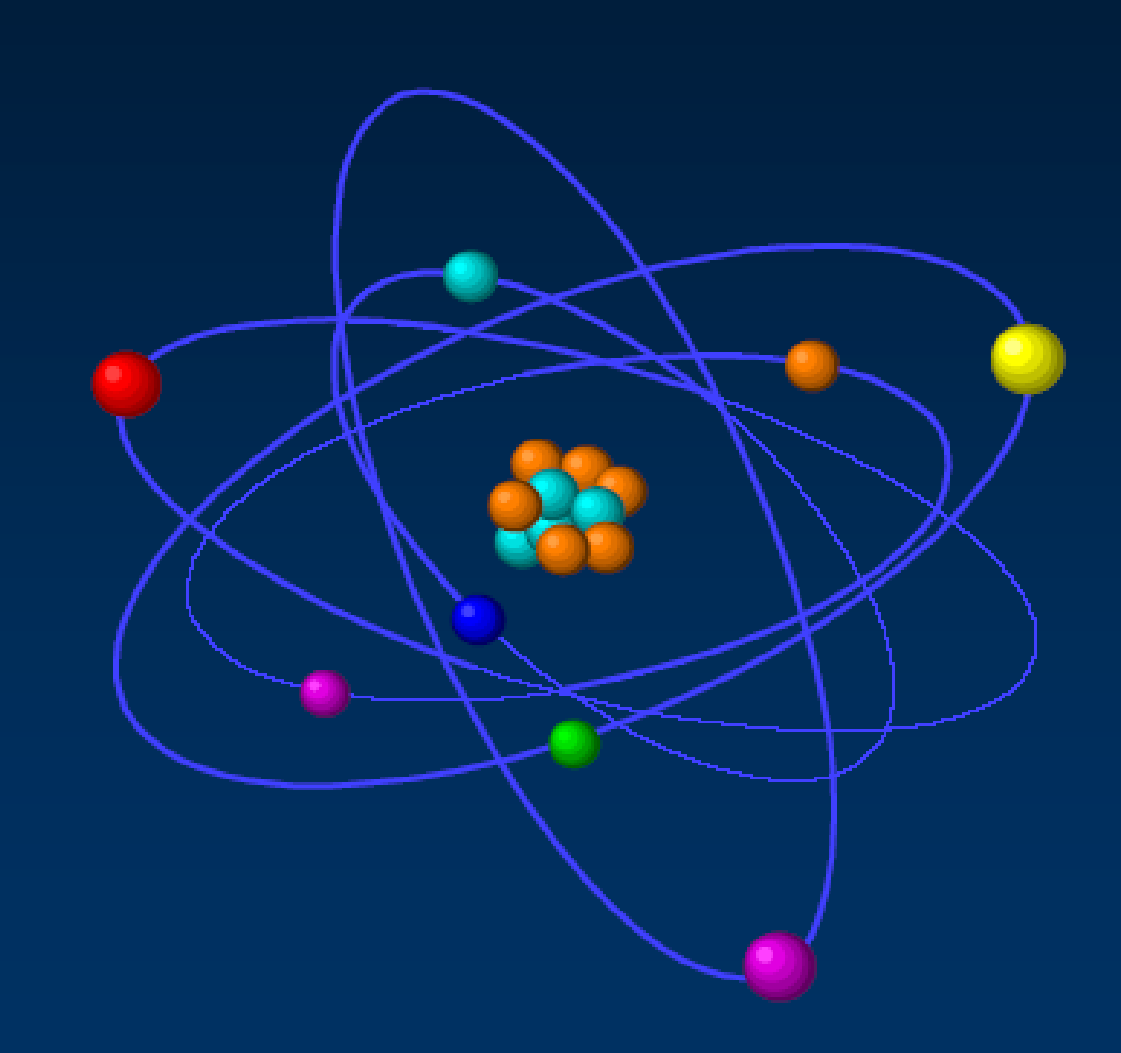
### 伽玛射线与物质的作用

伽玛射线与物质作用的三种主要效应:

• 光电子效应

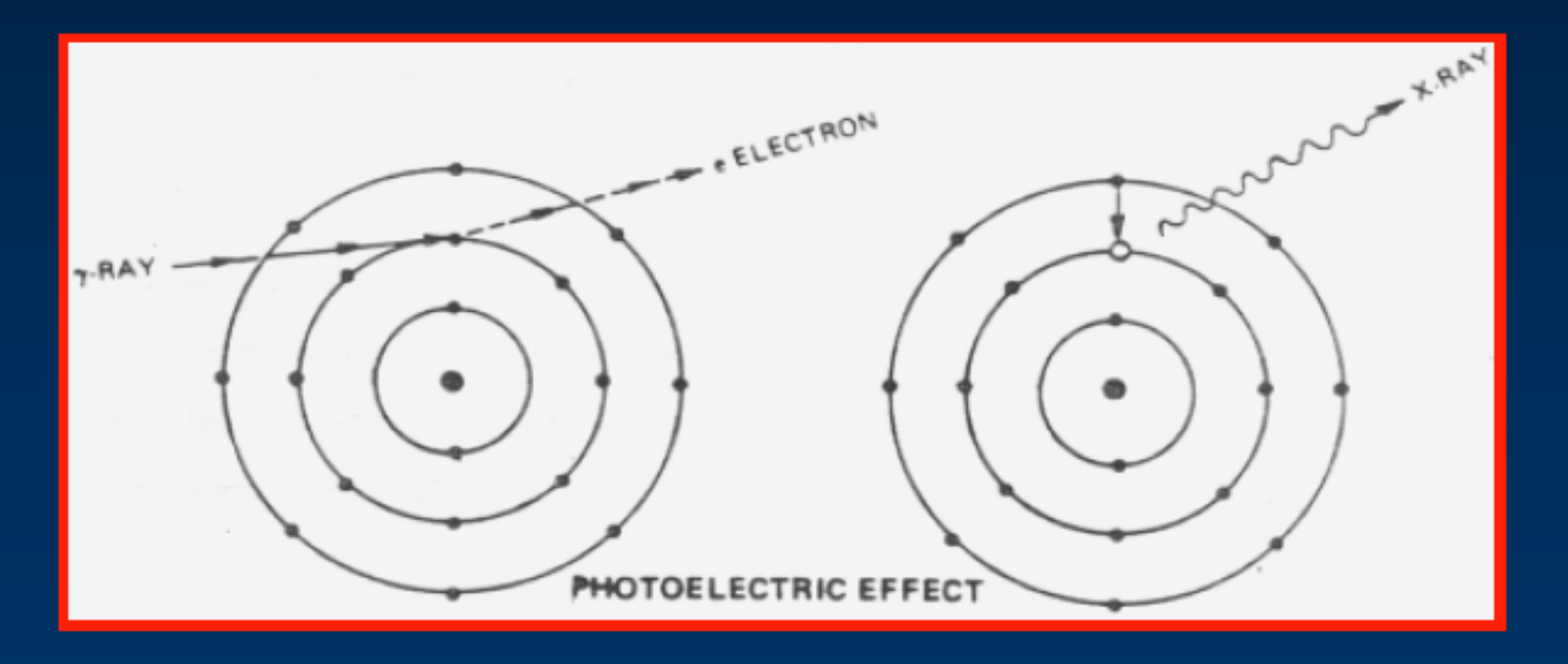
● 康普顿效应

• 电子对生成

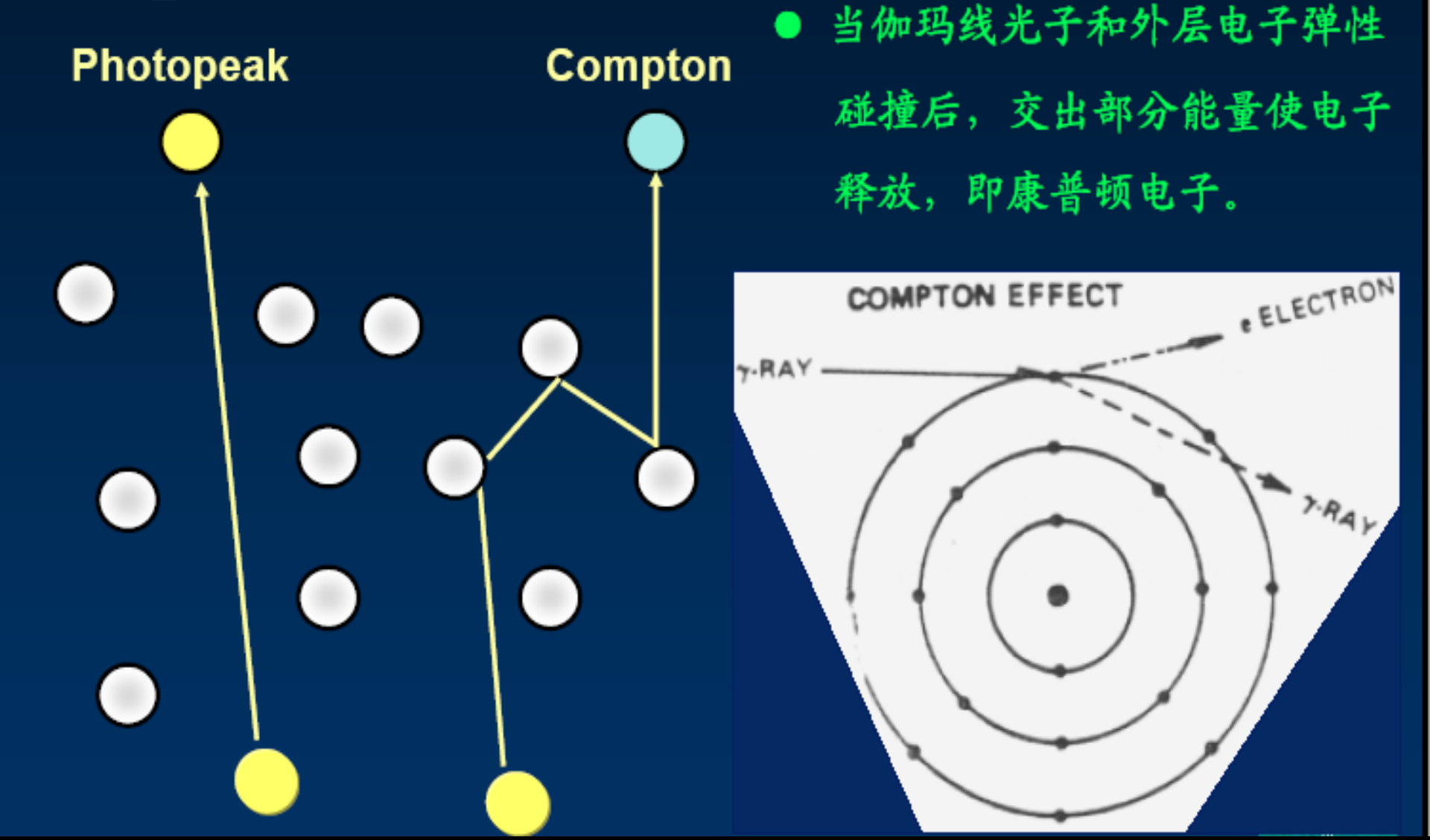


#### 光电效应

- 伽玛光子和物质作用时被原子吸收,能量交给壳层电子,电子脱离原子而发射。
- 原子因外壳层电子补充内壳层电子的空缺,会发射标志x线。
- 随光子能量的增加(> 1Mev),光电效应减弱。



#### 康普顿电子生成



#### 电子对生成

· ELECTRON 1.2 MeV 7-RAY ●发生在光 0.511 MeV Y-RAY PROSITRON 子能量大于 1.022MeV时 ● 发生在光子作用于 PAIR PRODUCTION 7-RAY 原子核的附近区域时

#### 伽玛射线与物质的作用

#### 伽玛线与物质作用的特点

光电效应: 光子被吸收, 产生光电子

康普顿效应: 光子散射,改变方向,部分能量使电子释放

电子对生成:光子被吸收,产生电子对

光子能量低时(<1 MeV)主要是光电效应和康普顿效应

光子能量高时(>1.022 MeV)电子对生成显著

# 二、ECT与XCT异同

## CT

·穿透型CT TCT(XCT)

(TRASMISSION)

·发射型CT ECT

(EMISSION)

单光子CT SPECT

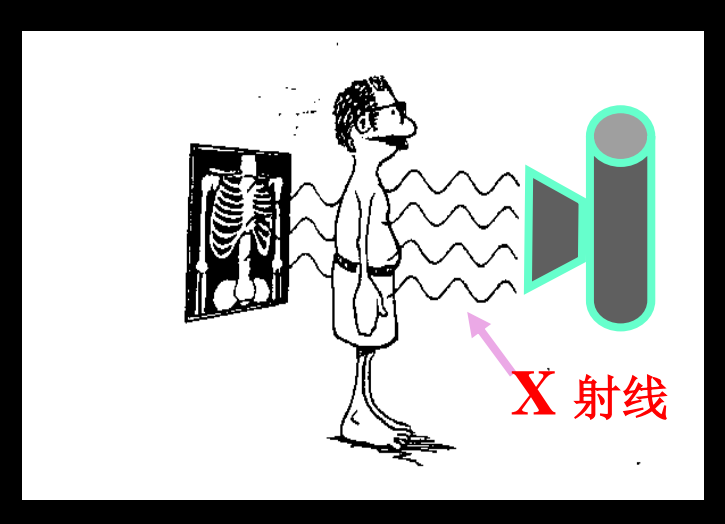
正电子CT PET

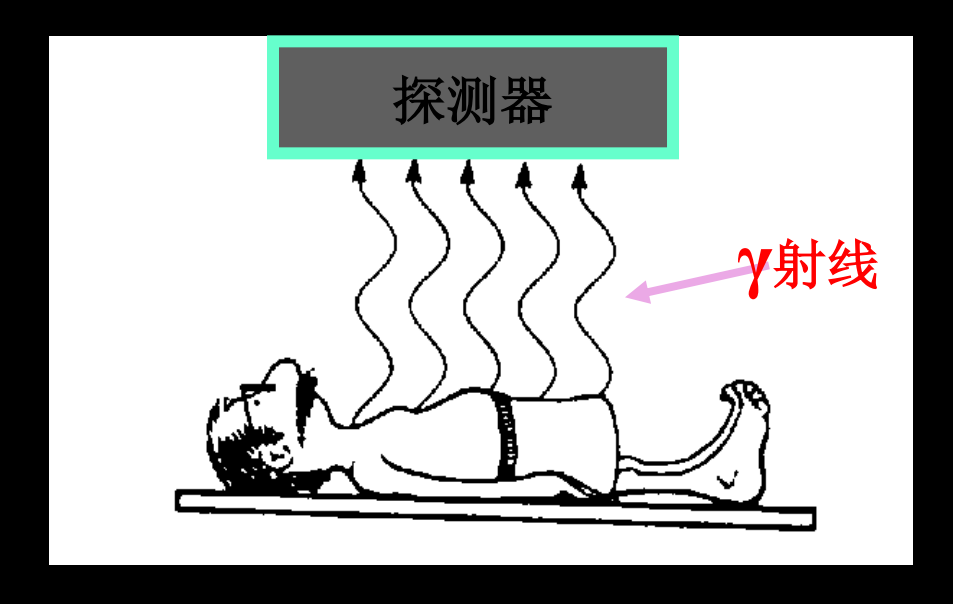
## ECT与XCT异同

- 1、采用的射线不同; CT:X射线, SPECT: γ射线
- 2、成像原理不同;
- 3、影像的重建参数和诊断依据不同。 XCT 衰变系数 组织的物理密度变化 ECT 放射性浓度变化 组织的代谢功能差异
- 4、影像构成成分不同;
- 5、空间分辨率不同; XCT机:1-3mm ECT机:4-10mm
- 6、功能不同; XCT ——精细解剖结构 ECT——功能显像十解剖结构
- 7、电离辐射损伤不同;
- 8、探测技术都采用闪烁探测技术;
- 9、影像重建技术都采用滤波反投影法。

# 显像原理比较

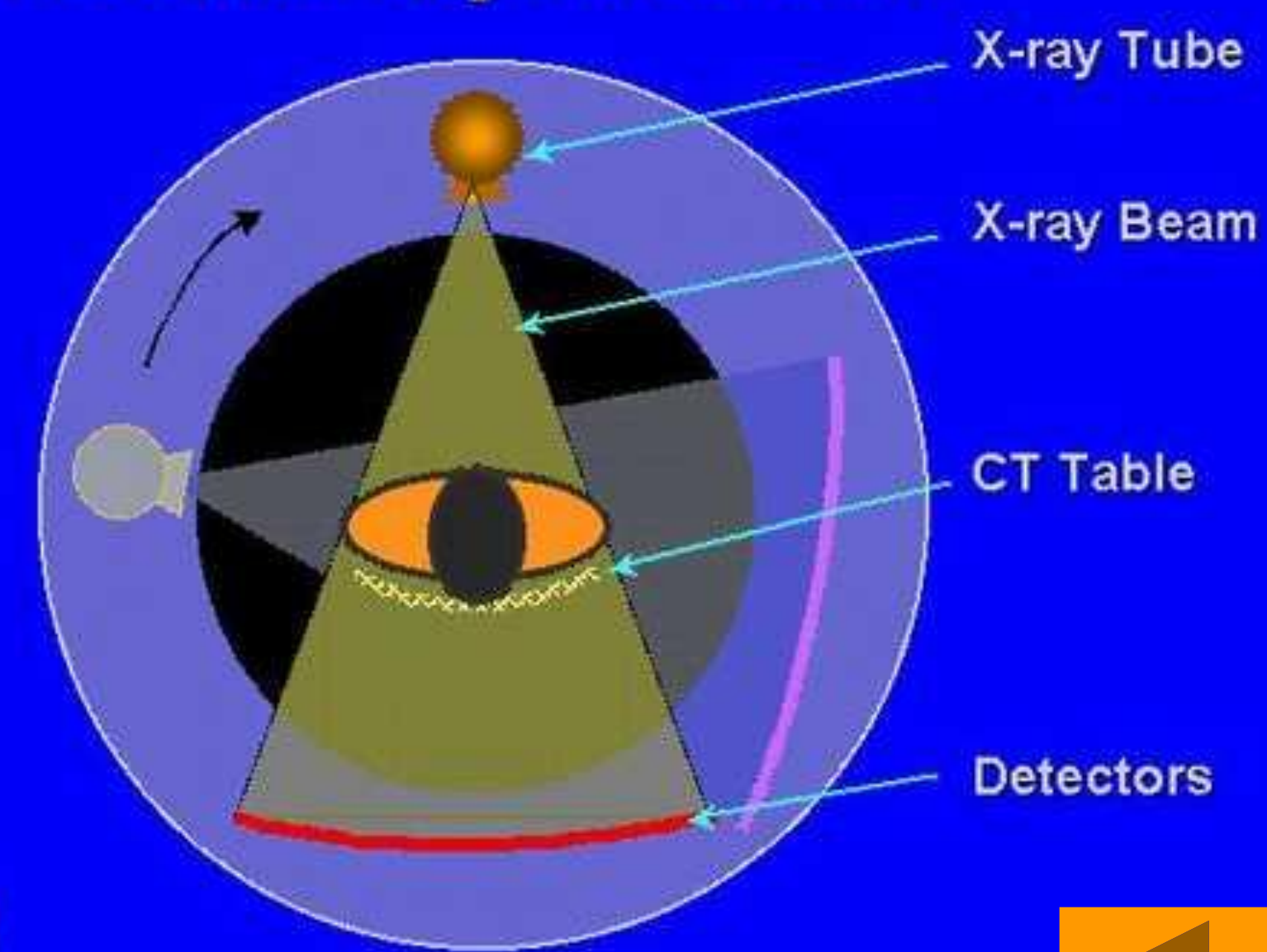
○T:利用外来的X射线作为 放射源穿透人体,由于正常 和病变组织的物理密度不同,构成一副反应人体组织密度 差 异 的 解 剖 图 像。

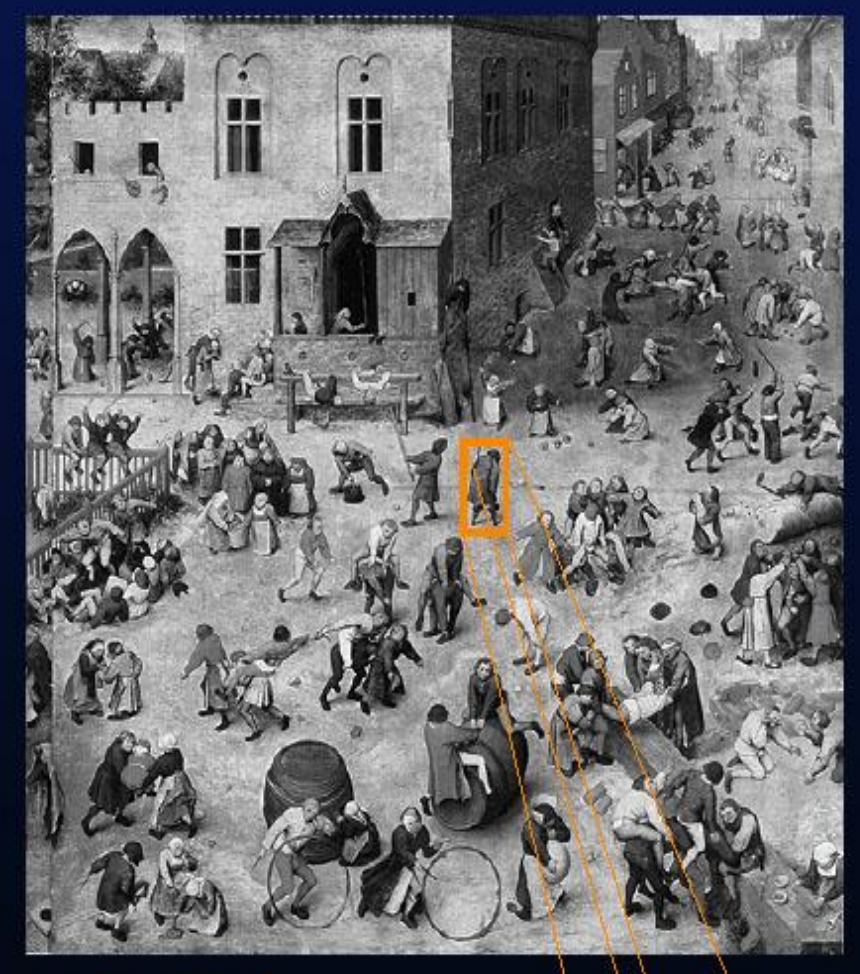




SPECT: 利用注入体内的放射性药物发出的γ光子成像; 放射药物可选择性聚集在特定的组织器官或病变部位中, 使该脏器或病变与邻近组织之间有放射性浓度差,构成一副反应人体器官组织功能的解剖图像。

#### Basic data acquisition in CT

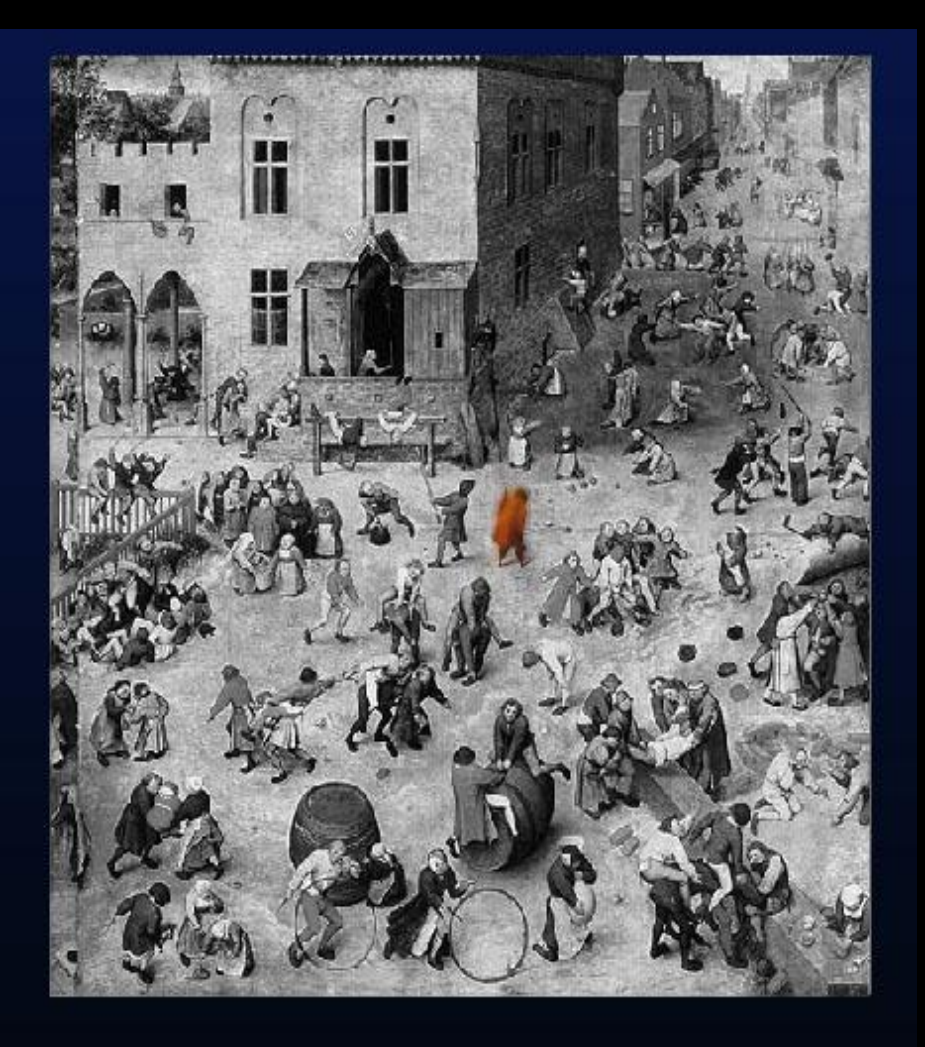


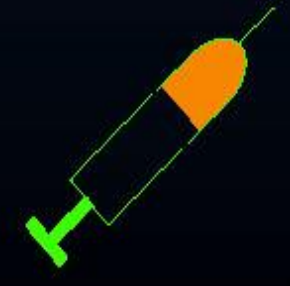


P. Brueghel

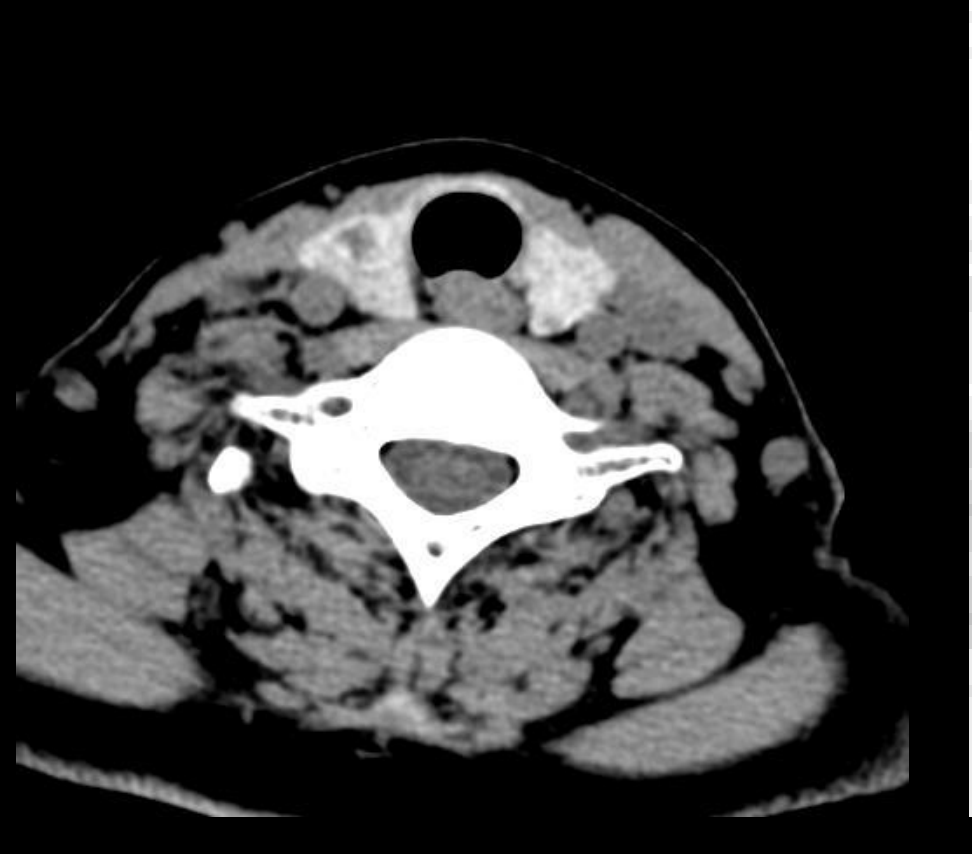
Anatomy







**Function** 





# 三、SPECT特点

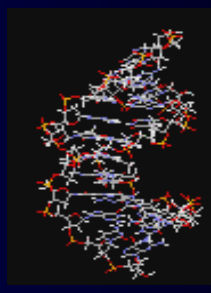
- a、同时显示脏器和病变的功能 及解剖结构;
- b、可进行活体的分子水平研究(分子核 医学);
- c、定量计算脏器体积及功能; 半定量分析 局部血流量;
  - d、疾病的早期诊断;
  - E、细微结构的精确显示不足



解剖结构水平

今天 功能分子影像 组织、细胞水平

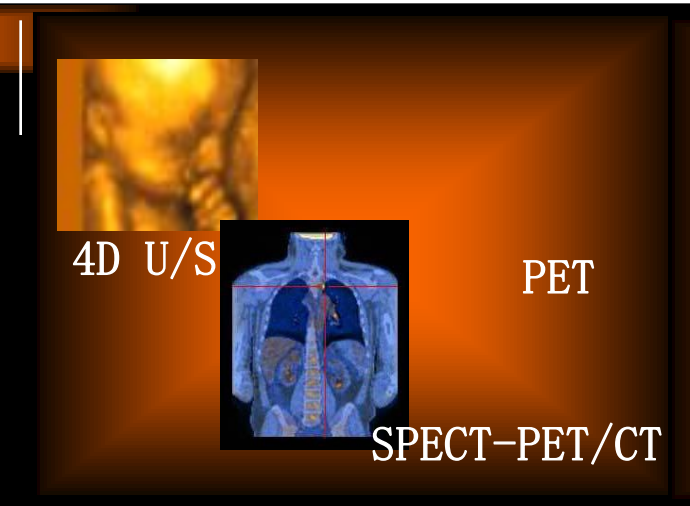
未来 全新的影像模式 分子、基因水平



诊断、指导治疗 —— 预防、诊断和治疗

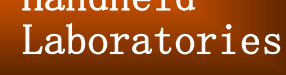
时间 1895 X-Ray





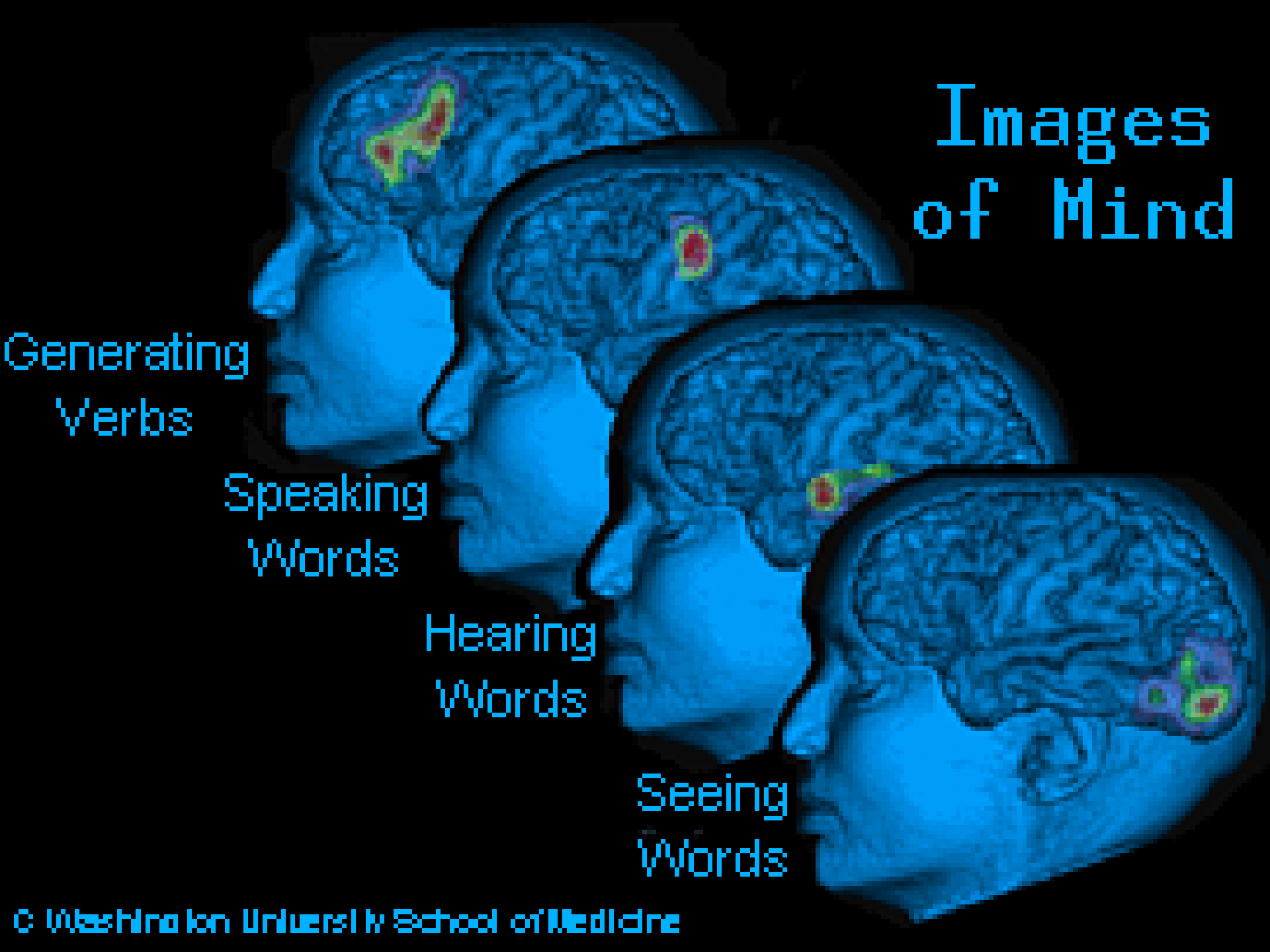


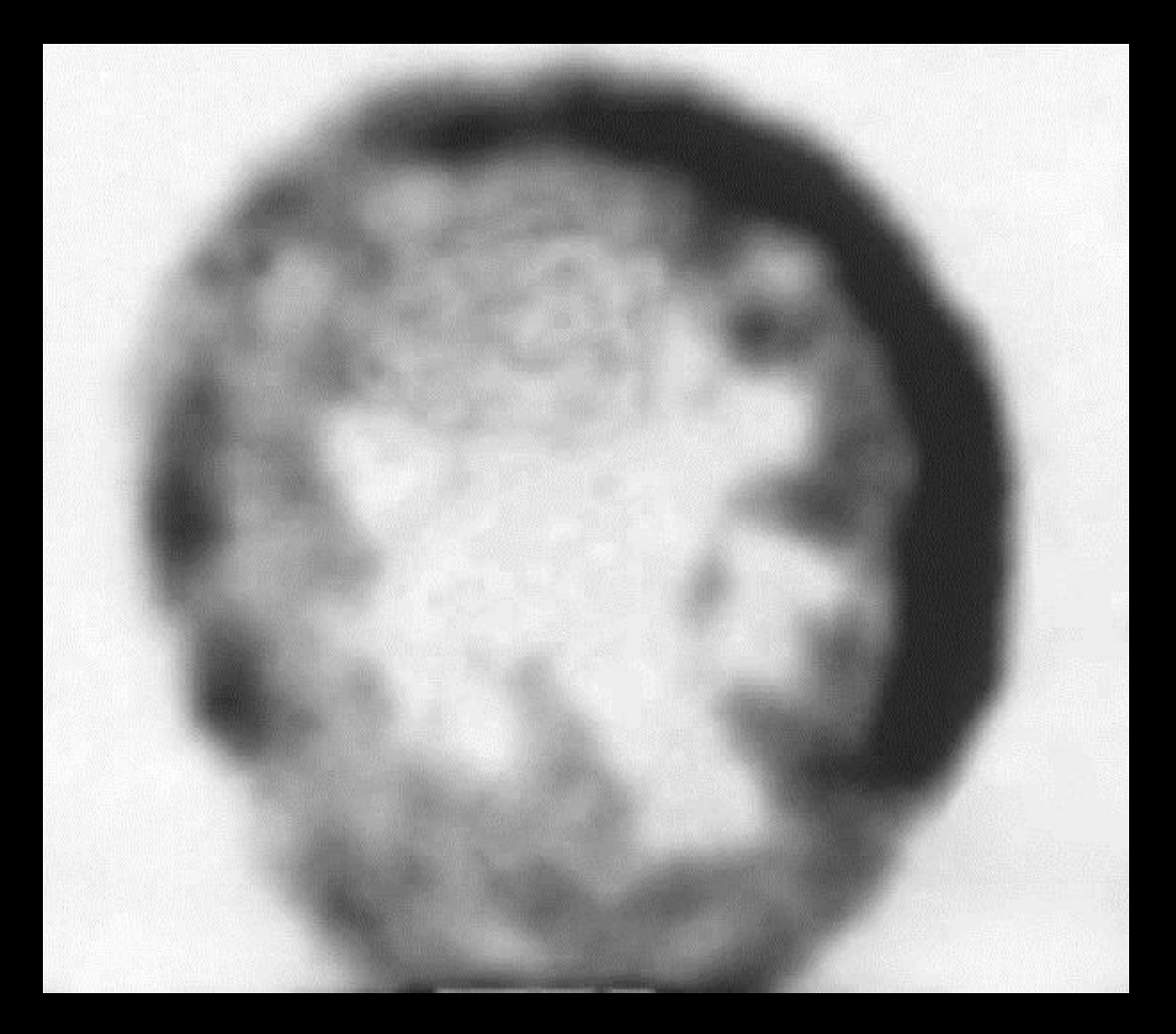




Genetic Records

Handheld





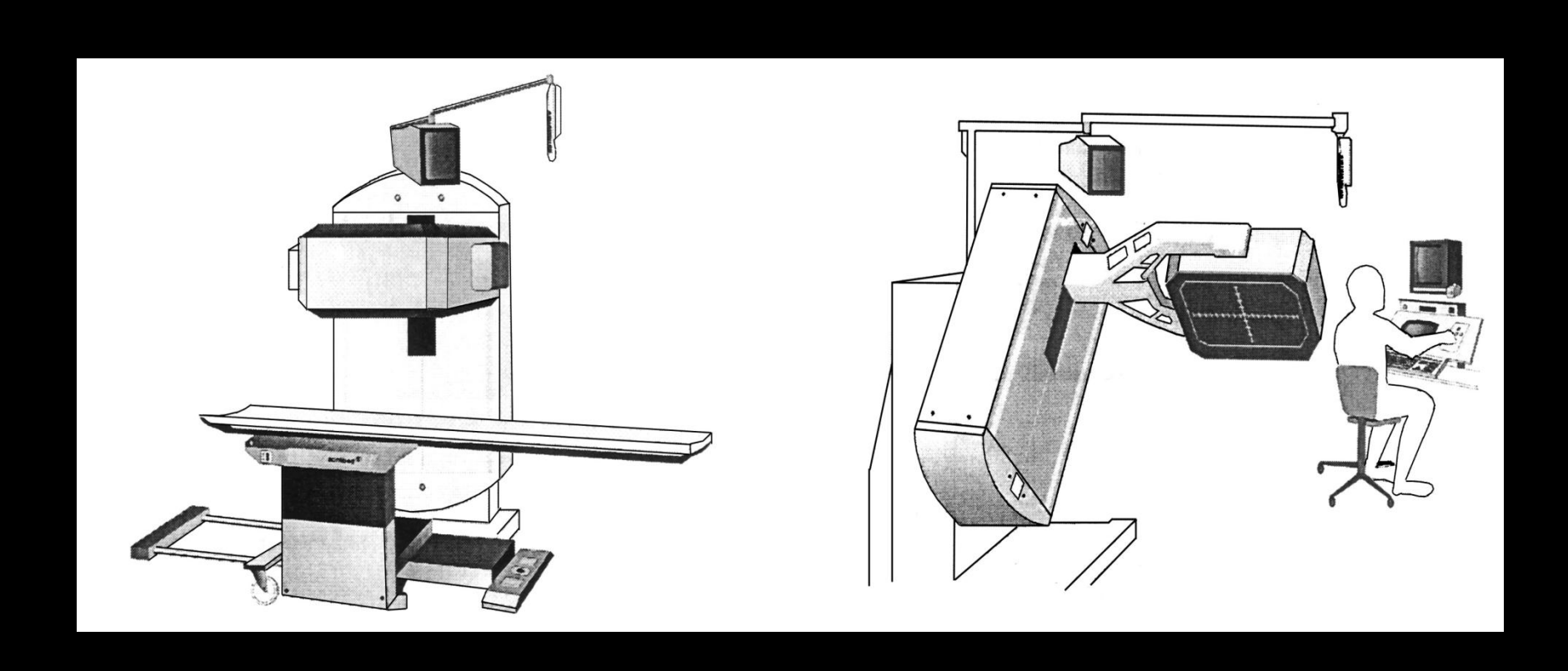
脑部不摄取放射性血流灌注显像剂是脑死亡的有力证据。该项诊断具有法律效率。

#### 疾病的发生发展时序及各种影像的诊断能力

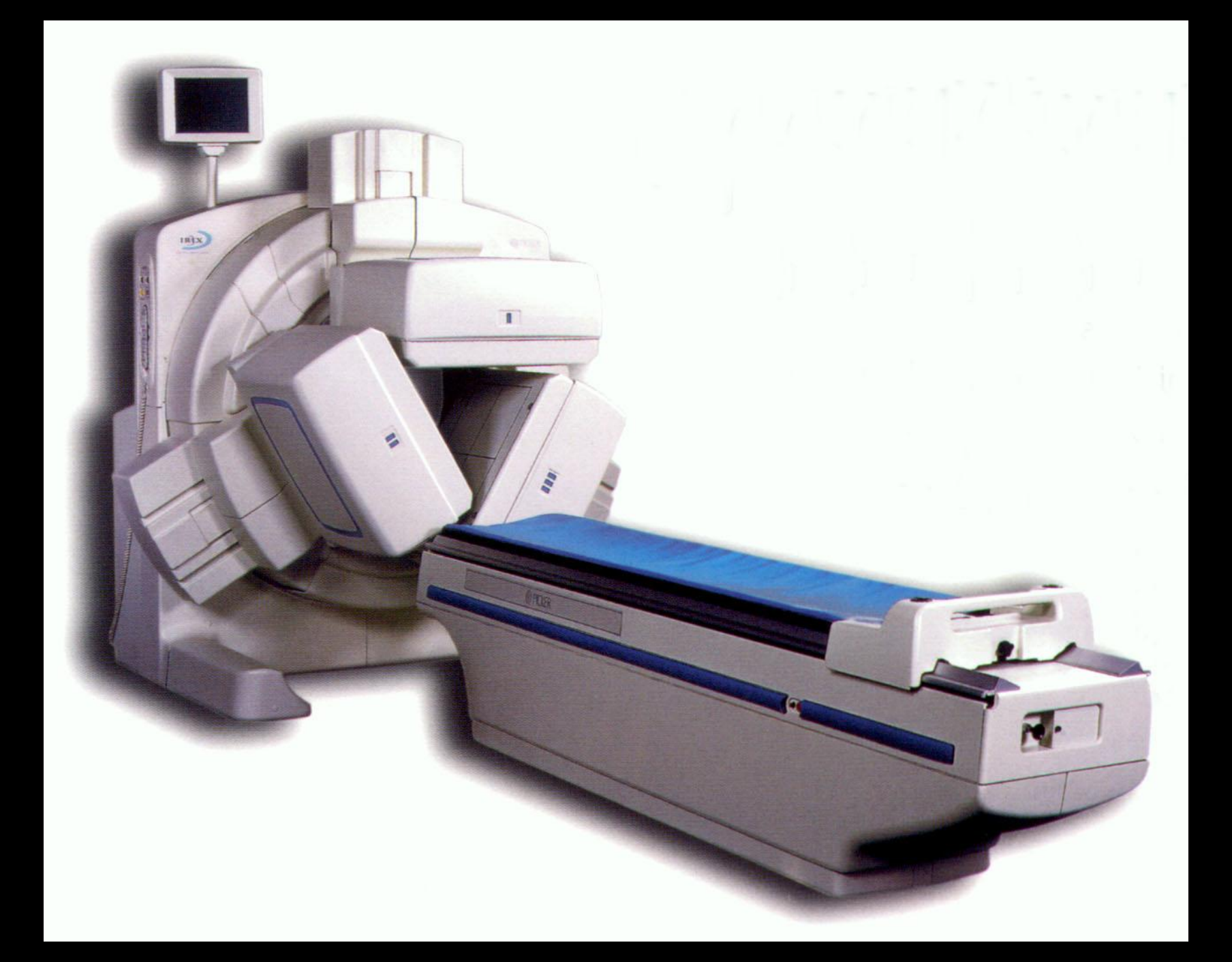
表达异常 代谢异常 临床表现 结构改变 灵敏度 (mol) 解剖显像 10-3 MR/CT 功能解剖显像 10<sup>-5</sup> 功能影像 功能显像 10-9 分子显像 10-13 分子影像

## 四、SPECT的发展史

- Scanner 1950年 Casson
- γ-Camera 1956年 Anger
- · 电子计算机+γ照相机 1970年
- SPECT 1979年 Kuhl, et al
- SPECT设备发展
- 1、单探头机发展至双或三探头机
- 2、SPECT-XCT
- 3 SPECT-PET (XCT)









### SPECT应用发展

美国: 1989年耗资2.5亿购买800台, 普及县级医院。

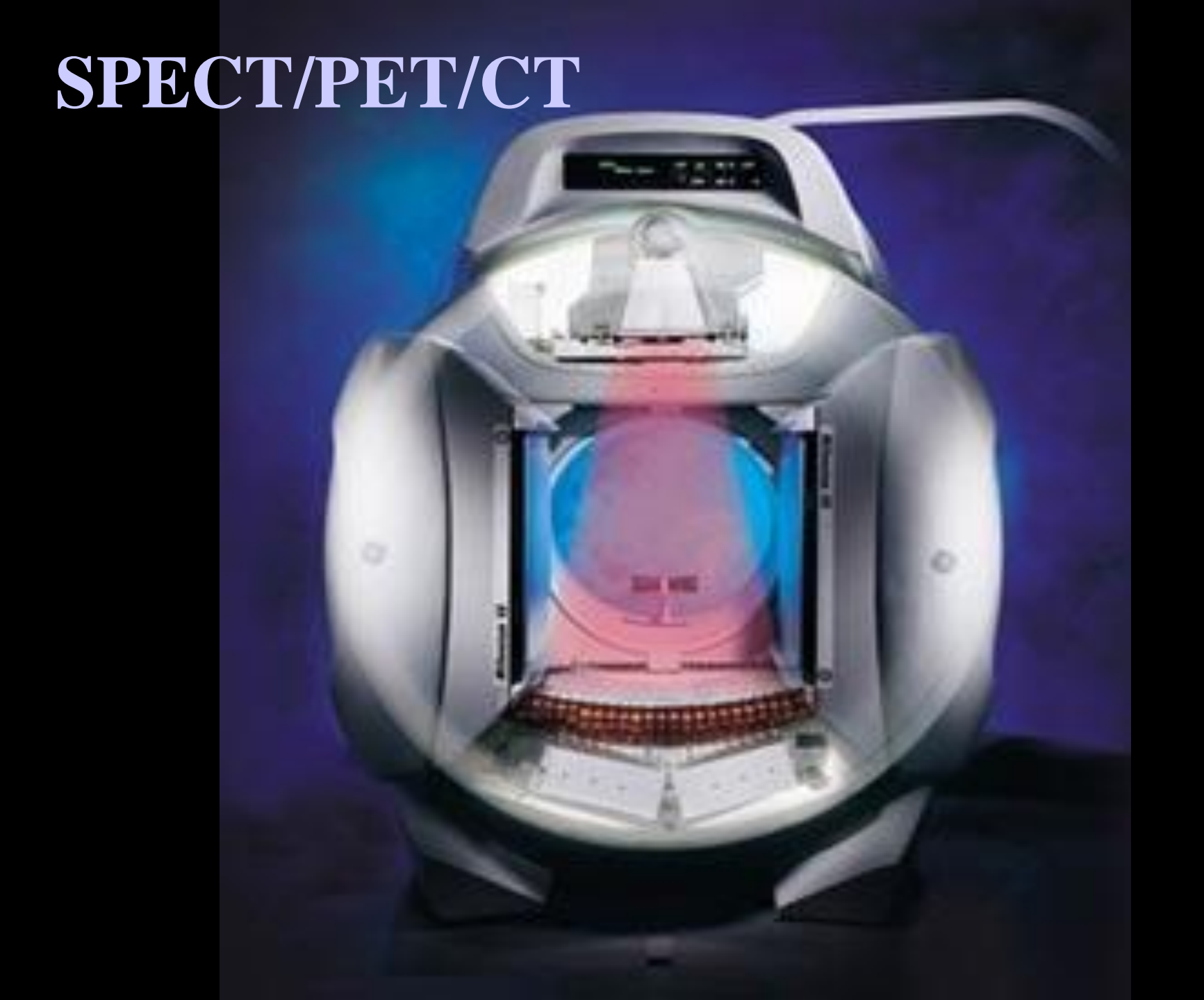
中国: 1983年首次从美国引进四台,

88年44台,

91年56台,

2002-11-18为423台,

2008-2为786台。



# PET历史

• 正电子扫描机	1954年
单光子及符合探测,平面像	
• 正电子伽玛照相机	1959年
· 正电子发射断层 (PET)	1976年
· 分子符合探测(MCD)	1994年





#### 1995年后PET在全世界发展状况



### PET/CT的发展历史

- 1953年 正电子探测脑肿瘤
- 1963年 发射断层
- 1973年 Hounsfield发明CT
- 1976年 PET用于临床
- 1991年 螺旋CT问世
- 1995年 Townsend研制PET/CT, NCI Grant
- 2000年 PET/CT在北美放射学会问世
- 2001年 PET/CT用于临床
- 2002年 LSO PET/CT UPMC

#### 第一代PET/CT = PET + CT

BGO探测晶体

2D+3D采集, 重建

单排螺旋CT

前后孔径不一致

融合后的图像不能进行再重建

没有特殊设计的检查床





第二代: BGO 晶体整合型

### biograph LSO





第四代: LSO 晶体+ PICO – 3D 2003 2,6,16排CT



### 第二代PET/CT: GEMINI 开放式,可分离



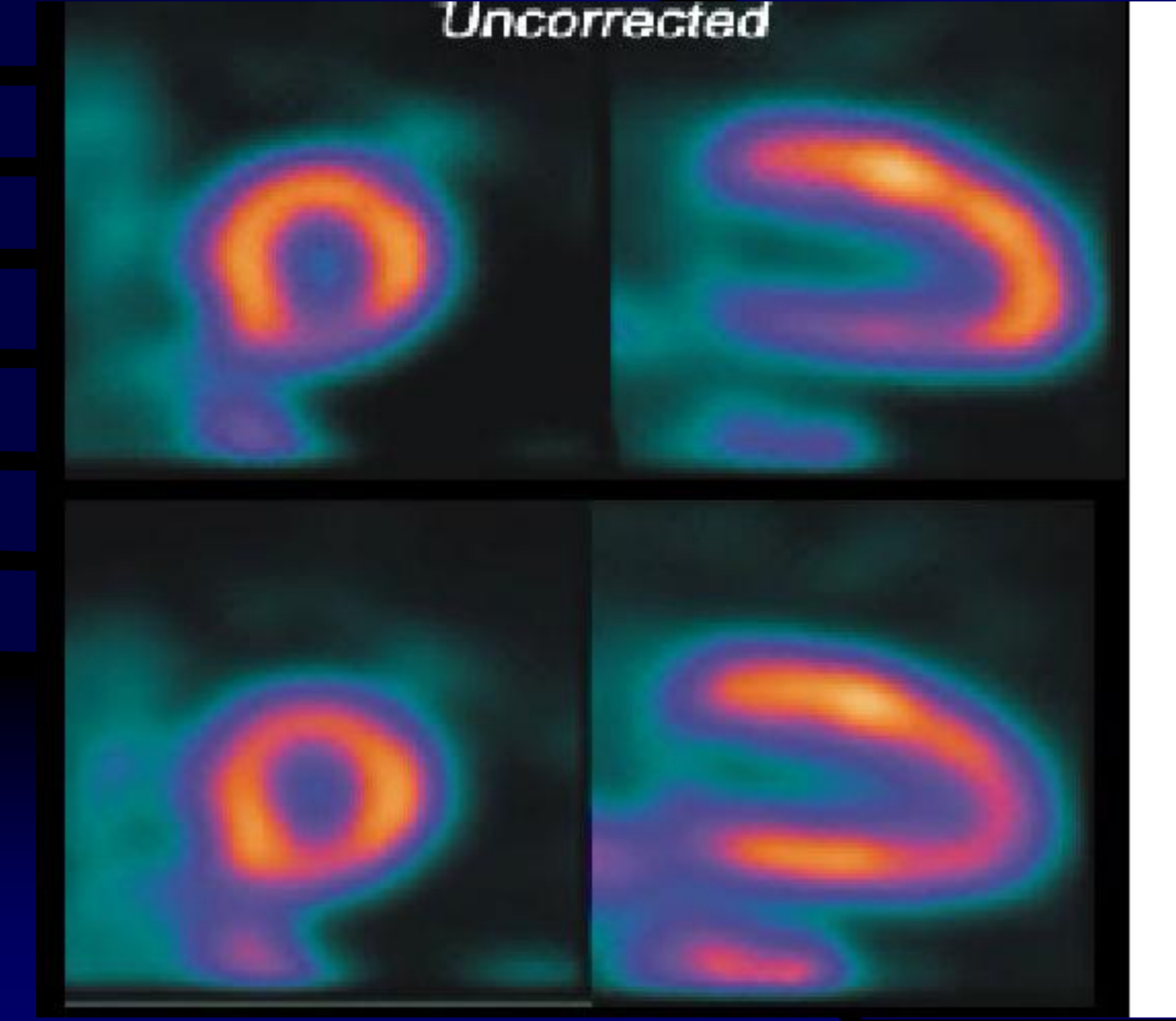
Let's make things better.



**PHILIPS** 

## 五、ECT发展障碍

- 1、光子通量限制
  - X-CT断层光子总数为ECT断层图的10<sup>3</sup>~10<sup>4</sup>倍。
- 2、衰减校正.
  - 衰减因素:组织的成分、脏器的大小、形状、放射性核素能量、时间等。
  - 现多用平均衰减校正,实验研究用模型校正。



### 第一节 概 述

核医学成像时一种以脏器内外或脏器内正常组织之间的放射性浓度差别为基础的脏器或病变显示方法。

#### • 基本条件:

1)放射性药物:对被检脏器或病变组织具有选择性聚集分布,且与邻近组织之间的放射性浓度达到一定程度。2)从体外探测体内γ放射性的探测仪器与信息处理、显示成像。

#### ECT显像的基本条件

- 能够探测脏器和病变中聚集 的放射性并将之显示成像的 核医学显像仪器(如: ECT)
- 能够选择性聚集在特定脏器 或病 变的各种放射性示踪剂

### 一、放射性药物

1、放射性药物:能够安全用于诊断或治疗人体疾病的放射性核素及其标记化合物。

- 2、放射性药物性质取决于两个基本成分:
- > 放射性核素(标记物): γ射线或B射线
- 多益(被标记物):选择性聚集在特定的组织 器官或病变部位的药物。

### (一) 放射性核素 (radionuclide)

- 1、放射性核素适用于ECT显像的条件
- ▶能发射中等能量的γ射线;
- >合适的生物半衰期几小时至数天;
- >合适的化学价态和较强的化学活性;
- 户无毒无害。

## 2、常用放射性核素

SPECT最常用的放射性核素目前为99Tcm

其次为 131

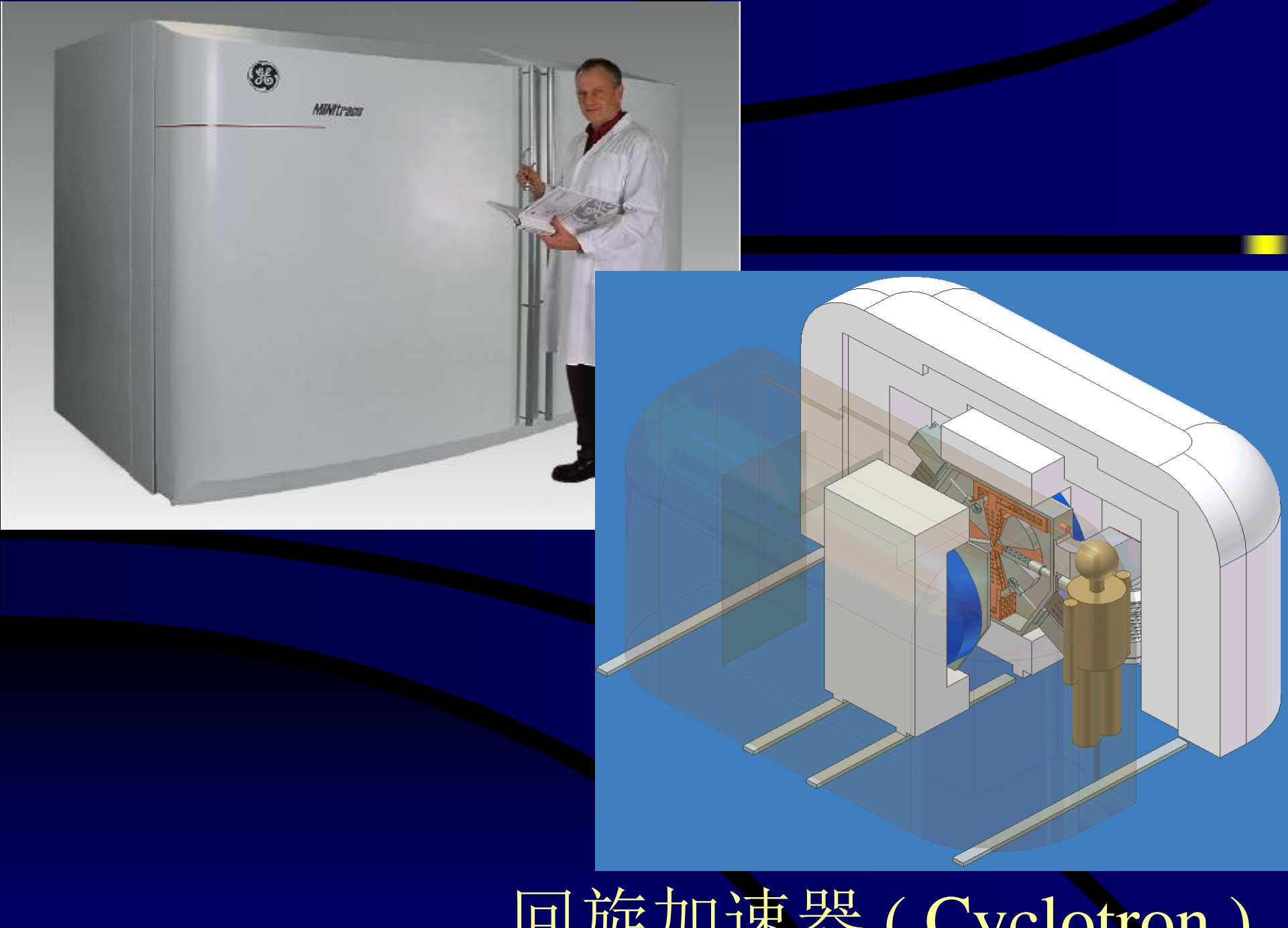
PET 最常用的放射性核素目前为18F

其次为<sup>11</sup>C、<sup>13</sup>N、<sup>15</sup>O

#### 3、医用放射性核素的生产方式

- ①反应堆 (Reactor): 131
- ②加速器 (Accelerator): <sup>18</sup>F, <sup>11</sup>C, <sup>13</sup>N, <sup>15</sup>O, <sup>123</sup>I, <sup>111</sup>In
- ③放射性核素发生器 (Generator):
- 99Mo-99mTc 113Sn-113mIn





回旋加速器 (Cyclotron)



1、裂变型:干牛

 $Al_2O_3$ 

2、凝胶型: 遲牛

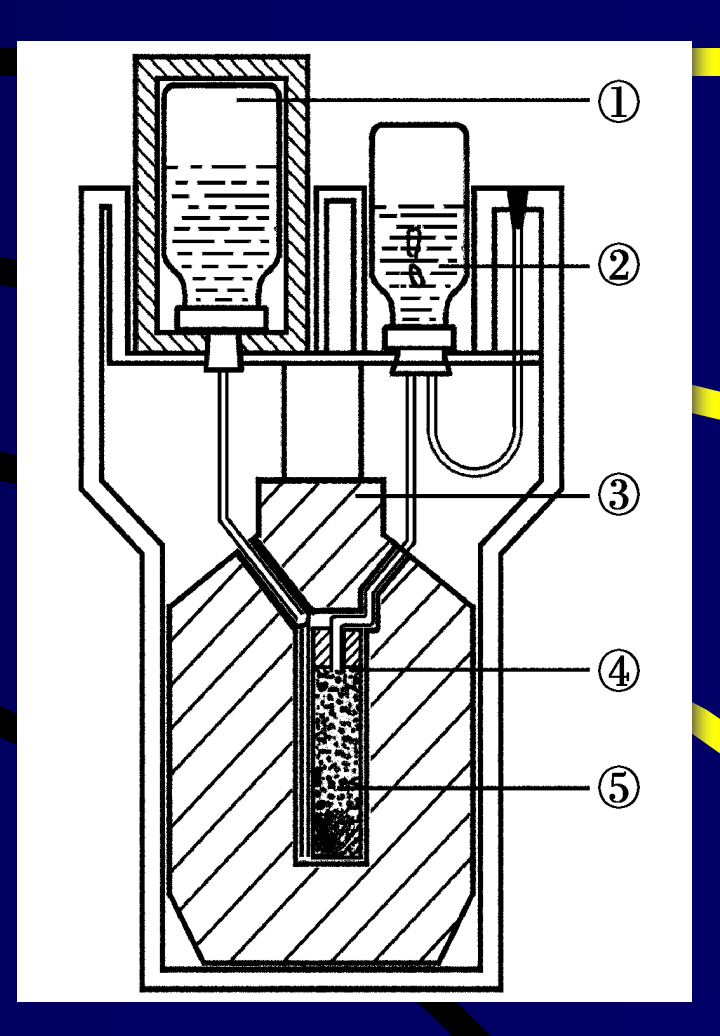
钼酸锆酰 (ZrOMoO<sub>4</sub>)





#### 99mTc的产生——99Mo-99mTc发生器

是一种内含母体核素99Mo能 产生子体素99Tcm的装置。母 体核素99Mo以99MoO4 的形 式吸附在AloOg或钼酸锆酰 (ZrOMoO<sub>4</sub>) 柱上,利用母 子体化学性质不同,可用 0.9% NaCl洗脱液将子体核素99Tcm 以99TcmO4-的形式洗脱下来, 而毋体仍留在发生器内, 子 体核素随母体衰变而增长, 同时又因它自身的衰变而减 小。



## 4、<sup>99</sup>Tc<sup>m</sup>特性

- 99Tcm为目前最理想和最常用的放射性核素
- 1、<sup>99</sup>Tcm由<sup>99</sup>Mo-<sup>99m</sup>Tc发生器产生
- 2、99Tcm是纯γ光子发射体;
- 3、能量为141keV,T<sub>1/2</sub>为6.02h:
- 4、<sup>99</sup>Tc<sup>m</sup>化学性质和碘相似,非常活泼,能够标记合成多种供临床使用的放射性药物,
- 几乎可以用于所有脏器的显像。
- SPECT检查使用的放射性核素90%是99Tcm

### 5、99Mo-99mTc的衰变-生长关系

0h 3h 6h 12h 18h 23h 48h 66h 72h 132h

```
99Mo 3. 70 3. 58 3. 48 3. 26 3. 06 2. 91 2. 23 1. 85 1. 74 0. 93 (GBq)

99mTc 0 0. 93 1. 56 2. 25 2. 50 2. 55 2. 14 1. 78 1. 67 0. 89 (GBq)
```

99mTc/99Mo 0 26.0 45.0 68.9 81.9 87.7 95.9 96.2 96.1 96.2

(%)

### 6、99Tcm放射性药物的制备

99Tc<sup>m</sup>从99Mo-99Tc<sup>m</sup>发生器获得,以 Na99TcmO、形式存在于洗脱液中。在此 99Tcm以高氧化态(+7价)存在,不能用它直 接制备供临床使用的标记药物,必须将高 氧化态锝还原为低氧化态。而在低氧化态 99Tcm化学性质活泼,在一定pH条件下可 以和许多含O、N、S等有机或无机物产生 作用形成络合物。

### 还原反应

- 还原剂——氯化亚锡(SnCl<sub>2</sub>.2H<sub>2</sub>O)
- 1、把99TcmO<sub>4</sub>-还原成低价态;
- 2、作为双金属鳌合物中的第二种金属离子。
- 还原反应:

$$2^{99}\text{Tc}^{m}\text{O}_{4}^{-} + 16\text{H}^{+} + 35\text{n}_{2}^{+} = 2^{99}\text{Tc}^{m+4} + 35\text{n}_{4}^{+} + 8\text{H}_{2}\text{O}$$

• 在其他物理化学条件下99Tcm还可能被还原 为+3价或+5价。

### (二) 放射性药盒

1、作用:使放射性核素选择性聚集在特定的组织器官或病变部位中,使该脏器或病变与邻近组织之间的放射性浓度差达到一定程度。

### 2、常用放射性药盒

放射性药盒临床用途 MIBI心肌灌注断层 ECD、HMPAO 脑血流断层 MDP骨骼显像 DTPA 肾小球功能显像 EC肾小管功能显像 PHY肝脏显像 EHIDA肝胆动态显像 DX<sub>105</sub> 淋巴显像 MAA肺灌注显像

## (三)放射性药物

1、放射性标记(Radiolabeling):通过一些物理的、化学的或生物学的方法,将放射性核素的原子"引入"特定的化合物的分子结构中,这个过程称为标记。由此制成的放射性核素标记化合物即为放射性药物。

### 放射性药物

#### 放射性药品 临床用途 99TcmO-4甲状腺、心血池、 99Tcm-MIBI心肌灌注断层 99Tcm-ECD 脑血流断层 99Tcm-MDP 骨骼显像 99Tcm-DTPA 肾小球功能显像 99Tcm-EC 肾小管功能显像 99Tcm-PHY 肝脏显像 99Tcm-EHIDA 肝胆动态显像 99Tcm-DX<sub>105</sub> 淋巴显像

99Tcm-MAA 肺灌注显像、静脉血管造影

### 2、放射性药物适用ECT成像的条件

(一)良好的显像性能 靶器官:非靶器官>5:1 (二)合适生物体内存留时间

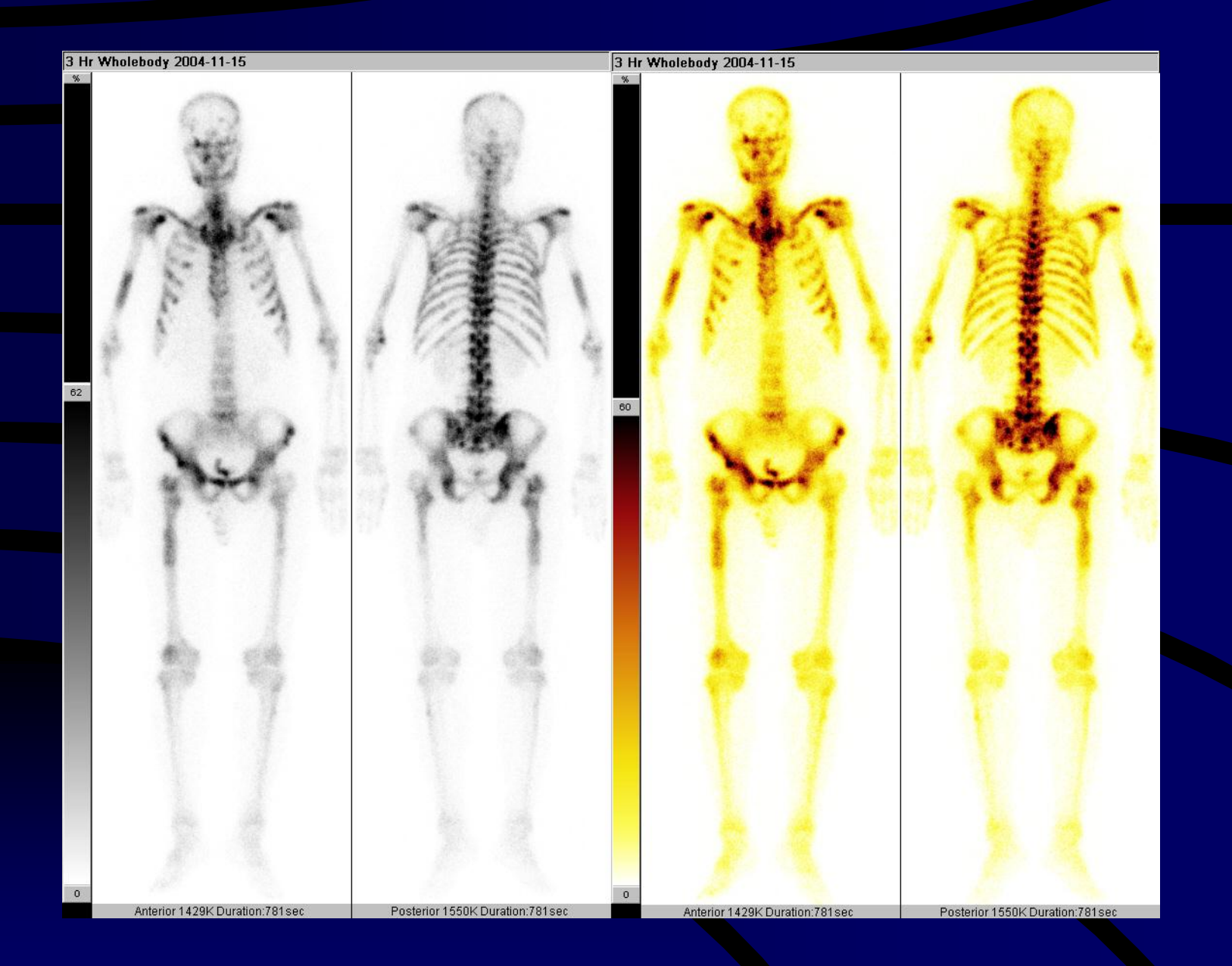
a:保障采集剂量

b:较短的生物半衰期

(三)制备过程简单、快速、不需复杂的设备和反应条件

### (四) 具有良好的稳定性

- 1、化学稳定性是指放射性药物具有确定的较为稳定的化学结构,不易发生分解氧化还原等化学变化。
- 2、辐射稳定性是指药物对自身辐射作用的耐受能力。
- 3、标记稳定性是指放射性核素的原子或基团与化合物结合的牢固程度,只有那些不易因时间、温度、介质等条件的影响而脱落的标记物,才适用于ECT的显像。
  - 4、体内稳定性是指当放射性药物引入机体后,不易发生分解、变性或标记核素的脱落。



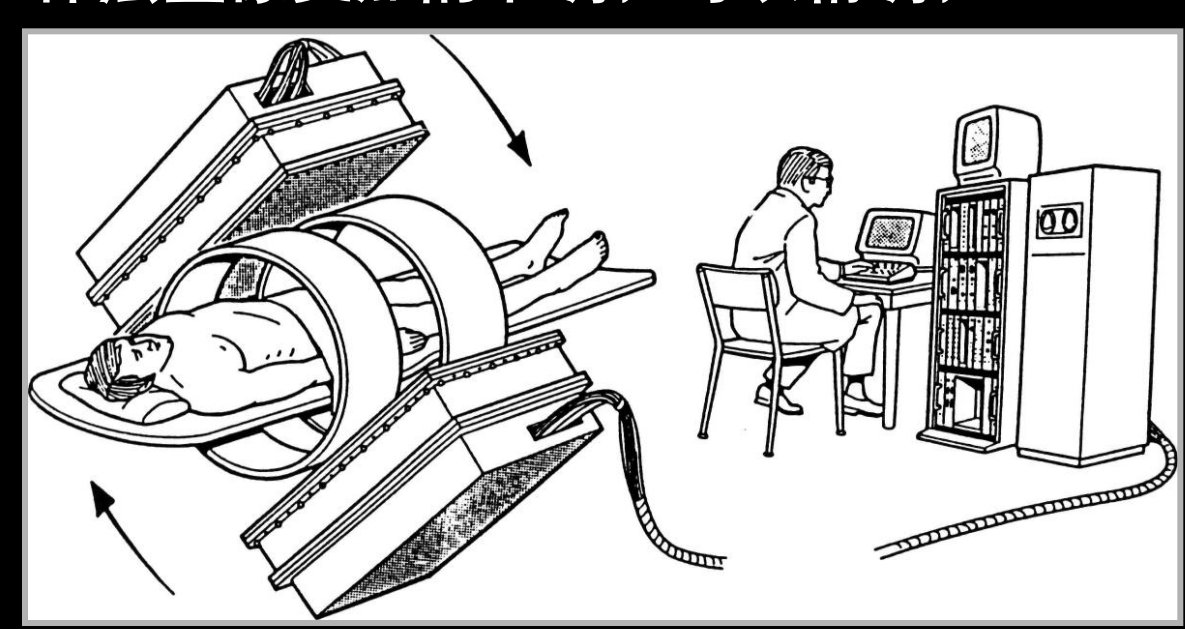


### 分类及基本特点

- 主要有γ相机, ECT (SPECT, PET)
- ¥ 相机
- · SPECT 心, 脑显像, 尤其是脑血流和功能显像;
- · PET: 分子水平研究心脑代谢和受体功能的唯一手段。

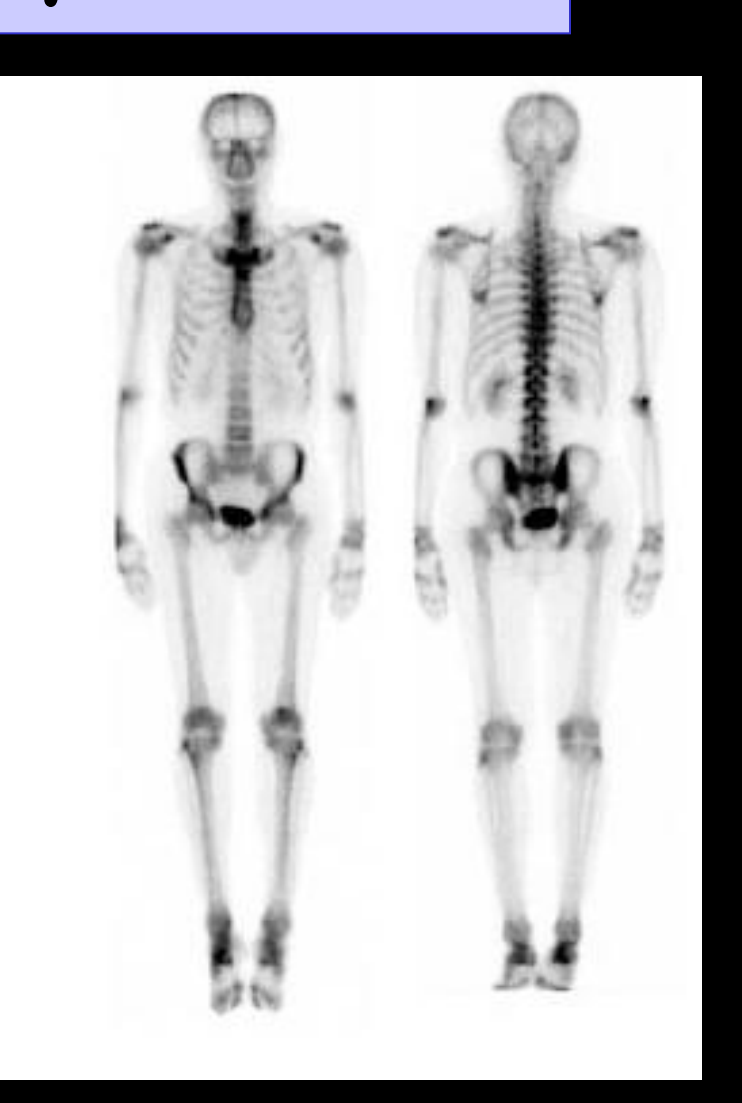
同样较之平面显像,体层显像更加的准确,可以精确,

定量的计算



# 第二节 γ照相机





- 得到人体器官组织中放射性核素分布的图象设备。成像速度快、静态成像、动态显像、形态功能一起观察。如生命新成代谢现象有效观察。探测组织生理、生化过程。诊断肿瘤与循环系统疾病。1958年用于临床。
- · 基本组成:探头、放大器、电阻矩阵电路、运算器、图象存储器、位置通道、能量通道、显示器、照相机等几部分组成。其它(如病人安置器件)

### 照相机探测器

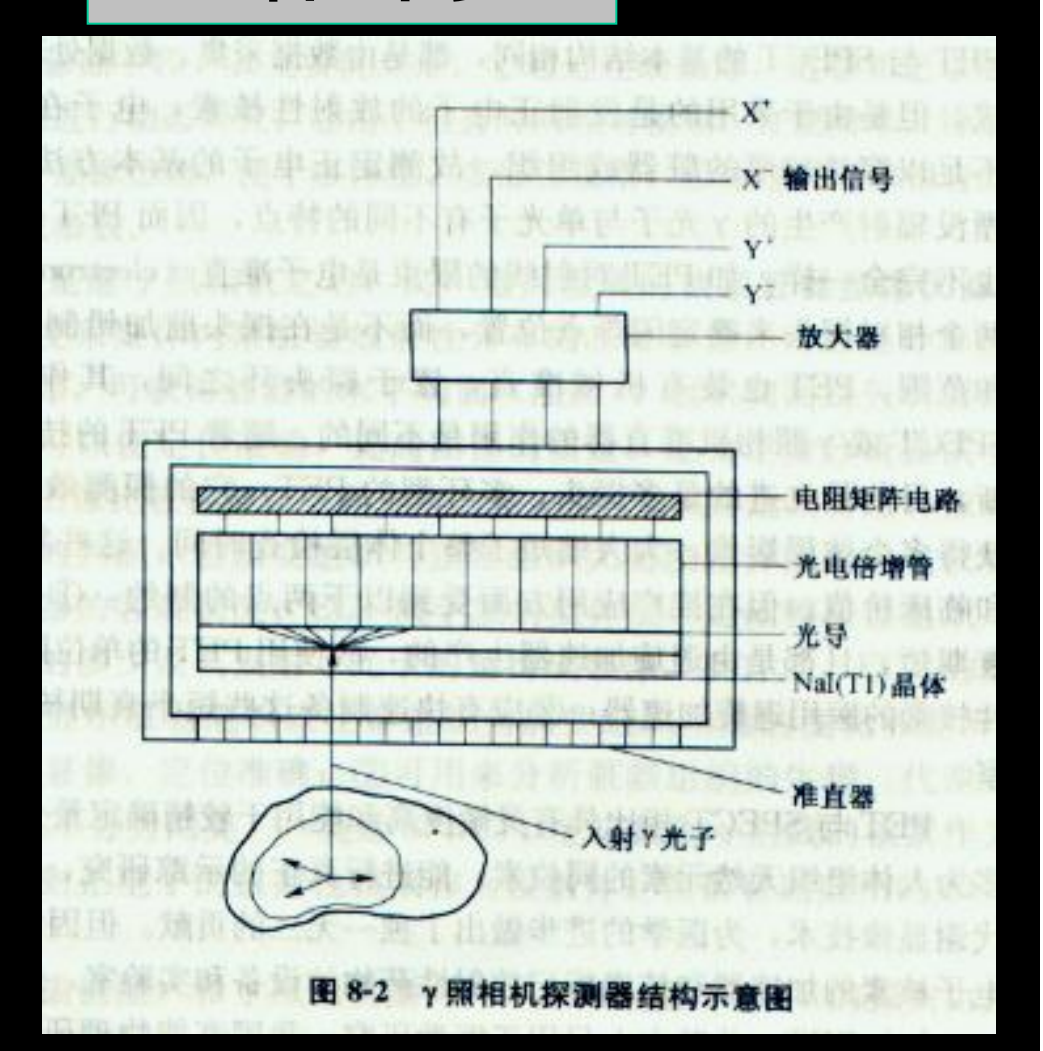
- 作用: 将来自人体的γ射线,转变成电信号。
- 组成: 准直器、闪烁体、光导、光电倍增管。

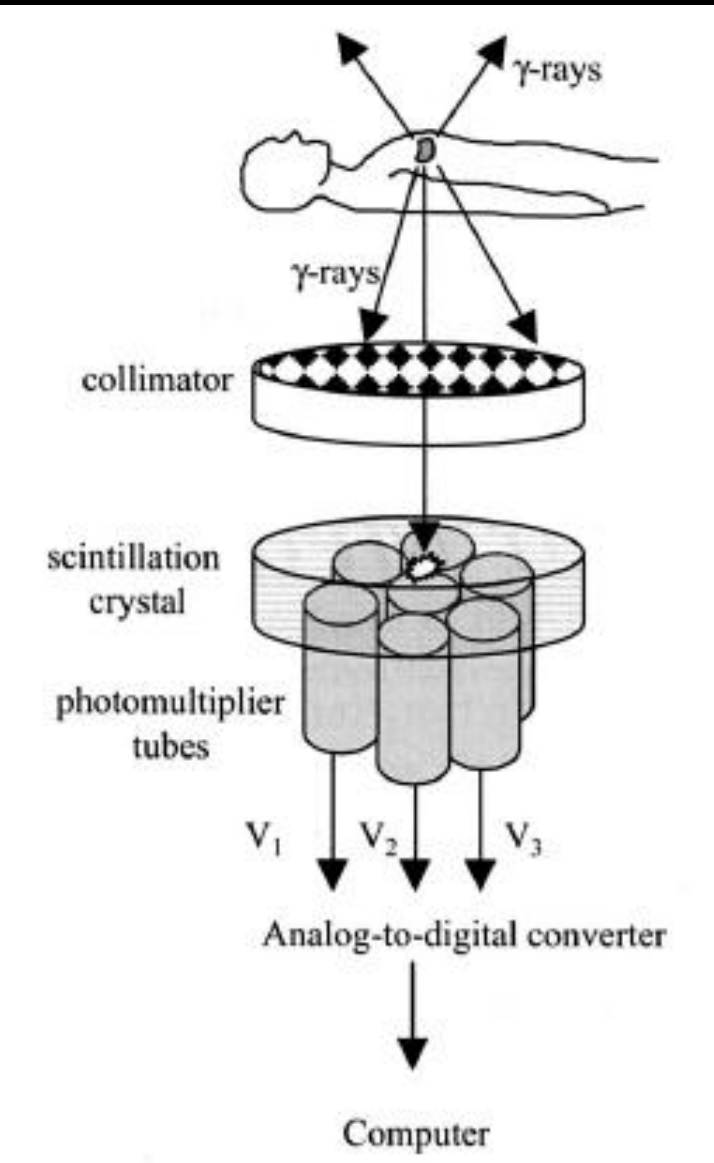


- 准直器: 视踪原子核释放确定γ射线的位置
- · 闪烁体: γ射线打在碘化钠晶体上发光,光点的亮度等级与个数一记数率Y,和γ射线的强度的关系。
- 光导纤维: 将闪烁体上可见光传递到光电倍增管光的阴极上
- 光电倍增管:将可见光转变成电流,并放大。

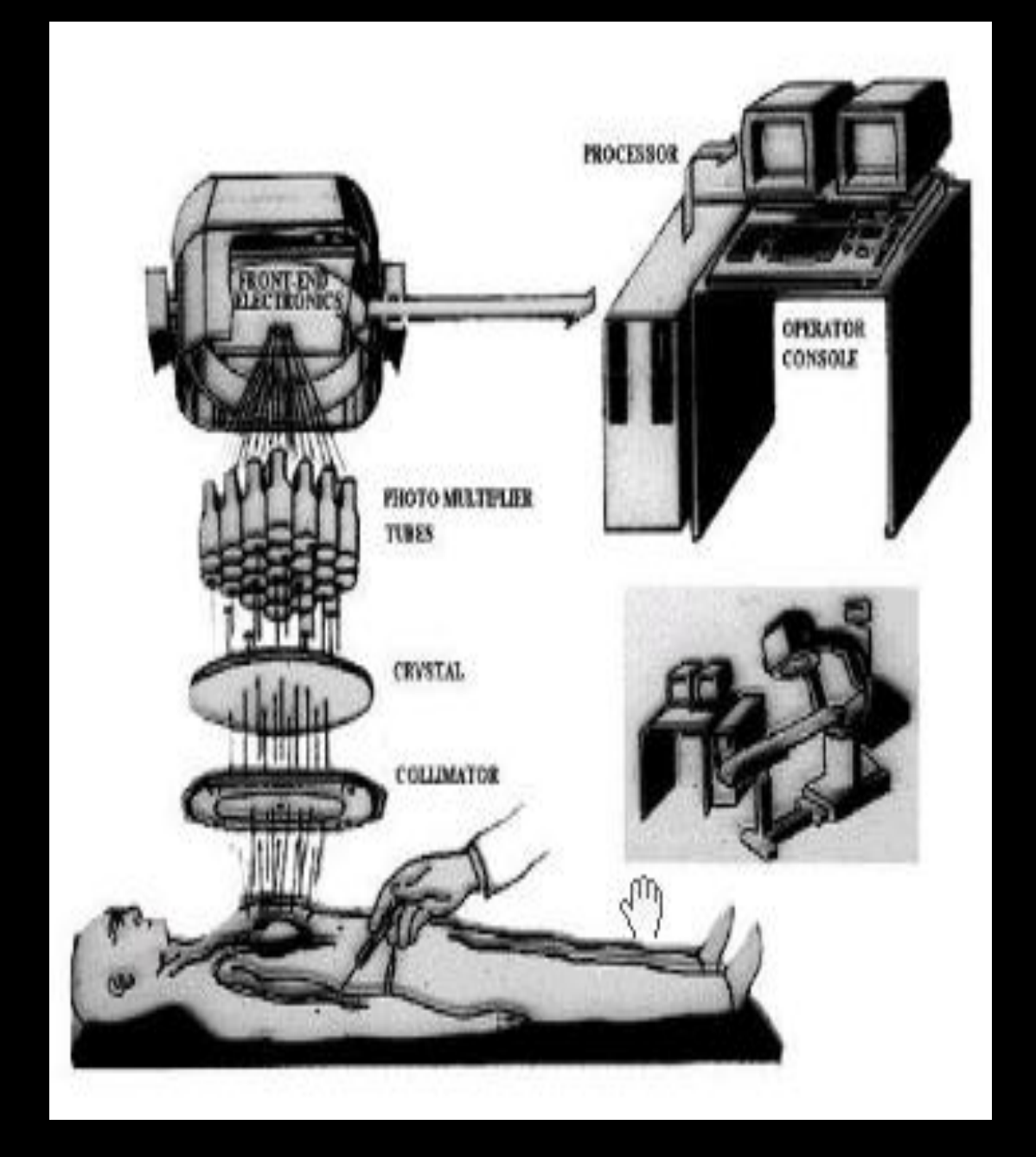
- 器官组织层面上视踪原子的密度与位置信息检测。闪 烁体上光点的位置与亮度分析
- 工作原理:人体内吸收放射性药物后,产生γ光子、经准直器入射到闪烁体上,闪烁体将γ光子转变成可见光光子,由光导纤维将可见光传递到光电倍增管的光电阴极上,将他转变成电子,放大得到信号电流,依靠电阻矩阵电路、位置通道、能量通道提取闪烁点的位置坐标(X、Y),提取闪烁的亮度等级,分别调制CRT的X、Y、Z轴,最终在显示器上得到人体器官组织中放射性元素的分布图象。对荧光屏上清晰的可见光图象用照相机拍照。

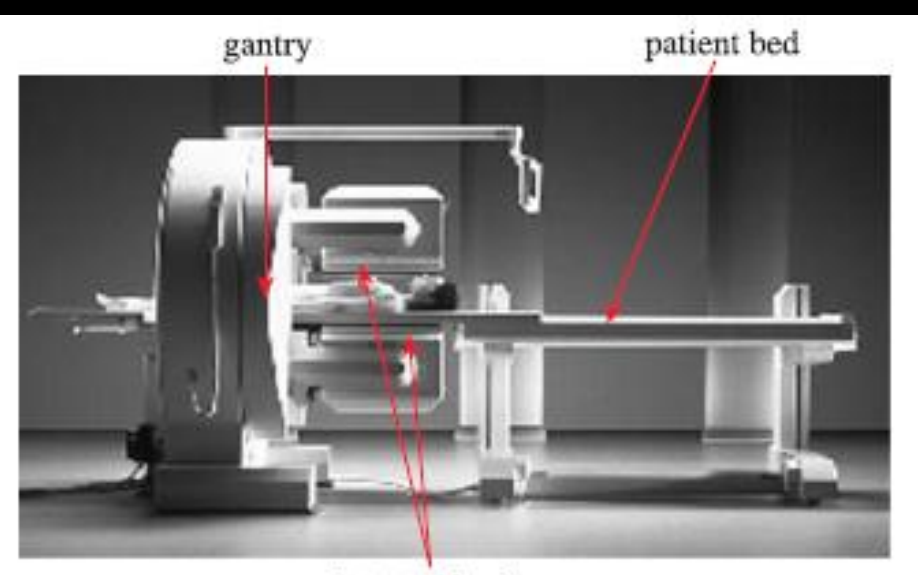
### 结构



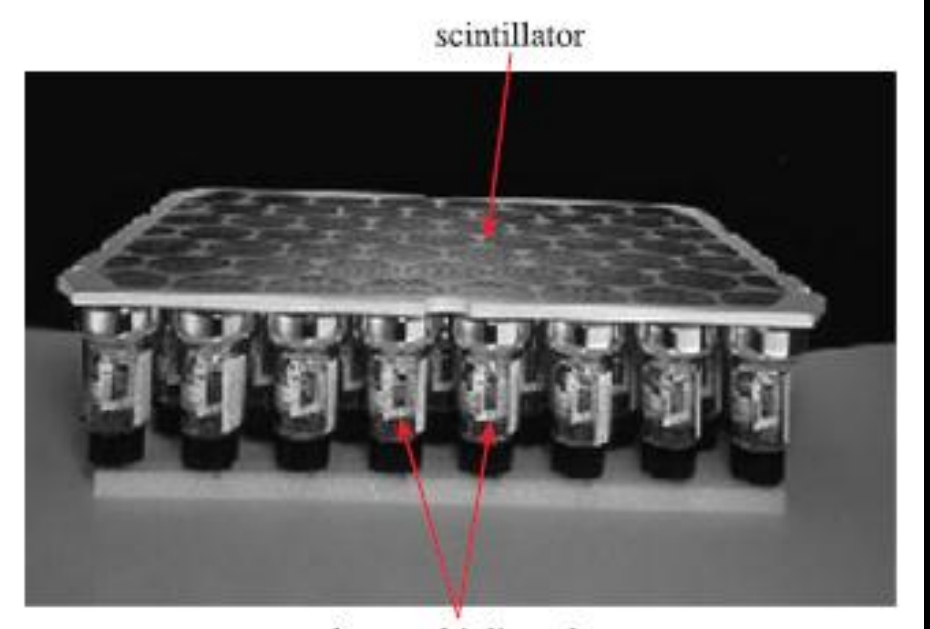


- 准直器
- 闪烁晶体
- 光电倍增管
- 放大器
- X/Y位置线路
- 电脉冲信号分析器
- 显示记录装置



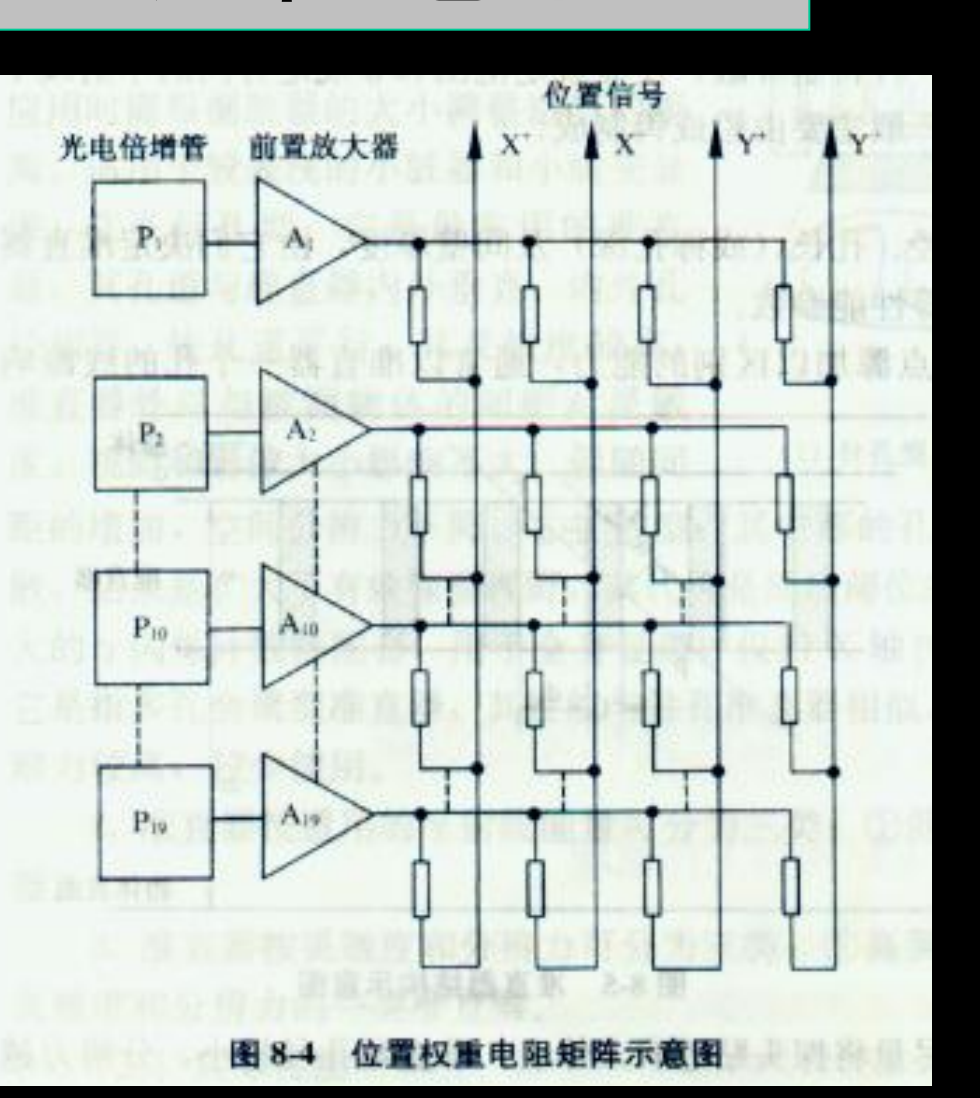


detector heads



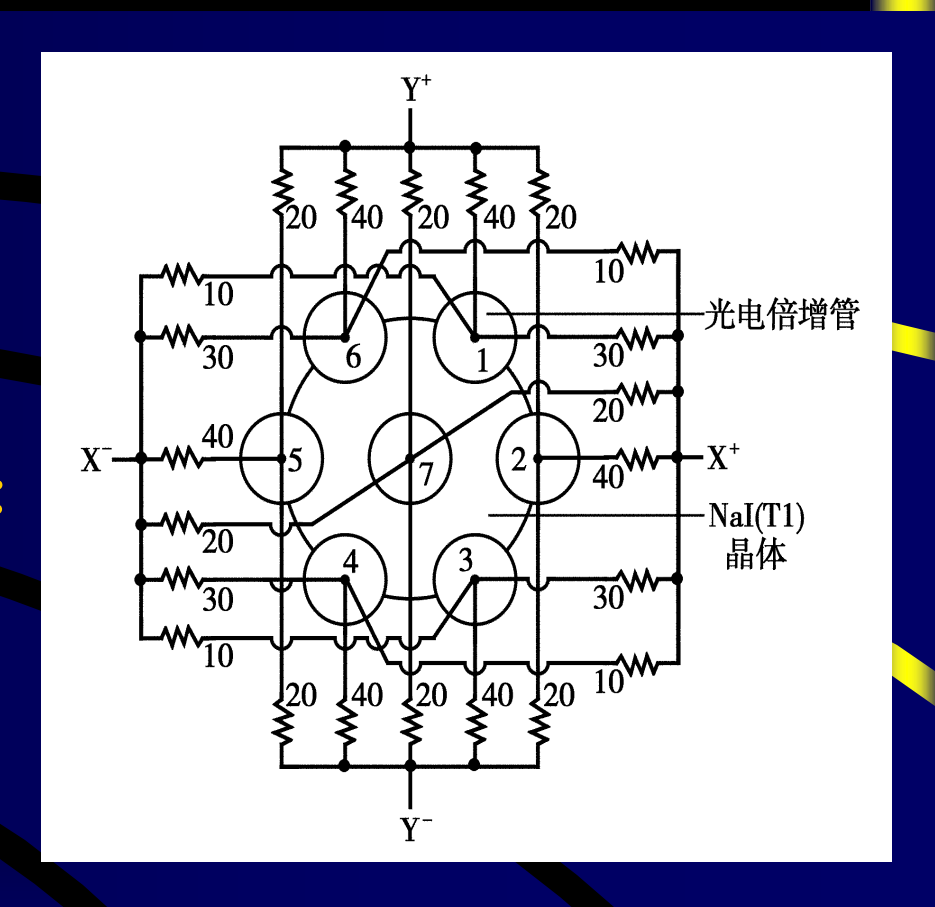
photomultiplier tubes

## 定位电路



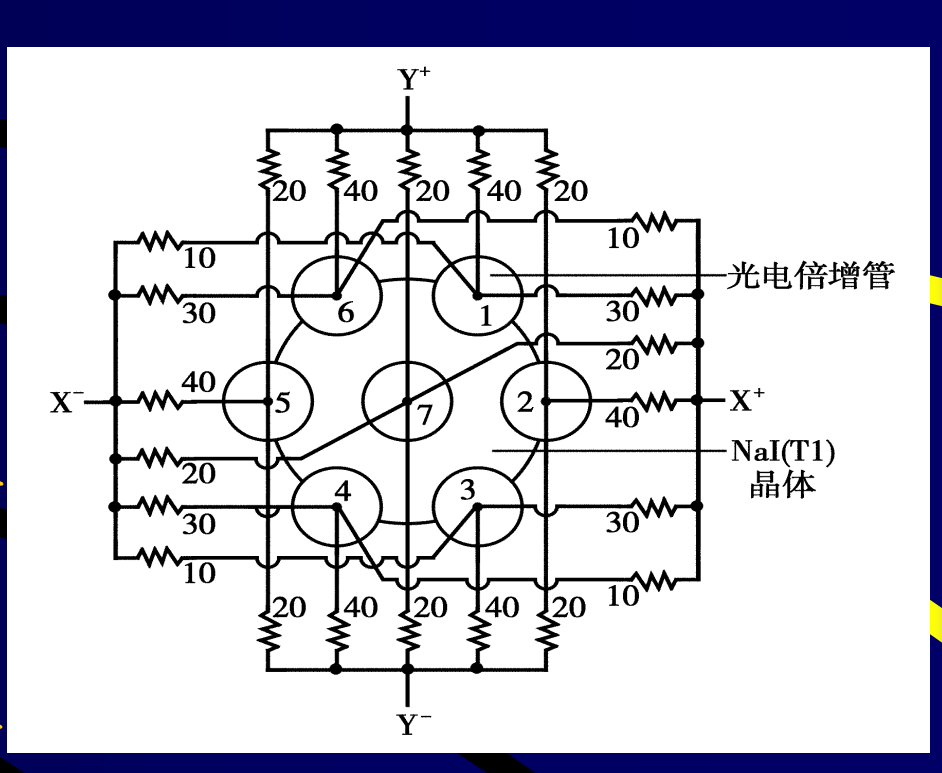
## 定位计算电路

- 1、作用:是将光电倍增管 输出的电脉冲信号转换 为确定晶体闪烁点位置 的X、Y信号和确定入射 γ射线的能量信号。
- 2、模拟定位计算电路分类:
- a、Anger型,即加权电阻 矩阵网络型;
- b、延迟线肘间转换型, Anger型的改进型。



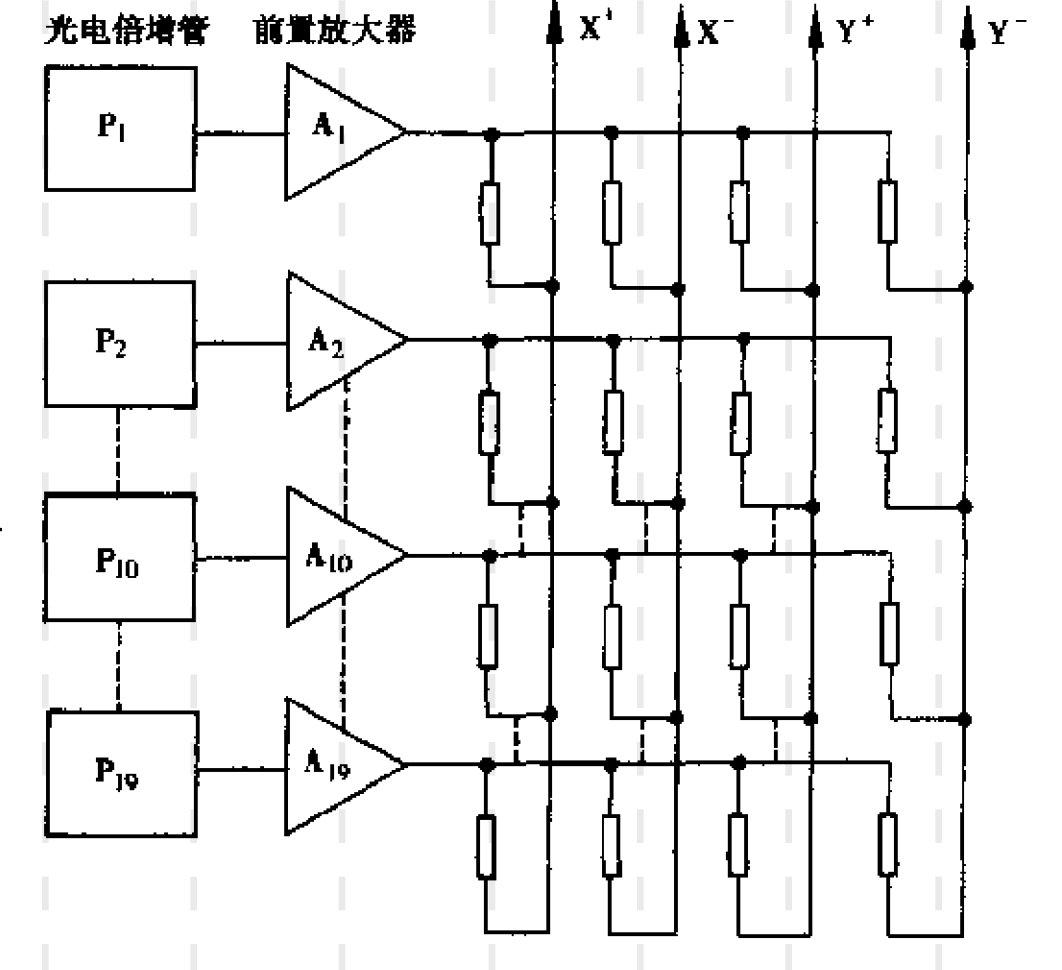
### 3、Anger型工作原理

- ◆7只光电倍增管按六角形排列,每个光电倍增管通过加权电阻与X+、X-、Y+、Y-4根输出导线连接。
- ◆ 当闪烁事件在晶体内发生时, 闪烁光便从闪烁点位置向四周 发射。最靠近闪烁点的光电倍 增管接受的光量最多,距离越 远,接受的光量也就越少。
- ❖ 通过计算每个光电倍增管4个 输出脉冲信号的相对大小,便 可确定γ射线在晶体中相互作 用的位置。



- 定位电路就是在每个光电倍增管的输出端加一个与位置有关的权重电阻或权重延迟线,将每个管输出的信号进行位置权重,再利用加法电路和减法电路将所有经过位置权重的信号总和,利用比分电路得出发生这一次事件特有的位置
- 每一个光电倍增管都 与4个电阻相连接,各 电阻的阻值根据管的 位置不同而异。

信号P。





■ 举例说明闪烁事件的位置信号是如何产生的一个闪烁事件发生在晶体中心(X,Y坐标原点),对位于第10号光电倍增管,其输出信号S<sub>10</sub>经过前置放大输入的4个电阻,阻值相同,设为20;由4个电阻输出的信号分别为X+、X<sup>-</sup>、Y+和Y<sup>-</sup>,经过加法、减法和比分电路得到3个新的信号:

$$X = S_{10}(X^{+} - X^{-})/Z = S_{10}(20 - 20)/Z = 0$$

$$Y = S_{10}(Y^{+} - Y^{-})/Z = S_{10}(20 - 20)/Z = 0$$

$$Z = S_{10}(X^{+} + X^{-} + Y^{+} + Y^{-}) = 80S_{10}$$

X和Y为该事件的位置信号,在此例中X值和Y值皆为零,据此乃可以确认事件发生在x、Y坐标原点。Z为能量信号,等于 $S_{10}$   $\times$  80。

 闪烁晶体X轴最左侧,对位于第8号光电倍增管,其 输出的信号蜀输入四个电阻,X轴左方电阻(X-)的阻 值为40,右方(X+)为0,Y+和Y-的阻值皆为20,则其 位置信号和能量信号皆可求出:

$$X = S_8(X^+ - X^-)/Z = S_8(0-40)/Z = -0.5$$

$$Y = S_8(Y^+ - Y^-)/Z = S_8(20 - 20)/Z = 0$$



$$Z = S_8(X^+ + X^- + Y^+ + Y^-) = 80S_8$$









 位置信号X、Y分别传输给显示器的水平(X)和垂直(Y) 偏转板,使同时输入的能量信号定位触发阴极射线 管起辉。阴极射线管逐个积累光点达一定量即形成 一帧闪烁影像。





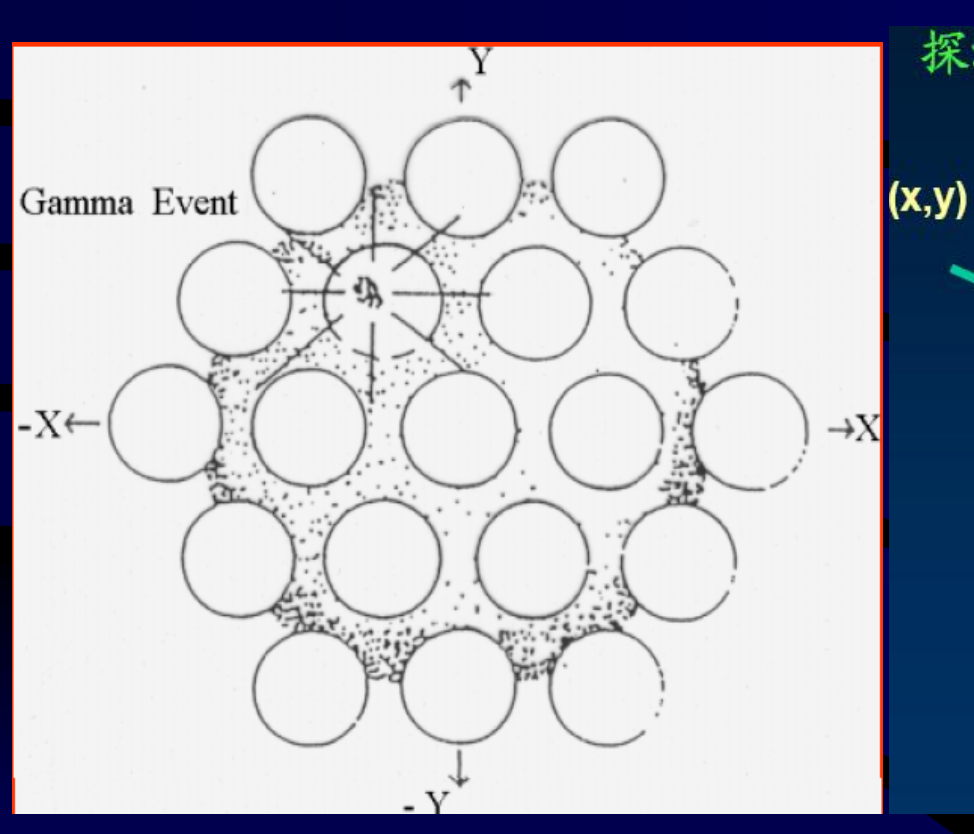




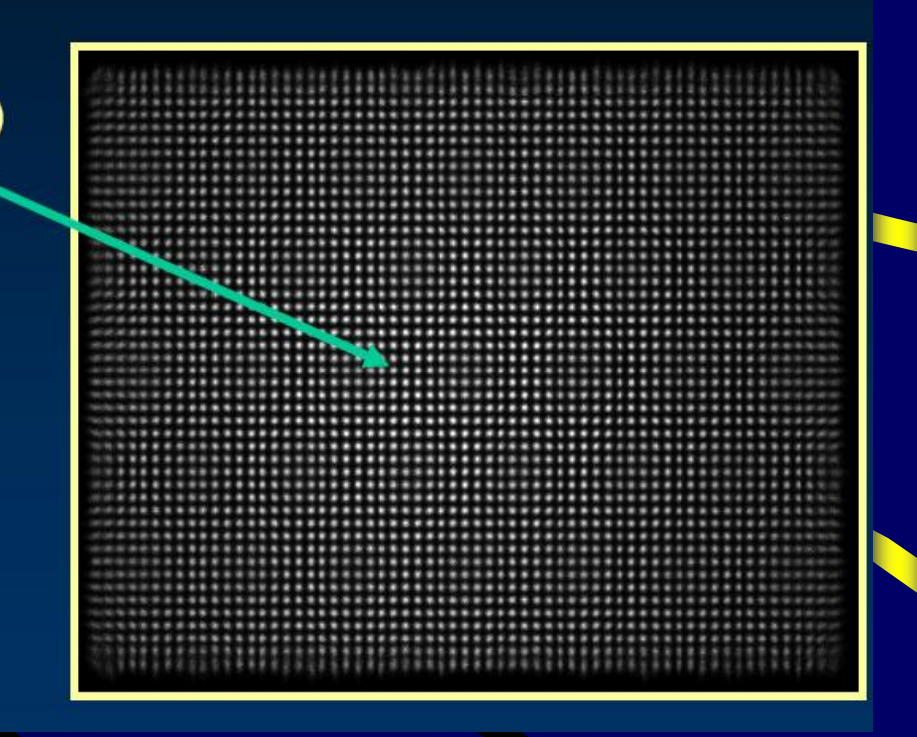




### 将位置信号转换成显示矩阵



#### 探测器提供能量(Z)和位置(X,Y)信号

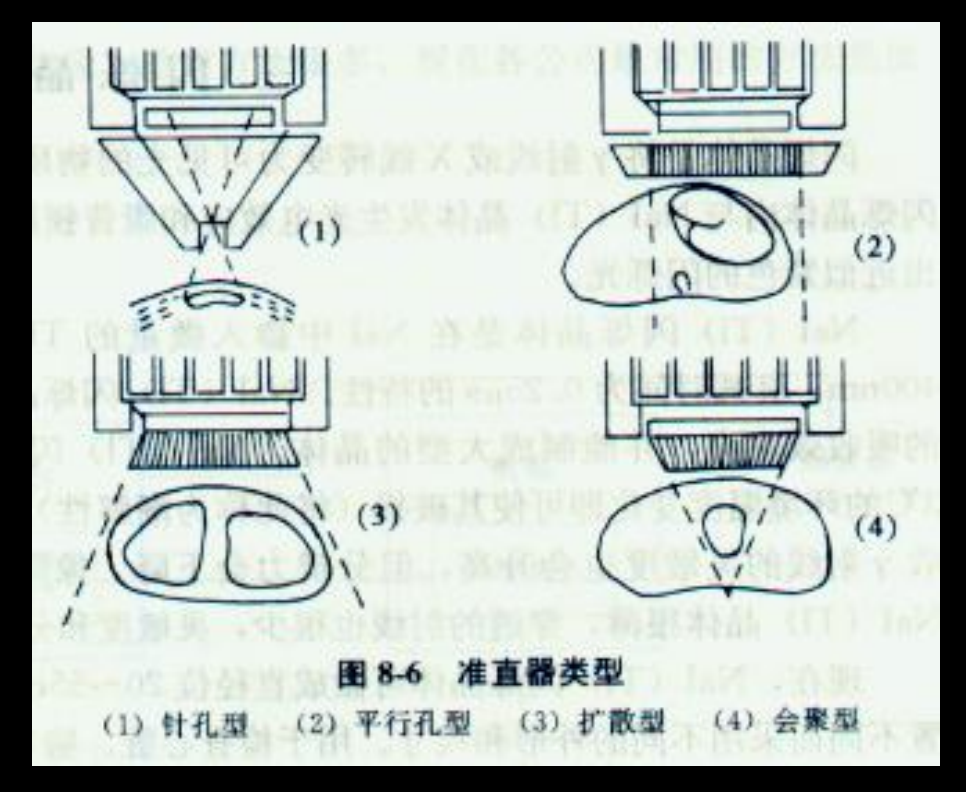


## 预放大器与线性放大器

- ◆预放大器:为减少外界干扰,紧靠 光电倍增管的上方,对光电倍增 管输出的脉冲作初步放大,通过 线路送到线性放大器.
- ◆线性放大器:进一步放大信号后, 输送到X+,X-,Y+,Y-位置信号。

### 准直器

- 安装在晶体前方的一种特制屏蔽,使非规定范围和规定方向的y射线不得入射晶体,起定位采集信息的作用。
- 主要性能参数 空间分辨率 灵敏度 适用能量范围



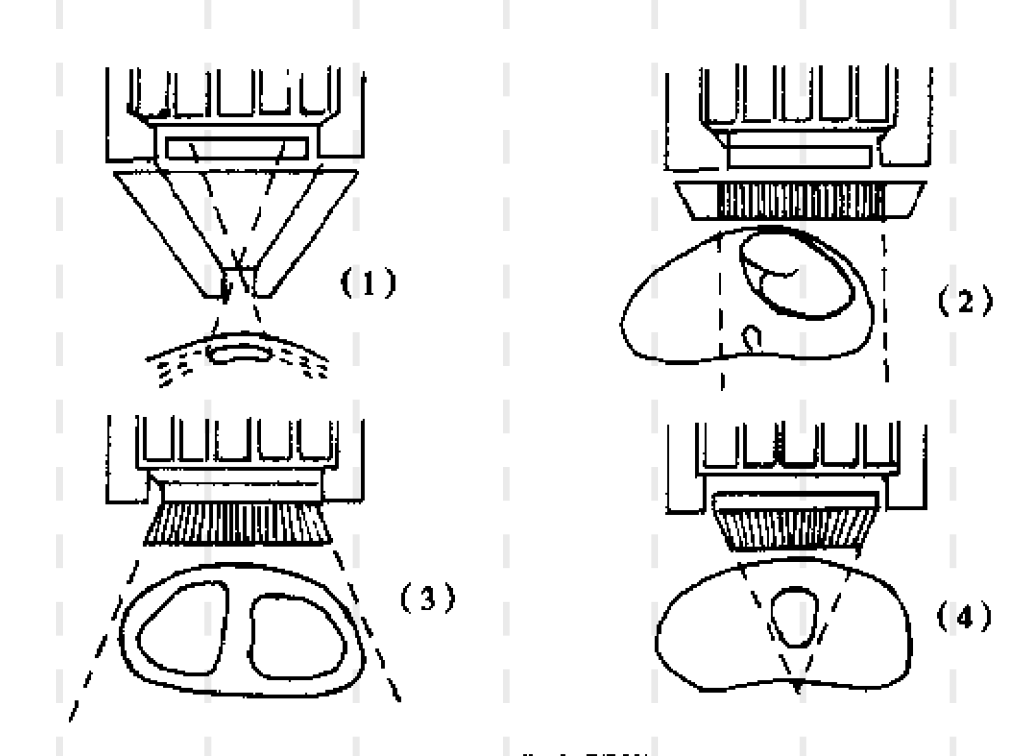
## 准直器(collimator)

- 1、准直器: 它安装在探头的最外层,是由具有单孔或多孔的铅或铅合金块构成,其孔的长度、孔的数量、孔径大小、孔与孔之间的间隔厚度、孔与探头平面之间的角度等依准直器的功能不同而有所差异。
- 2、准直器作用:是让一定视野范围内的一定角度方向上的分射线通过准直器小孔进入晶体,而视野外的与准直器孔角不符的射线则被准直器所屏蔽,也就是限制分光子通过准直器小孔进入晶体的方向角度,起到空间定位选择器的作用。

## 3、准直器分类

(1) 平行孔准直器、针孔准直器 扩散孔准直器、聚焦孔准直器 (2) 低能≤150keV) 中能(150~350keV) 高能 (≥350keV) (3) 通用型、高分辨率 超高分辨率、高灵敏度

#### 准直器的类型







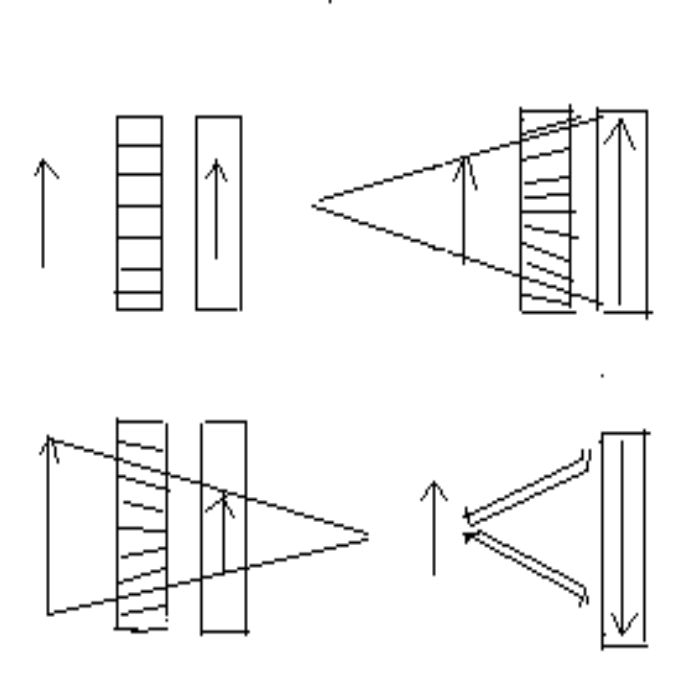


(1)针孔型 (2)平行孔型 (3)扩散型 (4)会聚型









# 4、准直器的性能指标

- (1) 准直器灵敏度:指准直器接收来自放射源的放射性的能力。
- (2) 准直器分辨率:指准直器探头鉴别两个紧密相连的放射源的能力。
- 灵敏度和分辨率呈相反的关系。
- (3) 间壁穿透率:反映准直器小孔之间的间壁屏蔽视野外的与准直器孔角不符的射线的能力;一般要求穿透率≤10%;间壁太后,探测几何效率将会降低;如果太薄,将使影像对此度降低。

#### 准直器的主要性能参数

孔数、孔径、孔长(或称孔深)及间壁厚度,由它们决定准直器的空间分辨率、灵敏度和适用能量范围等性能参数。











#### 1. 准直器的空间分辨率

空间分辨率表示对两个邻近点源加以区别的能力,通常以准宜器一个孔的线源响应曲线的半峰全宽度作为分辨率R的指标。R越小表示空间分辨宰越好。

$$R = \frac{a+b+c}{a} \times d$$

a孔长(即准直器的厚度)

b被测物与准直器外口的距离

c为准直器内口与晶体的平均距离

d为外口直径





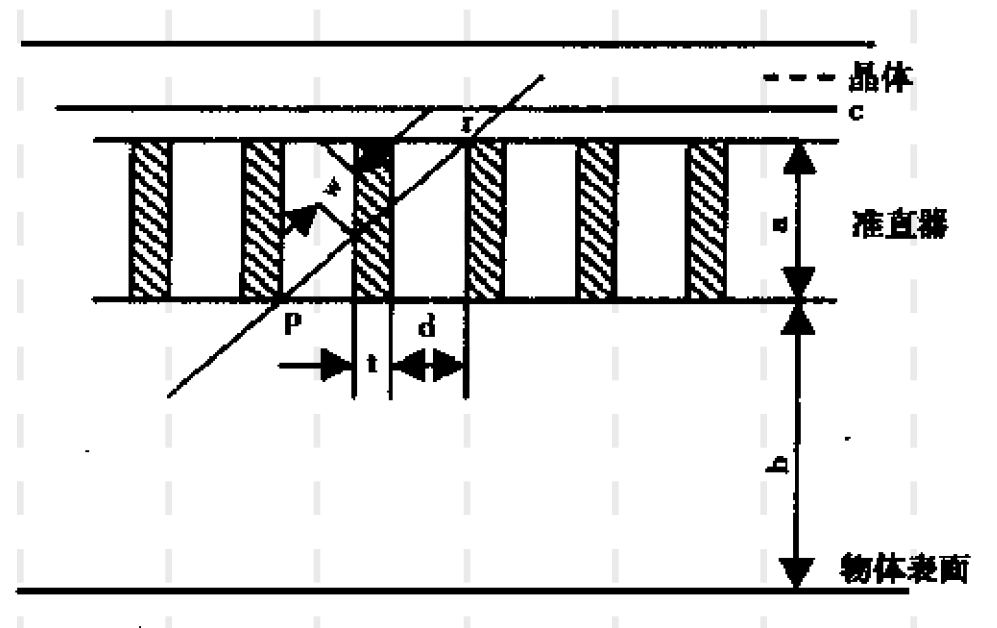


图 7-5 准直器结构示意图



空间分辨率随被测物与准直器外口距离的增加而降低(因此,显像时应尽量将探头贴近受检者体表)。准直器孔径越小,分辨率越好。准直器越厚,分辨率也越高。











#### 2. 准直器的灵敏度S

灵敏废S为配置该准直器的探头实测单位活度(如1MBq)的计数率(计数/秒)。

放射性活度与衰变率同义。单位贝可Bq,若样品每秒钟发生1次放射性衰变,称样品的放射性活度为1贝可。

■ 准直器的空间分辨率R和灵敏度S存在近似关系:

$$S \propto R^2$$

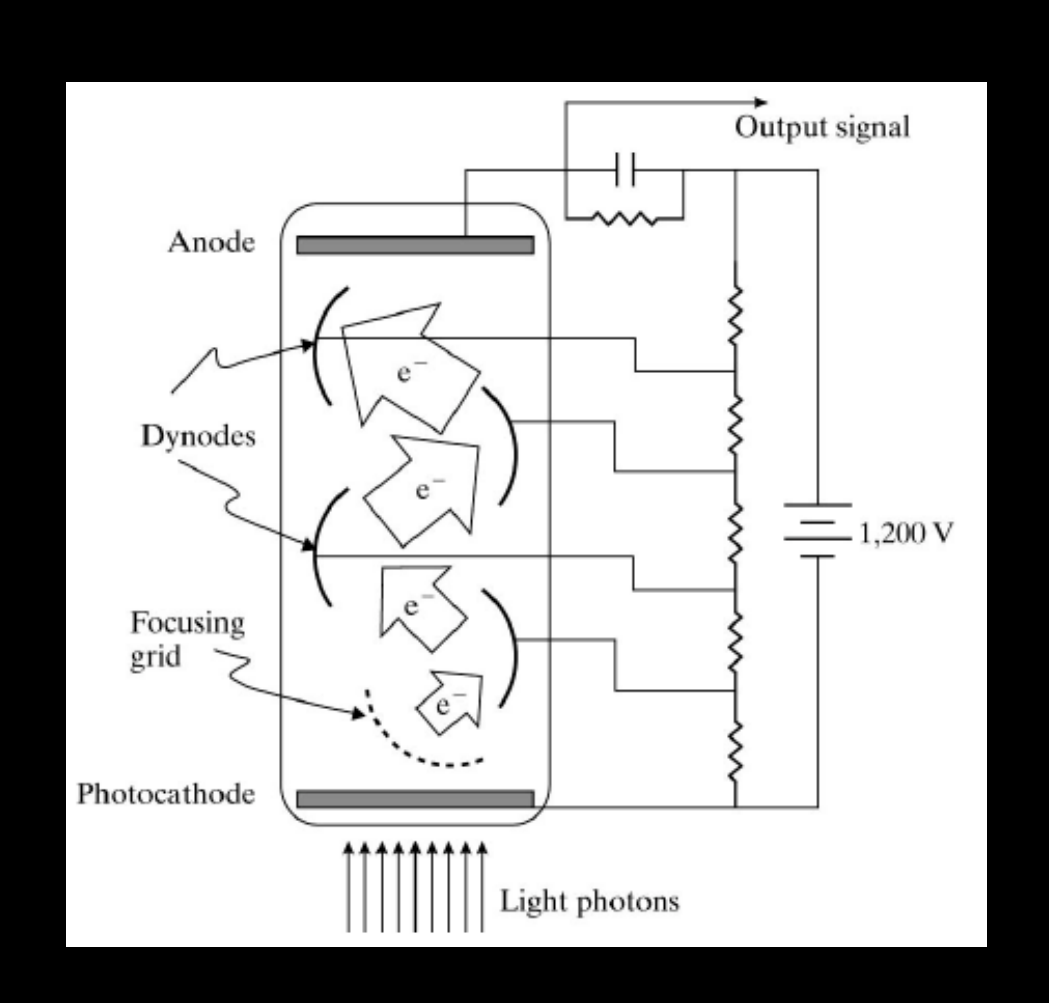
对给定核素和给定γ射线能量,准直器的空间分辨率与灵敏度是一对矛盾,空间分辨率的提高必然伴随灵敏度的降低。



## 闪烁晶体光电倍增管的特性

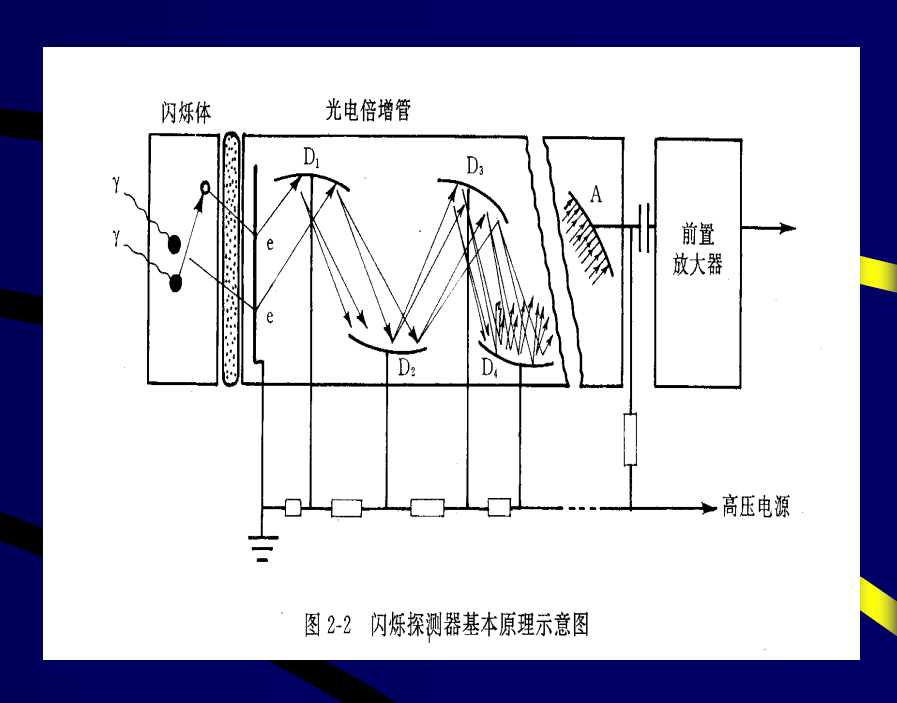
闪烁晶体:将y射线或X射线转变成可见光,一般是闪烁荧光

可见由光电倍增管转化为光电流,并放大



# 晶体(Crystal)

1、晶体是将 γ 射线转化为 荧光光子。 γ射线射入 晶体后,使晶体原子、 分子电离和激发,受激 发的原子或分子在退激 时发出大量光子; 这些 光子进入光电倍增管产 生光电子。



## 2、晶体结构特点

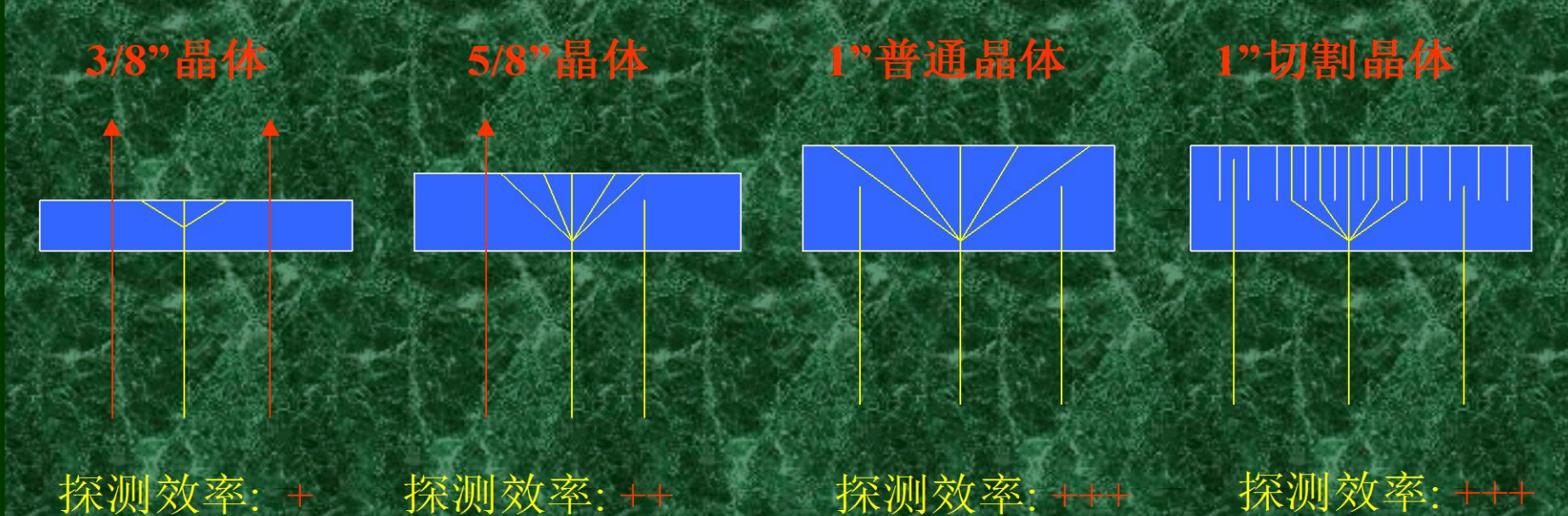
- ①Nal(TI)晶体是含有约0.1%轮(激活机)的 碘化钠单晶体。
- ②对 γ 射线有较高的探测效率、透明度好、与光电倍增管的光谱响应较好。
- ③易潮解,必须在铝膜密封条件下保存和使用。
- ④质脆,易碎裂,故使用肘应避免大的震动和温度的较大变化,要求室内温度控制在15~30℃之间,每小肘温差不超过3℃。

## 3 晶体种类及特点

- >晶体分类:
- a. 按形状分: 圆形晶体、方形和矩形大视野晶体。
- b.按厚度分: 3/8英寸晶体、5/8英寸晶体、1英寸普通晶体及1英寸切割晶体。
- 》特点:1、晶体厚度不仅影响SPECT机的灵敏度和空间分辨率,同时也限定了它所接受射线的能量范围。一般薄晶体接受的能量偏低,而厚晶体接受的能量则偏高。
- 2、对于99Tcm低能放射性核素,大部分γ射线与晶体的相互作用发生在晶体的入射面的2~5mm内。如果应用厚晶体,不仅对灵敏度没有明显改善,而且明显降低了空间分辨率。

### SIEMENS

#### 不同厚度晶体对高能射线探测能力

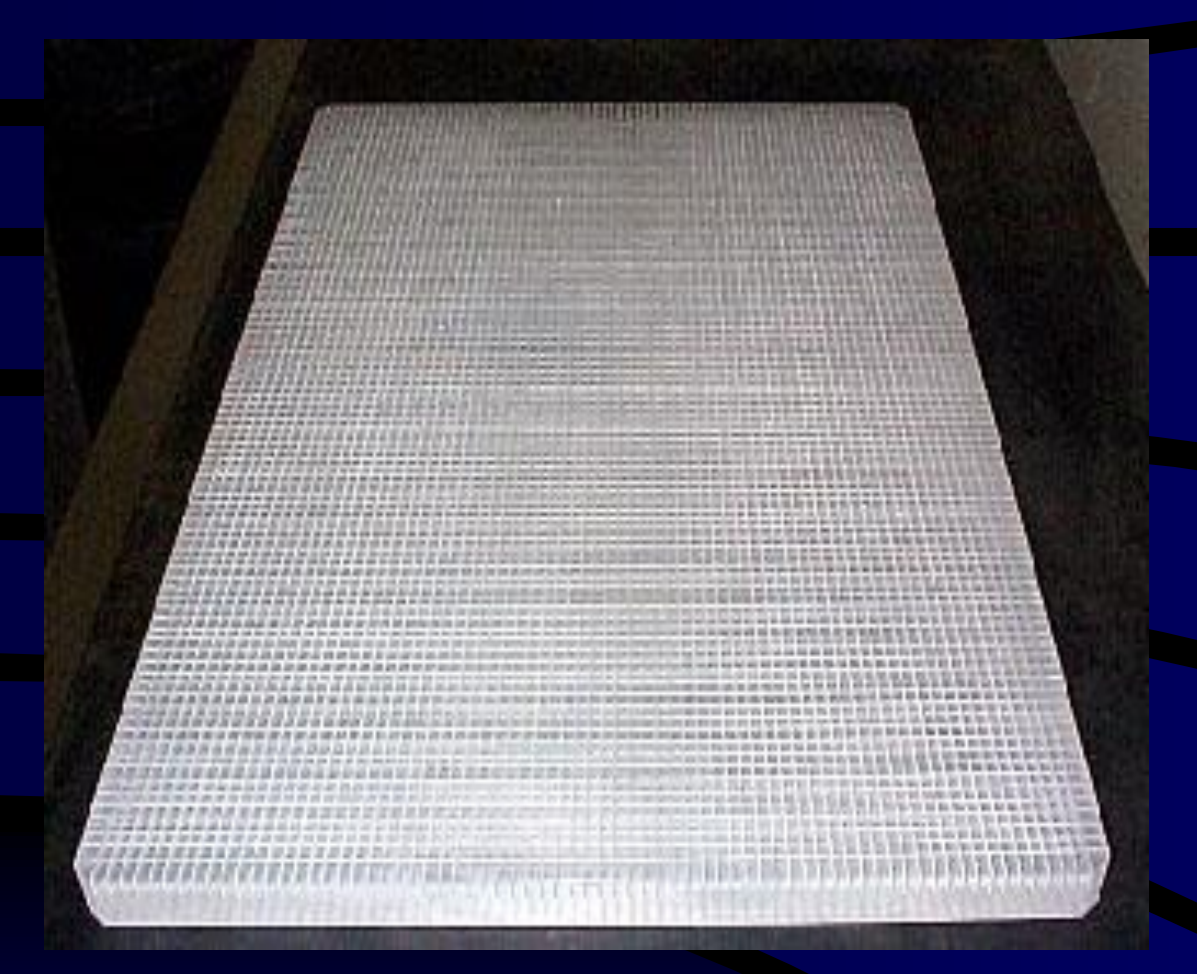


探测效率: + 探测效率: ++ 分辨率: +++ 分辨率: ++

分辨率:+

探测效率: +++

分辨率:+++



## 技术 1 英寸厚碘化 钠晶体 特殊切割小槽

#### 光导及光学耦合剂

- 1、光导功能: 把闪烁体中的光有效地传递 —— 给光阴级;
- 2、光导要求:透射率高;
- 3、光导常用材料:石英玻璃、聚苯乙烯、玻璃纤维光导;
- 4、光学耦合剂作用: 充填光导与晶体及光电倍增管间的空气间隙, 减少在三者之间交界面上发生的全反射, 有效传递光至光阴剂;
- 5、光学耦合剂:硅油、硅脂及甘油。

## 光电倍增管

1、光电倍增管:是一种光电转换器件,作用是将晶体产生微弱光信号转换成放大的电信号。 2、构成:由光阴极、多级倍增极、电子收集极(阳极)组成,整个系统密封在抽成真空状态的玻

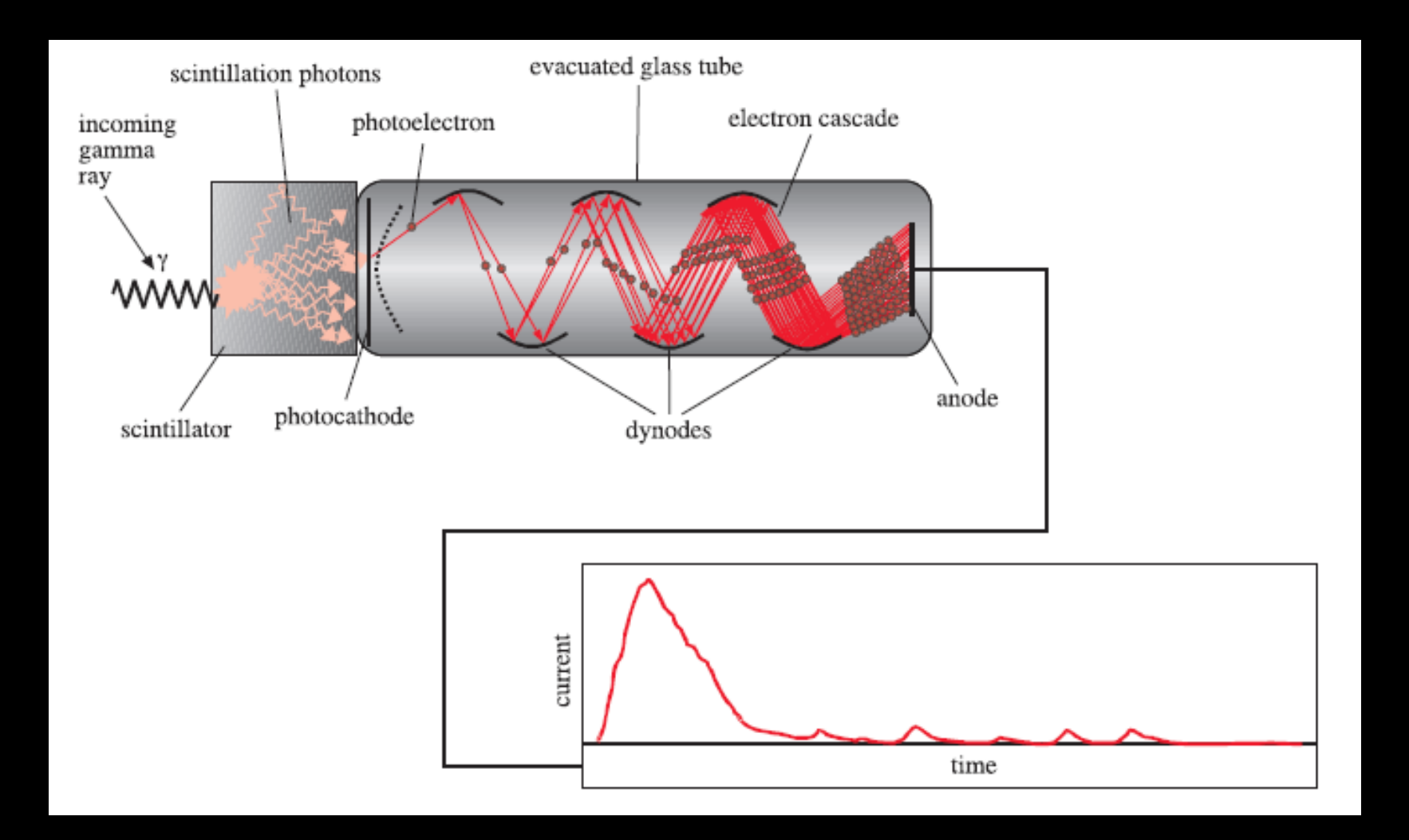
璃壳内。

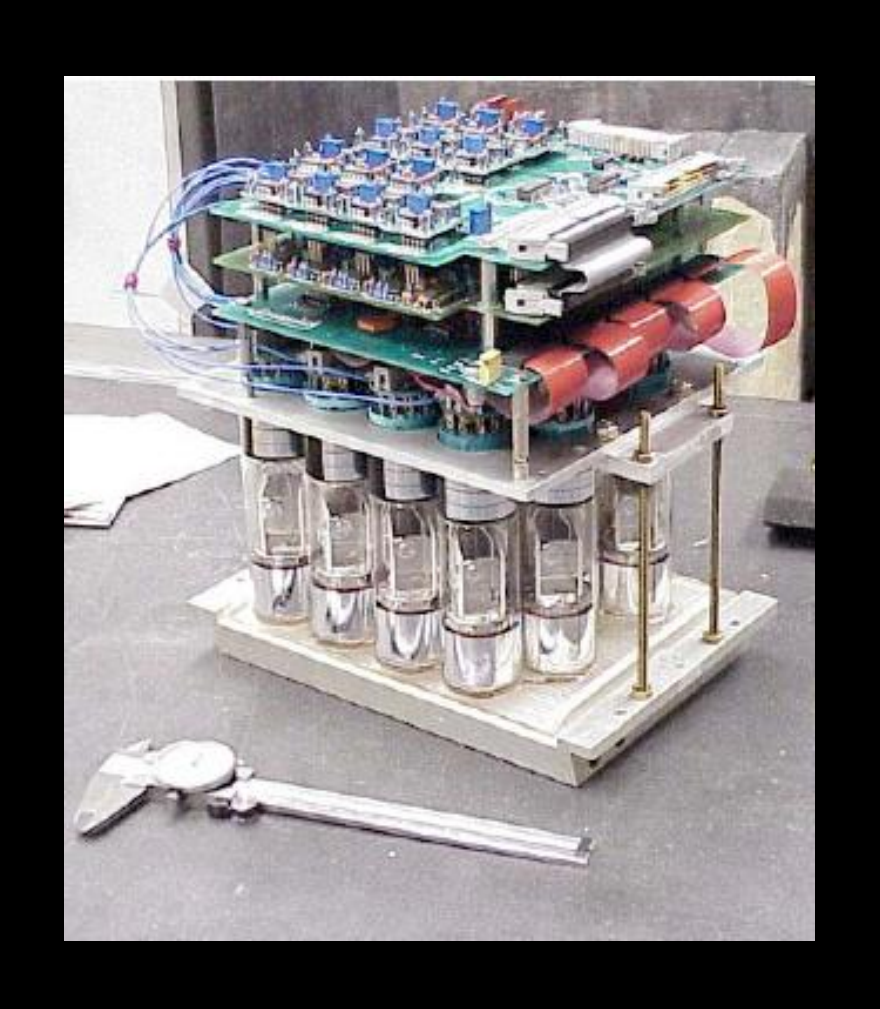
 八万
 光电倍増管

 A
 前置放大器

 放大器
 高压电源

图 2-2 闪烁探测器基本原理示意图





### 3、光电倍增管原理

原理:射线在晶体中引起的闪烁光打在光阴极上,通过光电效应产生光电子。光电子受极间电场的加速射向第一打拿极,在打拿极上产生更多的次级电子,这些电子在以后打拿极上产生相同的过程,倍增后的电子收集到阳极上形成电流脉冲。

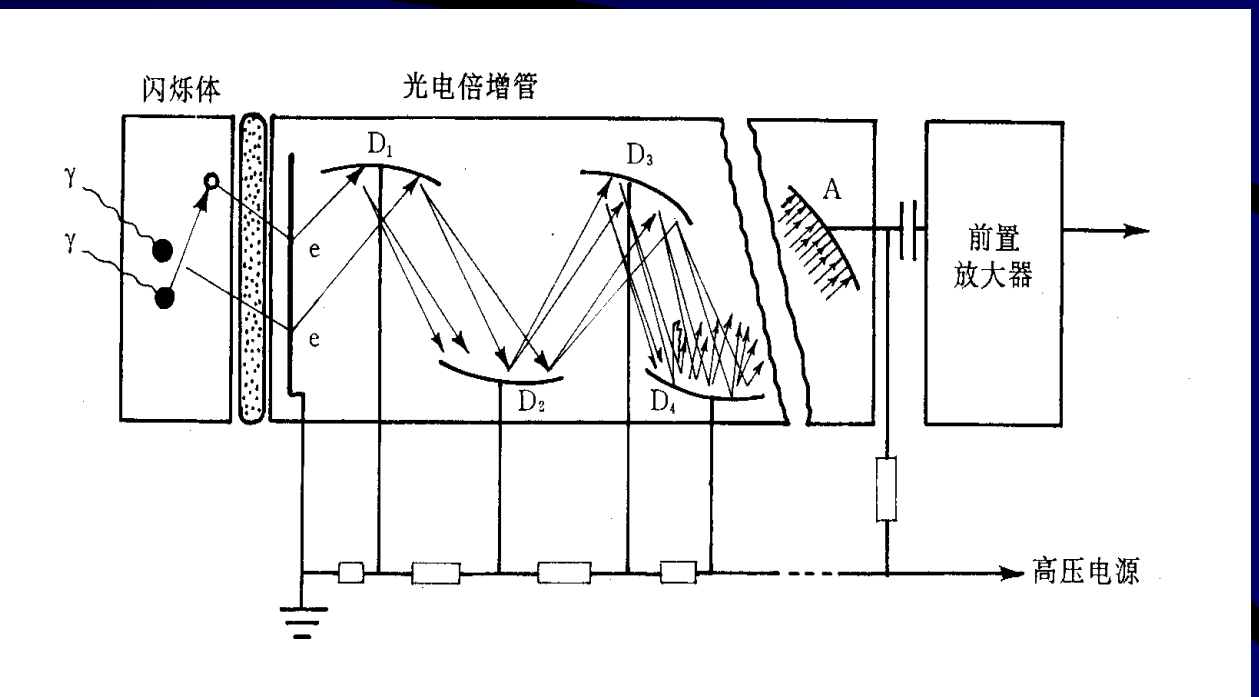


图 2-2 闪烁探测器基本原理示意图

#### 4、光电倍增管特点

- 》圆探头的SPECT机光电倍增管一般为37~91个,方形或矩形探头的光电倍增管一般为55~96个。
- > 光电倍增管的形状有圆形、方形和六角形三种。
- > 整体光电倍增管的性能稳定性取决于
  - 1、各个光电倍增管的性能参数是否一致;
  - 2、各个光电倍增管的工作电压是否稳定;
  - 3、是否有足够长的预热时间。
  - 性能稳定性直接影响着系统的均匀性、分辨率和线性度。
- ▶对光电倍增管性能影响最大的是直流高压的稳定性。

- 如何选择放射性药物: 衰变周期T
- 如何使用准直器:放射源能量高低、射线强度、脏器 大小深浅厚薄、灵敏度与分辨率。
- 幅度鉴别器: 脉冲宽度(窗宽) =V<sub>2</sub>- V<sub>1</sub>
- · 放射性能谱曲线:记数率Y与能量的关系曲线(理想)
- · γ射线统计涨落: 测量值围绕平均值上下涨落。

#### 第三节SPECT-单光子发射型计算机断层设备

- 简单的讲一台ECT γ光照相机加计算机构成。依靠数学解放程实现图象重建。彩色显示。1979第一台头部SPECT用于人体,现在对人体心、脑显像、脑血流显像、功能显像。
- 基本组成:数据采集单元;数据采集单元;数据存储单元;数据运算单元;系统控制;图象显示与输出单元;其它(8-09)
- 探头与扫描:探头较多与γ光照相机相同,安装在机架上,空间分辨率更高,围绕人体作360°或180°(完全角度或有限角度)扫描。实现平面显像、体层显像和全身显像。分为:旋转探头和固定探头(图8-10)

#### ECT成像原理

SPECT是利用放射性同位素作为示踪剂,将这种示踪剂注入人体内,使该示踪剂浓聚在被测脏器上,从而使该脏器成为 射线源,在体外用绕人体旋转的探测器记录 脏器组织中放射性的分布,探测器旋转一个角度可得到一组数据,旋转一周可得到若干组数据,根据这些数据可以建立一系列断层平面图像。计算机则以横截面的方式重建成像。系统控制:

外围设备:磁带机可读写的光盘、高精度黑白或彩色显示器、打印机、多幅照相机、珍视床,模型。

#### 一、基本结构与工作原理

- SPECT有两大类,一类为<mark>多探头环型</mark>,其结构与 X线CT类似,PET也是这种结构。由于有数量众 多的探头同时分别探测到各个方向的射线投影, 因此具有体层灵敏度高、空间分辨率好、成像时 间短等优点,甚至可以进行动态显像;但因价格 较高,不能同时兼用于平面显像和全身显像,而 未能推广应用。
- · 另一类为γ照相机型,利用通用的γ照相机通过某些方法实现体层显像。

- 一种方法是用多针孔准直器或旋转斜孔准直器采集不同角度的投影而进行图像重建,由于角度取样有限,空间分辨率和均匀度都较差,容易产生伪影,目前已很少应用。另一种方法是使γ照相机探头围绕身体旋转360度或180度进行完全角度或有限角度取样,所得投影量丰富,可以重建各种方向的符合临床要求的体层影像,是当今SPECT的主流。
- 这种旋转γ照相机型的SPECT同时兼有平面显像、体层显像和全身显像的功能,但单探头休层显像的空间分辨率较平而显像差,成像时间慢,不能进行较快的动态显像,所以双探头和三探头的旋转γ照相机型问世,三探头SPECT所得脑血流体层图像的质量已接近PET影像,也可进行心肌快速动态显像。

#### ■ SPECT的基本工作原理:

探测器沿病人某一层面在不同方向上作直 将每一条线上的体内示踪核素放 出的射线总和记录下来,形成一 这些直线投影的集合形成一个"投影截面" 每做完一次直线扫描,探测器旋转-(旋转角的大小根据所需图像分辨率来 定)。再扫描一次,取得另一 述过程为投影数据的采集 采集到的原始数据需经过"预处理" 由图像重建系统重建出SPE 图像重建是指从已知各方向的平 面投影值, 即测量值,求体层平面内各像 素的数值,形成体层图像。

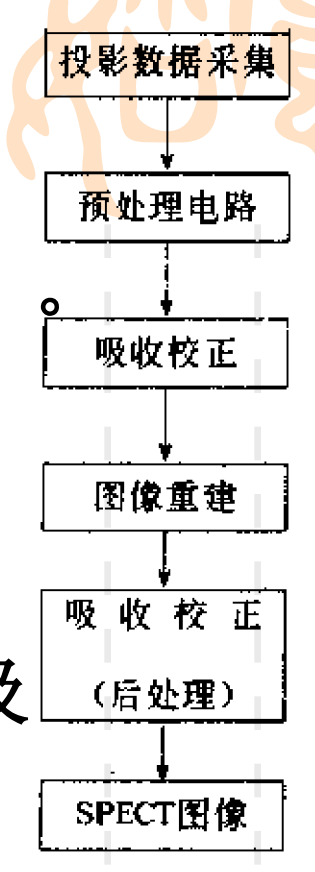


图 7-7 SPECT 基本工作原理 方框图



#### SPECT的结构图

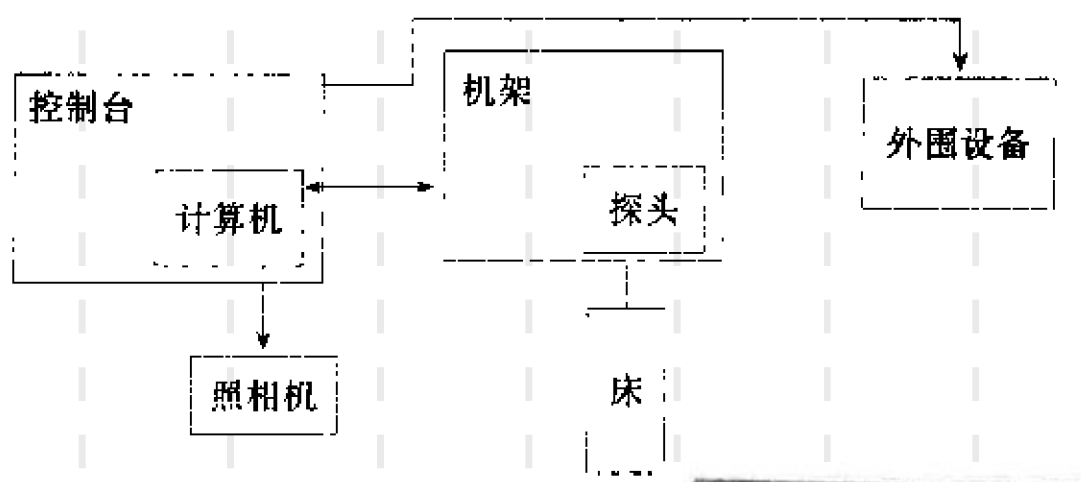






图 7-8 SPECT 结构











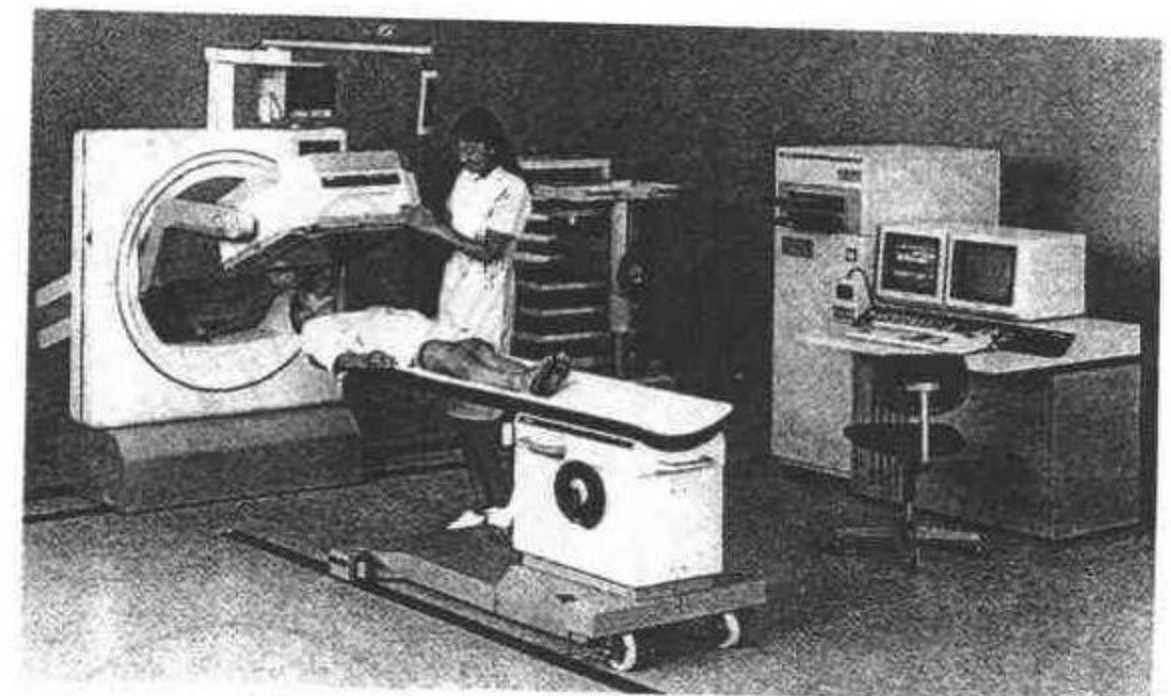
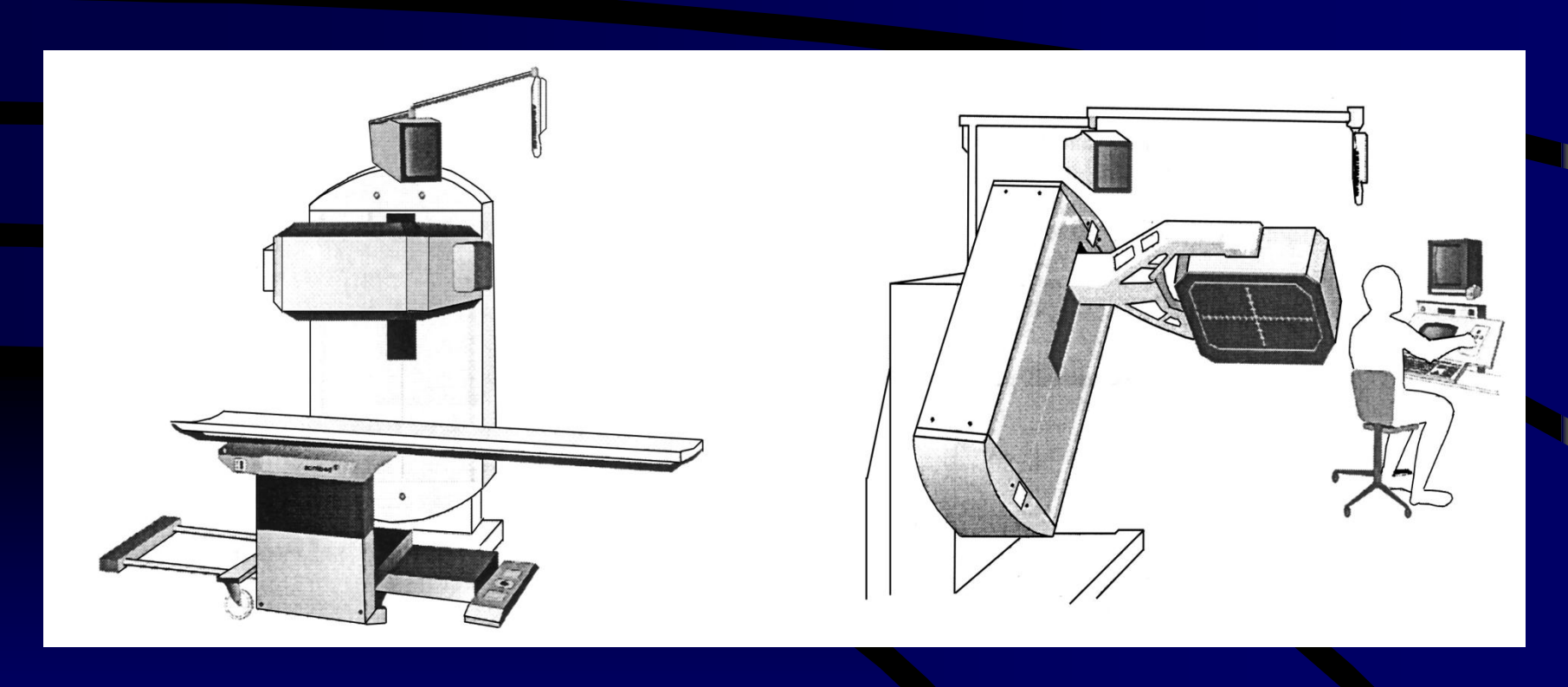


图 7-9 SPECT 外形图

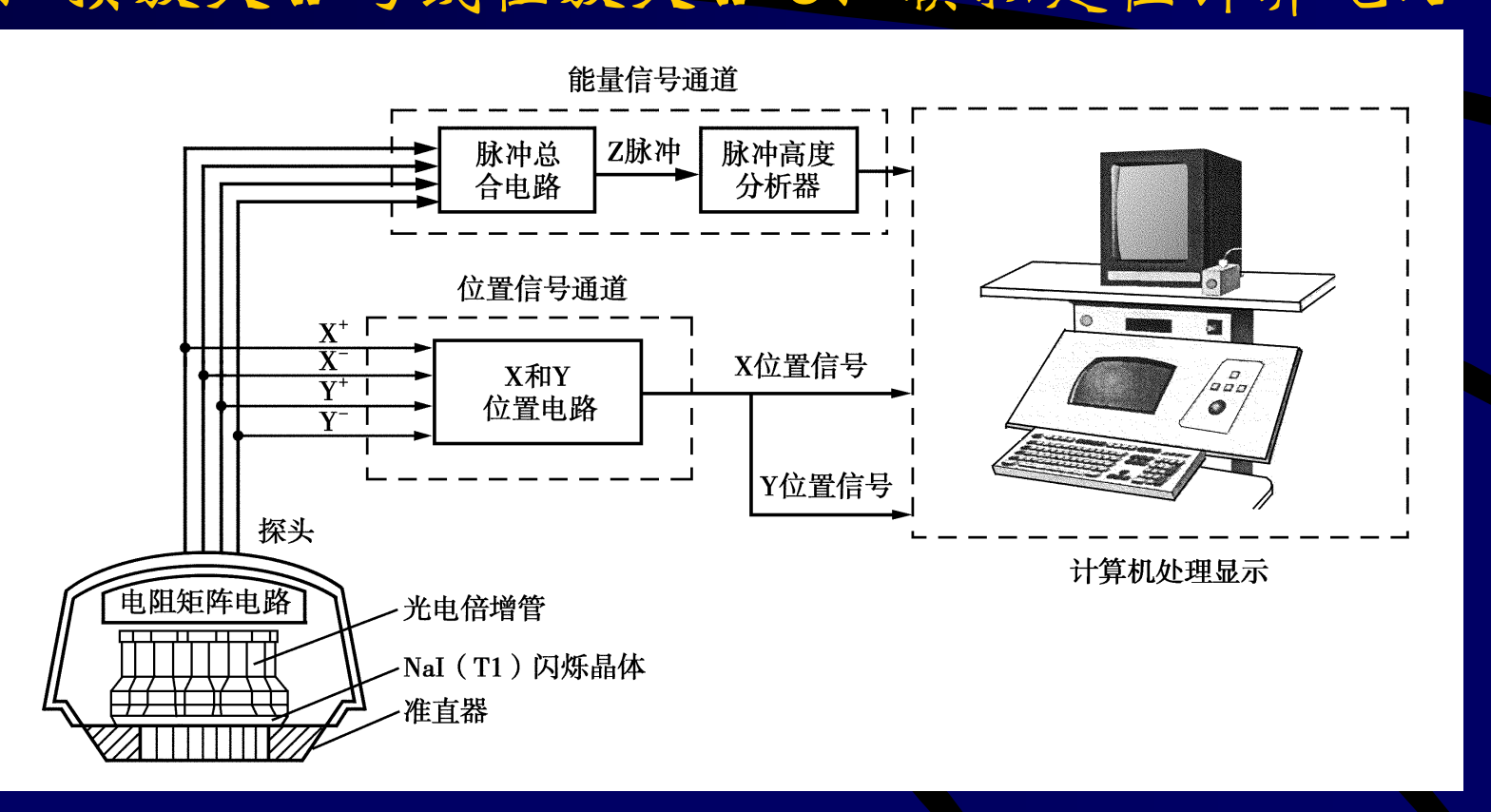
## SPECT系统构成

1、探头(探测器) 2、机架 3、计算机及辅助设备



## 二、探测器构成及工作原理

1、准直器 (collimator) 2、晶体 (Crystal) 3、光导 4、光电倍增管 (PMT) 5、预放大器与线性放大器 6、模拟定位计算电路



## 探测器工作原理

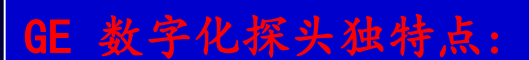
一定视野范围内一定方向上的丫光子通过准直器小 孔进入晶体, 使晶体原子、分子电离和激发, 受激 发的原子或分子在退激时发出大量光子; 这些光子 射到光电倍增管阴极,通过光电效应产生光电子, 光电子受极间电场的加速射向第一打拿极, 在打拿 极上产生更多的次级电子,这种电子倍增过程依次 在联级中发展下去,在到达阳极前要通过8~14个 联级, 电子数可增加106~109倍, 倍增后的电子最 后收集到阳极,形成电流脉冲;这电信号通 过位 置网络处理,形成与 7 射线能量成正比的 2 脉冲和 与位置有关的信号 (X+,X-,Y+,Y-)。

## (二) 全数字化探测器

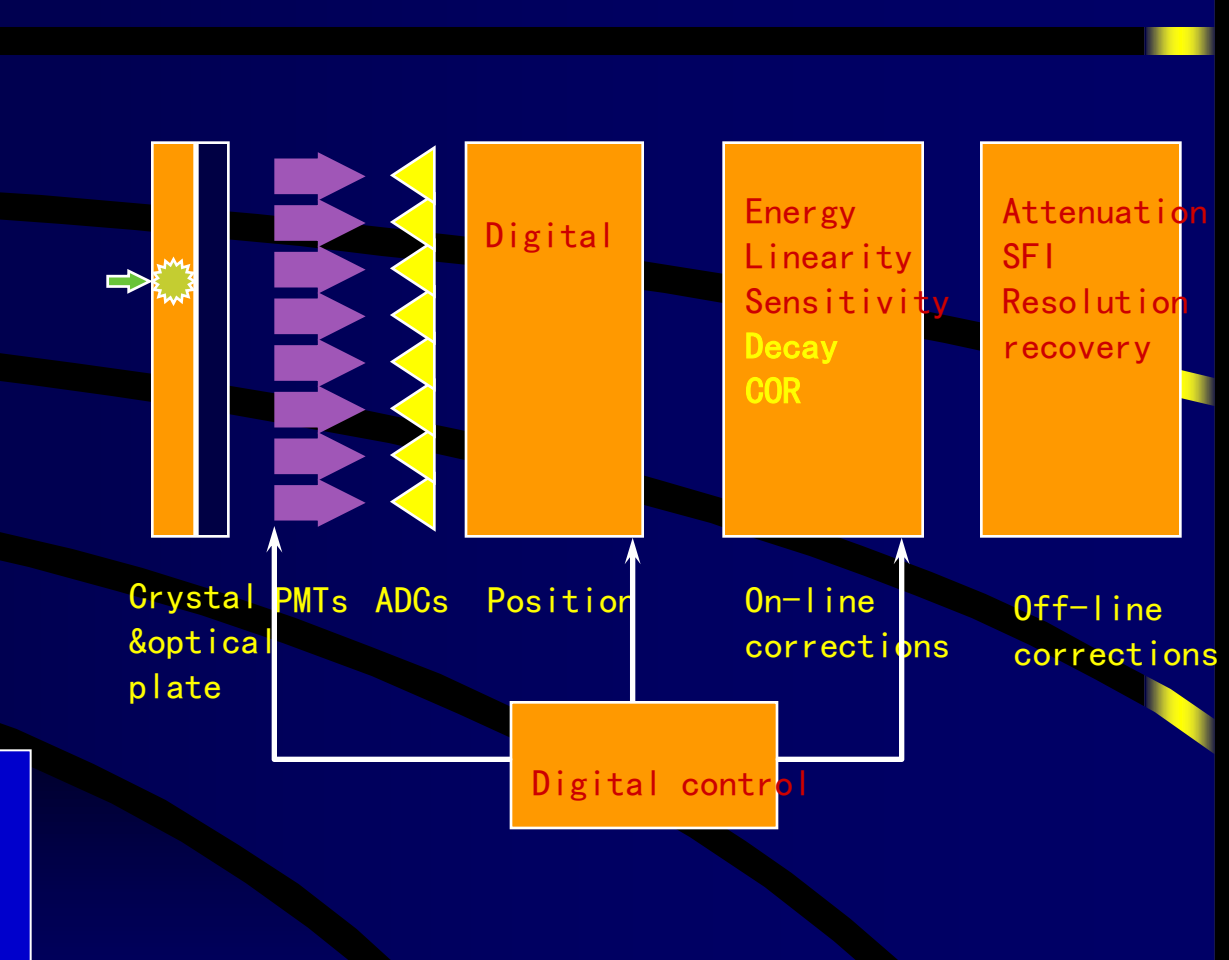
- ◆模拟化探测器的模式: 脉冲幅度分析、 X+,X-,Y+,Y-位置形成等处理都在模拟状态下完成;
- ◆全数字化探测器:PMT输出的脉冲经过适当放大后直接进行ADC转换, 其后处理均在数字状态下,由计算机采用软件处理来完成。简化了硬件结构,提高了探测效率,计数率及稳定性。

#### 全数字化探头优点

- 探头稳定性高
- 探头维修方便
- 遥控诊断和检测功能
- 图象质量明显提高
- 操作简单



- 1. 全数字化反馈系统
- 2. 五维校正系统



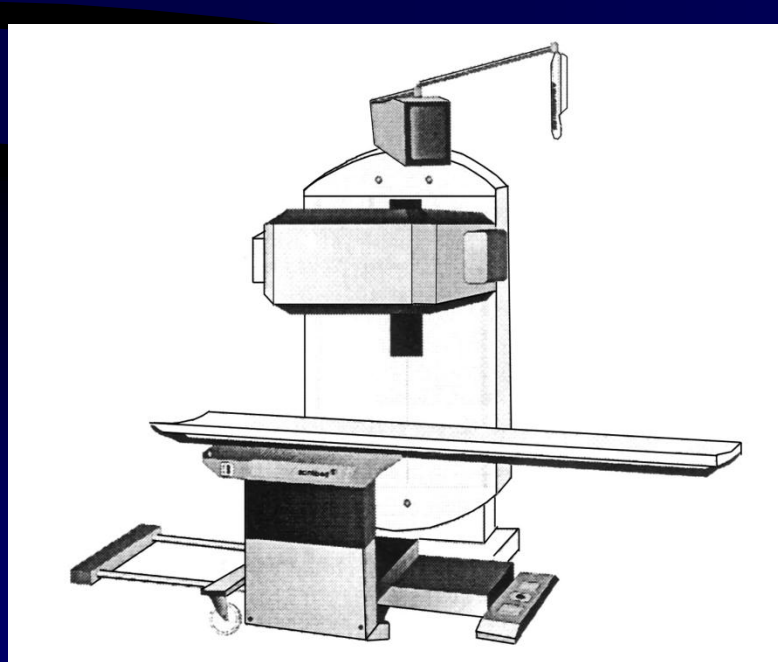
- ▶圆探头的SPECT机光电倍增管一般为37~91个,方形或矩形探头的光电倍增管一般为55~96个。
- > 光电倍增管的形状有圆形、方形和六角形三种。
- > 整体光电倍增管的性能稳定性取决于
  - 1、各个光电倍增管的性能参数是否一致;
  - 2、各个光电倍增管的工作电压是否稳定;
  - 3、是否有足够长的预热时间。

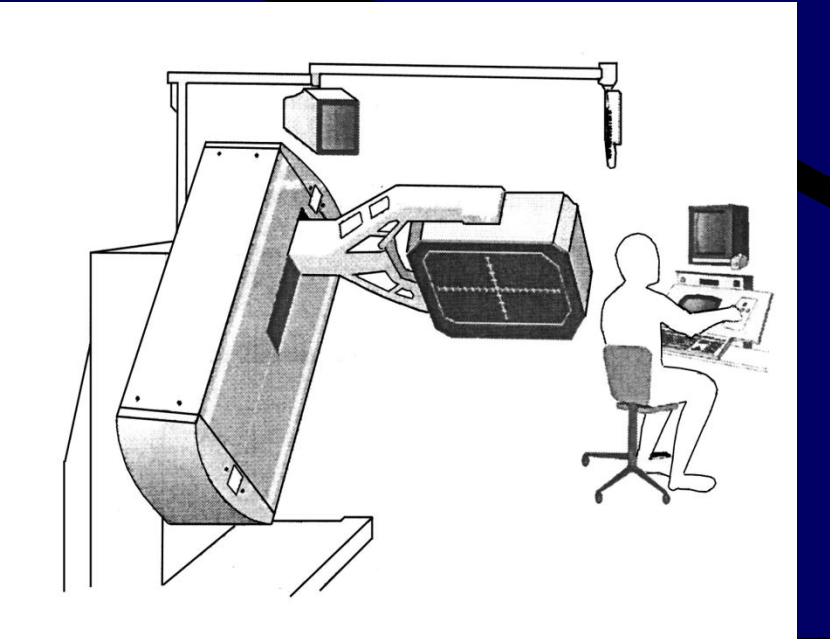
性能稳定性直接影响着系统的均匀性、分辨率和线性度。

戶对光电倍增管性能影响最大的是直流高压的稳定性。

## 二、机架构成及工作原理

- 机械运动组件
- 机架运动控制电路
- 电源保障系统
- 机架操纵器
- 运动状态监视器





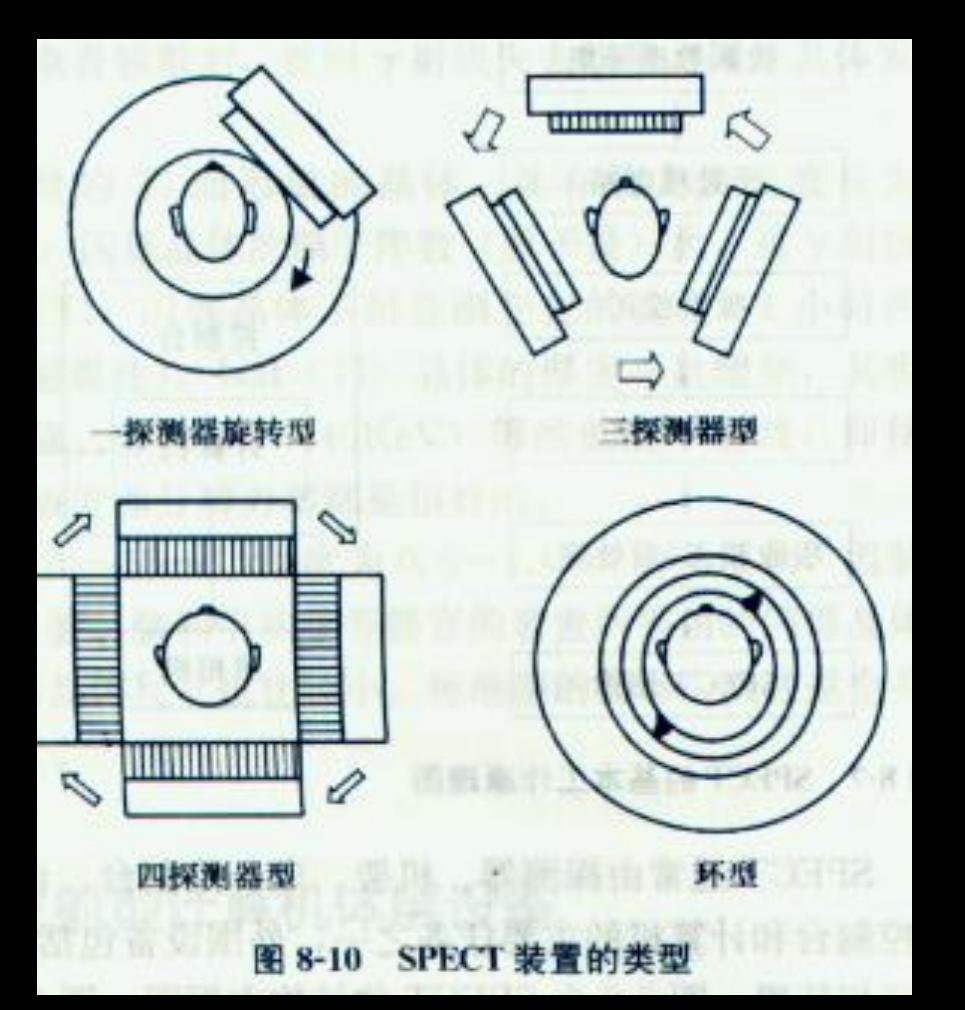




## (一) 机架定位控制系统

- 1、定位控制系统构成:
- ①驱动马达控制电路;
- ②位置信息存储器;
- ③定位处理器。
- 注1: 机架定位控制系统控制探头及机架的各种运动方式和速度。
- 注2:定位处理器实际上是一个微型计算机,它的主要作用是控制探头及机架转动的角度、移动的距离及识别位置。定位处理器受主计算机的控制,并将各种定位数据传输给主计算机。

机架





## 2、机架运动按其运动形式

- ①整体机架直线运动,适用于全身扫描;
- ②探头及其悬臂以支架机械旋转轴为圆心,作顺肘针或逆肘针圆周运动,适用于断层采集;
- ③探头及其悬臂沿圆周运动半径作向心或离心 直线运动,主要作用是使探头在采集数据时 尽可能贴近病人;
- ④探头沿自身中轴作顺肘针和逆肘针倾斜或直 立运动, 适用于静态或动态显像肘特殊体位 的数据采集。

#### 控制台

消除散射光子、"叠加"光子对成像的影响 方法:设置脉冲高度分析器

#### 计算机

■ Dicom3.0标准接口











# 三、输入计算机数据的数字化装置

## 计算机控制系统构成

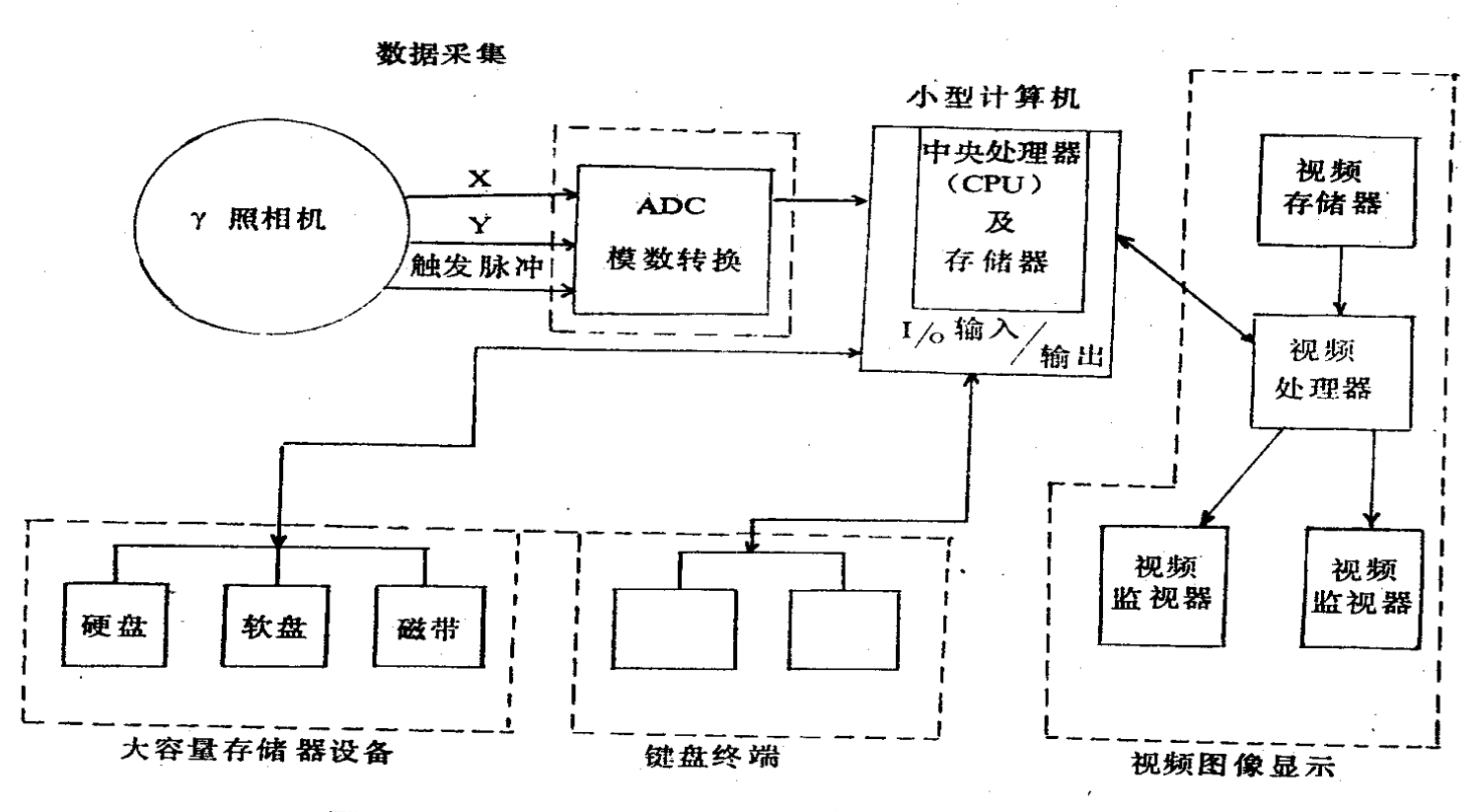


图 5-1-1 核医学计算机系统方框图

二、γ 照相机-计算机的接口

## (一)模拟/数字转换器

(analog-to-digital converter, ADC)

- 1、功能:将模拟信号转化为数字信号
- 2、衡量ADC转换效率的指标:转换精度和转换 时间。
  - 转换精度一般为8Bit~12Bit(28~212),相应地有256~4096个标准值可供比较和转换。标准值越多,转换精度就越高,图像越精细,空间分辨率约高.
- 转换时间最基本的要求是必须在第2对信号到达之前,迅速完成前一对信号的转换,否则第2对信号将会丢失,因此而产生了转换系统的死时间。

# 死射间

• 死財间是指探测器能够分开2个闪烁 光子的最短时间称为死时间,用τ 表示; 反映了对两个相邻闪烁事件 在时间上的的分辨能力。

· SPECT机的死射间 <=5 μs。

## 死时间

探测器能够区分相继接踵而来两个放射事件的 最短时距称为分辨时间,短于分辨时间的时间称为 死时间。在死时间内的两个信号不能被分别计数, 有时只能计数1个,有时可因两脉冲叠加超过窗宽而 被删除,因此造成漏计数(丢失放射事件),使探 测器整体计数效率下降。

## 3、ADC转换法

最常用的快速转换法是逐次渐近法, 也称为二进制检索算法(abinary search algorithm)。

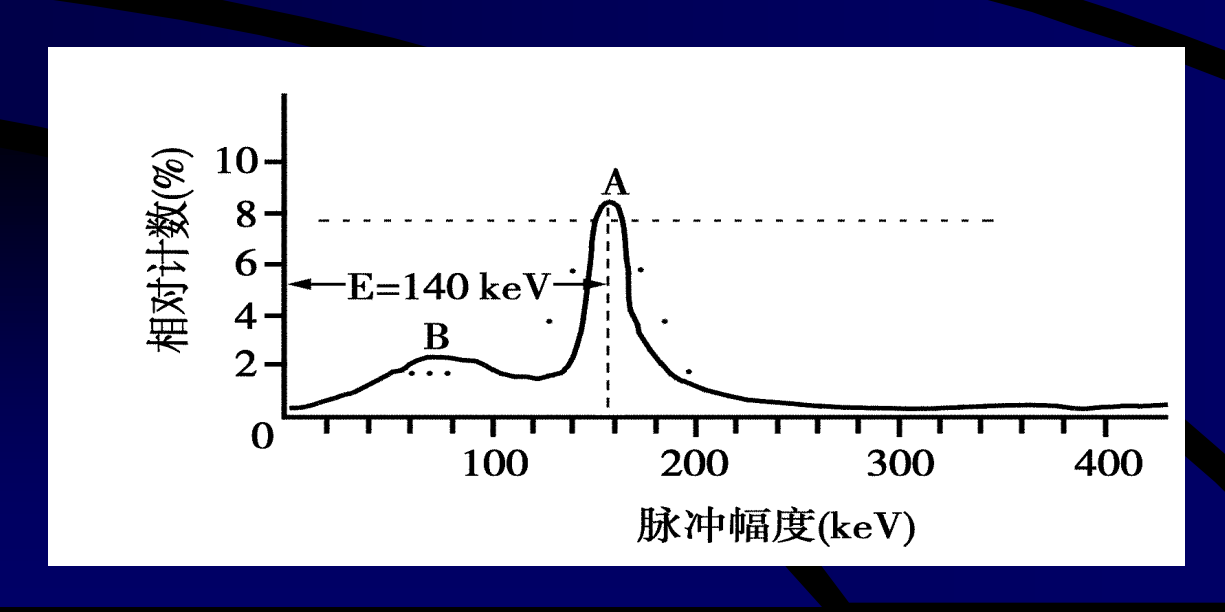
## 逐次渐近法

- ADC的比较器电路是将输入的模拟信号(电压)与一个电阻网络所产生的一组标准电压进行比较
- 规定:  $\gamma$ 射线能量为0~400keV,脉冲幅度为0~10V,MCA的分析道有 $2^{12}$  (4096)道,道宽为0.0025V,每道代表的 $\gamma$ 射线的能量为0.1keV。
- ■典型的中间电压值是第2048个电压值,将第2048 个电压值作为信号数字值的第1个近似值,如信号电压值小于第1次选择的电压值,则下一个新的估计电压值为第1024个电压值;这种渐近系列将重复8次,可选出的值更超于模拟信号的真实电压值。即将这个值作为此模拟信号的数字化转换值,并以此数字量作为存储器的地址码去打开相应的存储单元,在该单元加1。

#### (二)数字式多道脉冲幅度分析仪(MCA)

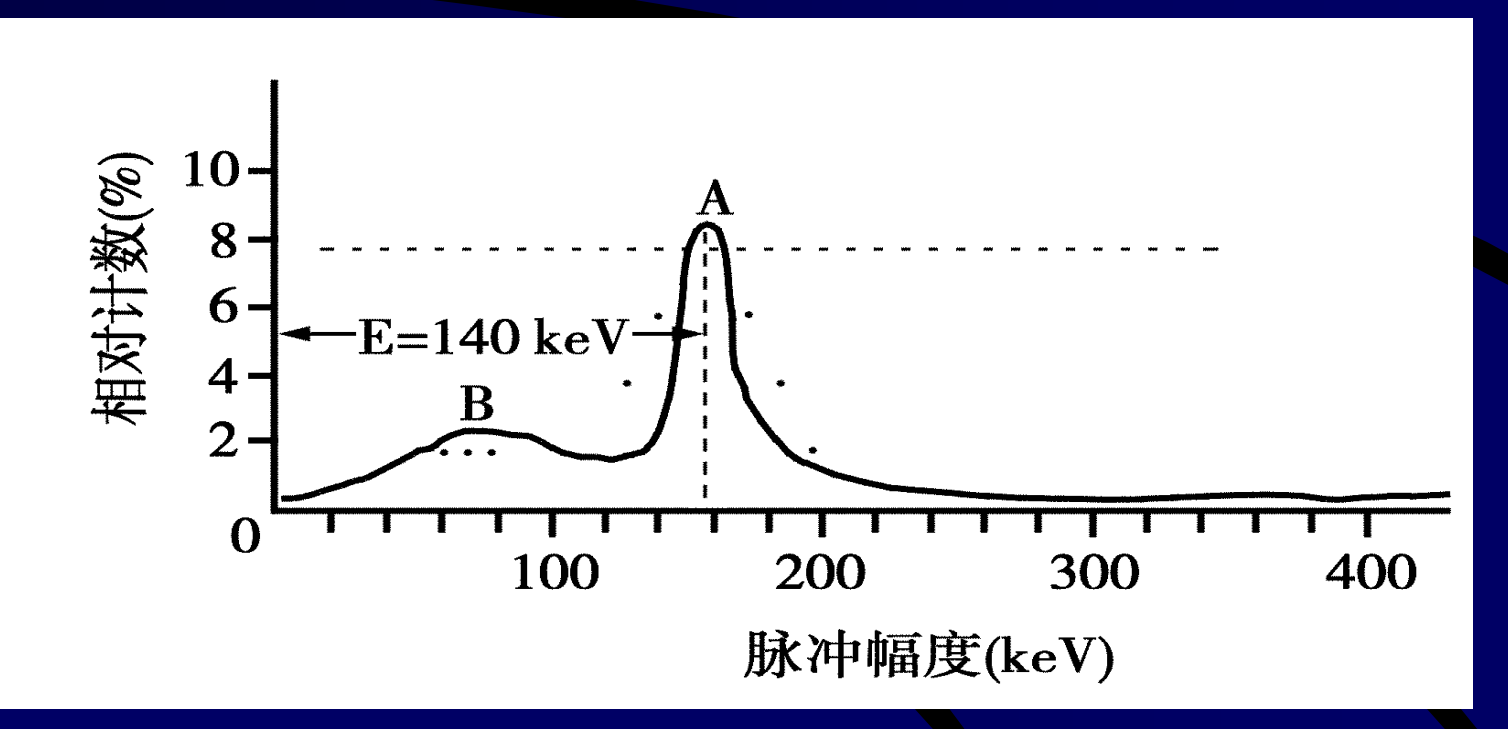
1. Y能谱是Y射线的计数按射线能量的分布。 峰A称为全能峰,脉冲幅度直接反映了Y射线的能量, 是由于光电效应使Y光子在闪烁体中损失全部能量 的结果。

平台状曲线B称为康普顿平台,是由于康-吴散射效应 使Y光子在闪烁体中仅有部分能量被吸收的结果。



# 2、脉冲幅度分析仪

脉冲幅度分析器有上下两个电压测定阈值,宽度称为道宽或窗宽.只有输入脉冲的幅度在窗的范围内时,脉冲幅度分析器才能输出恒定的脉冲给后极电路。



## 3. MCA的基本性能

- ▶ MCA的作用是选择有用脉冲而剔除噪声脉冲。 选择一定幅度范围(对应一定的能量范围)进行计 数,能够抑制本底和剔除散射,提高系统的空 间分辨率和影像的对比度。
- >经验推荐值为A峰阈值20%的窗宽。
  - 窗宽增大,散射光子多,系统空间分辨率和影像的对比度变差;
  - 窗宽变窄,非散射光子被剔除而使总计数率降低,增加了统计误差。

## 4. MCA的工作原理

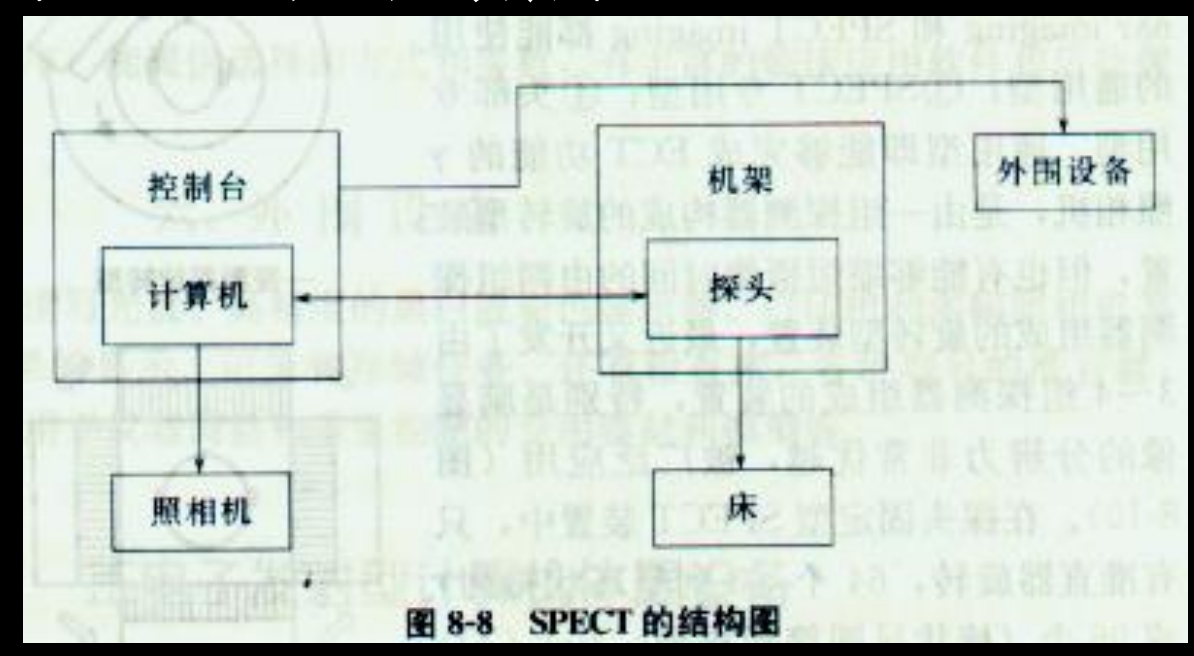
- > MCA的核心电路单元是一个ADC。
- ►Nal(Tl)探测器测定的γ射线的能量为0~400keV, 形成的能量脉冲幅度为0~10V, MCA的分析道 有4096道,故MCA每道宽度为0.0025V,代表 的γ射线的能量为0.1keV。99Tcm能量140keV, 窗宽20%, 能量取值范围是112~168keV; 能量脉冲电压为3.5V, 取值范围2.8~4.2V, MCA的分析道第1400道, 取道范围1120~1680道。

#### SPECT照相机的技术指标

- 非线性:观察探头的非线性,如直线弯曲,表明探头产生的X、Y信号不随放射源位置的偏移而线性变化、空间位置失真。
   晶体和光导的不均匀性也会带来位置失真。
- 非均匀性: 合格的探头对均匀辐射场得到的图象密度均匀, 对非均匀性补偿与校正
- 空间分辨率:主要准直器的特性决定,分辨率随深度加大分辨率变差,部分由探测器决定。它与探测器内γ射线多次反射有关,与闪烁体光、电倍增管统计涨落有关
- 死时间: 闪烁晶体闪光点计数丢失,造成光电倍增管无输出,可以说死时间是衡量数据丢失时间

### SPECT的分类

- · 扫描机型SPECT和γ照相机型SPECT, 前者成本较高, 一般用后者。
- 横断层SPECT和纵断层SPECT



#### SPECT的使用

- 病人的体位确定:体位
- 采集条件的选择:矩阵大小、角度间隔数、总角度、采集时间
- 重建条件的选择:断层片数、层厚、间隔、重建方法、滤波函数

# SPECT采集技术 image acquisition

### SPECT常规准备工作

- 1、开机(先开显示器及拍片机等辅助设备,
- 再开主机;关机顺序相反)
- 2、自动校正(主机+均匀性检测DAILY QC)
- 3、准直器更换
- 4、注射显像剂
- 5、摆体位准备采集
- 6、采集、处理、显示、拍片
- 7、 关机 (STOP、STAND BY)

## 采集技术

一、基本数据录入

病人姓名、年龄、性别、检查项目、编号、显像剂名称、资料存储的文件 夹等

二、选择患者体位

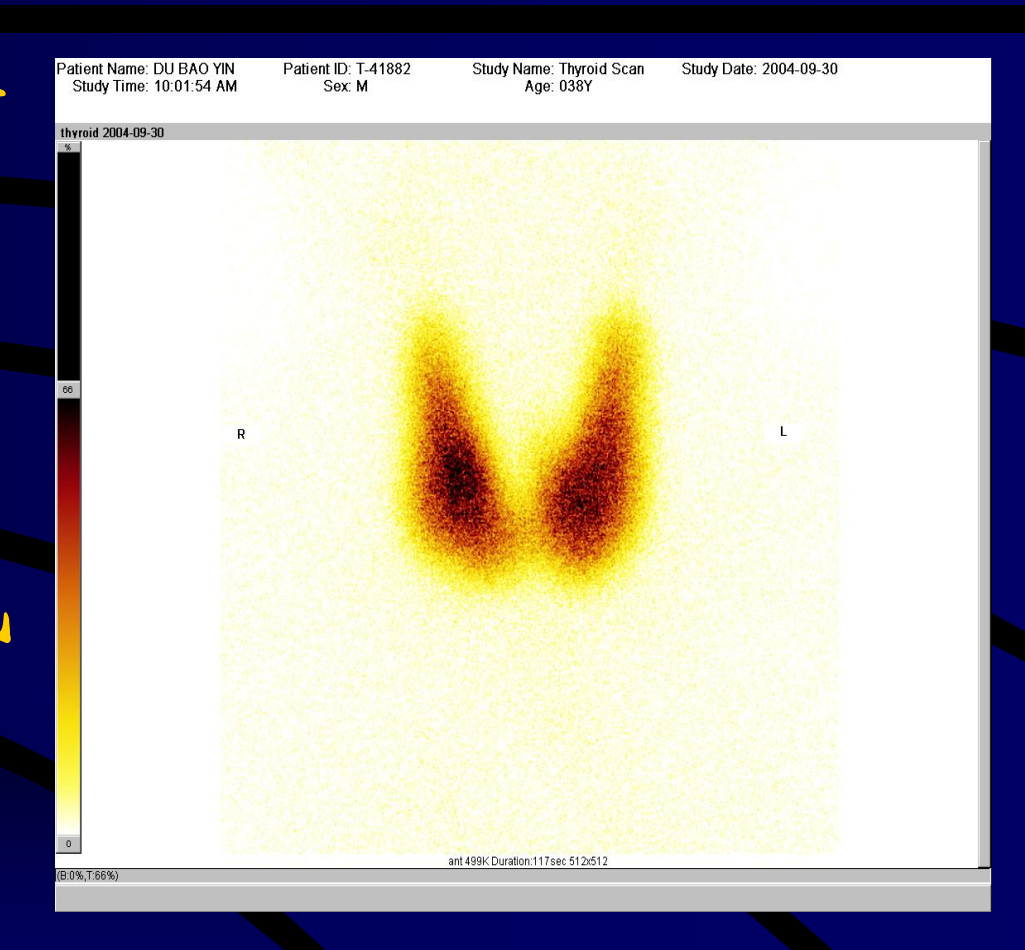
仰卧位、俯卧位、直立位、端坐位

# 三、聚集方式

- (一) 帧模式采集 (frame mode):
- 1、静态采集2、动态采集
- 3、断层采集4、全身采集
  - (二) 门控方式(gated control mode);
- 1、心电门控采集
- 2. 心肌门控断层采集:
  - (三) 双核素方式(dual nuclide mode):
  - (四) 计数式方式 (counts rate mode)
  - (五) 列表模式 (list mode)

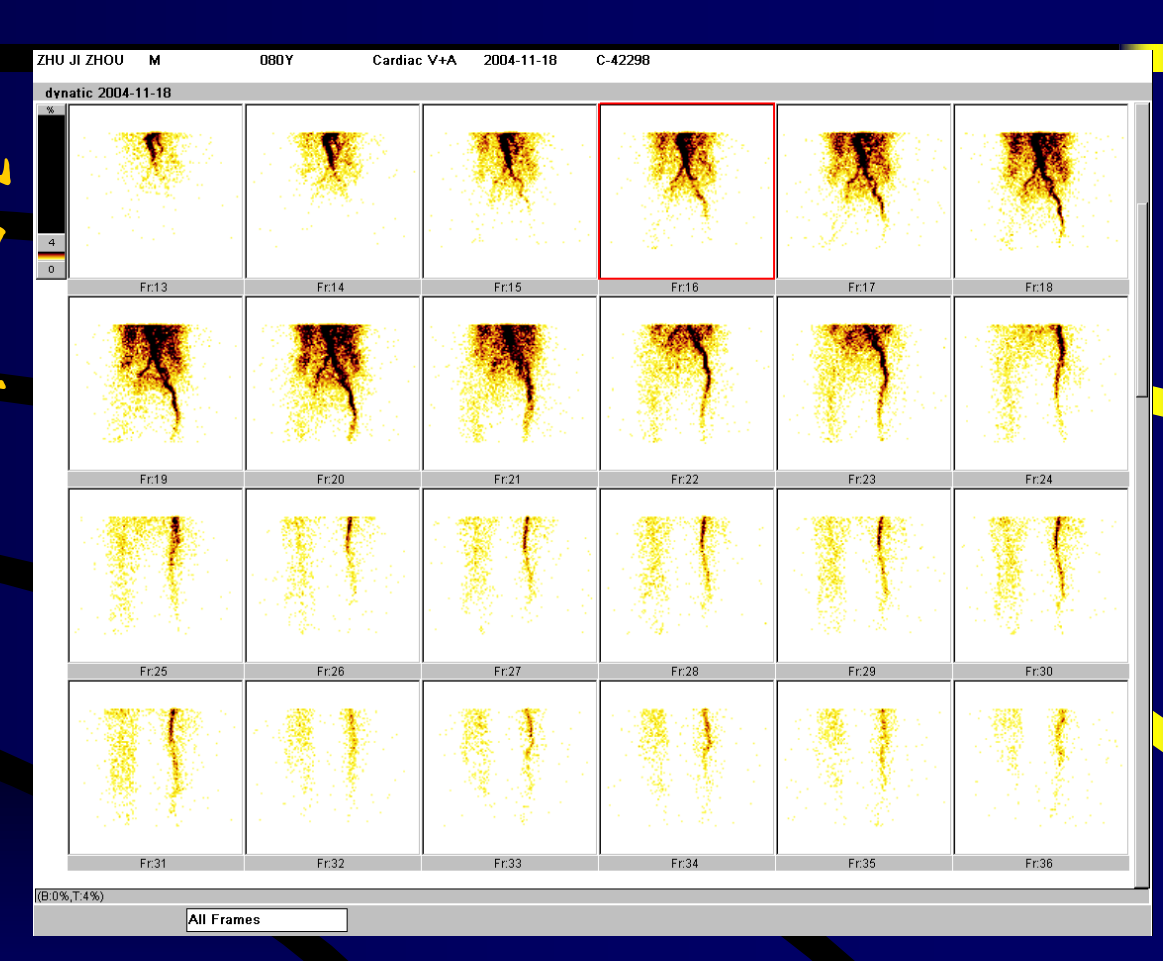
## 1、静态采集(Static imaging)

- ·静态采集:当显像 制在脏器内或压力 变处状态时进行 稳定状态时进行 的显像。
- · 目的:观察脏器或 病变的位置、形 态、大小及放射 性分布。



## 2、动态采集 (Dynamic imaging)

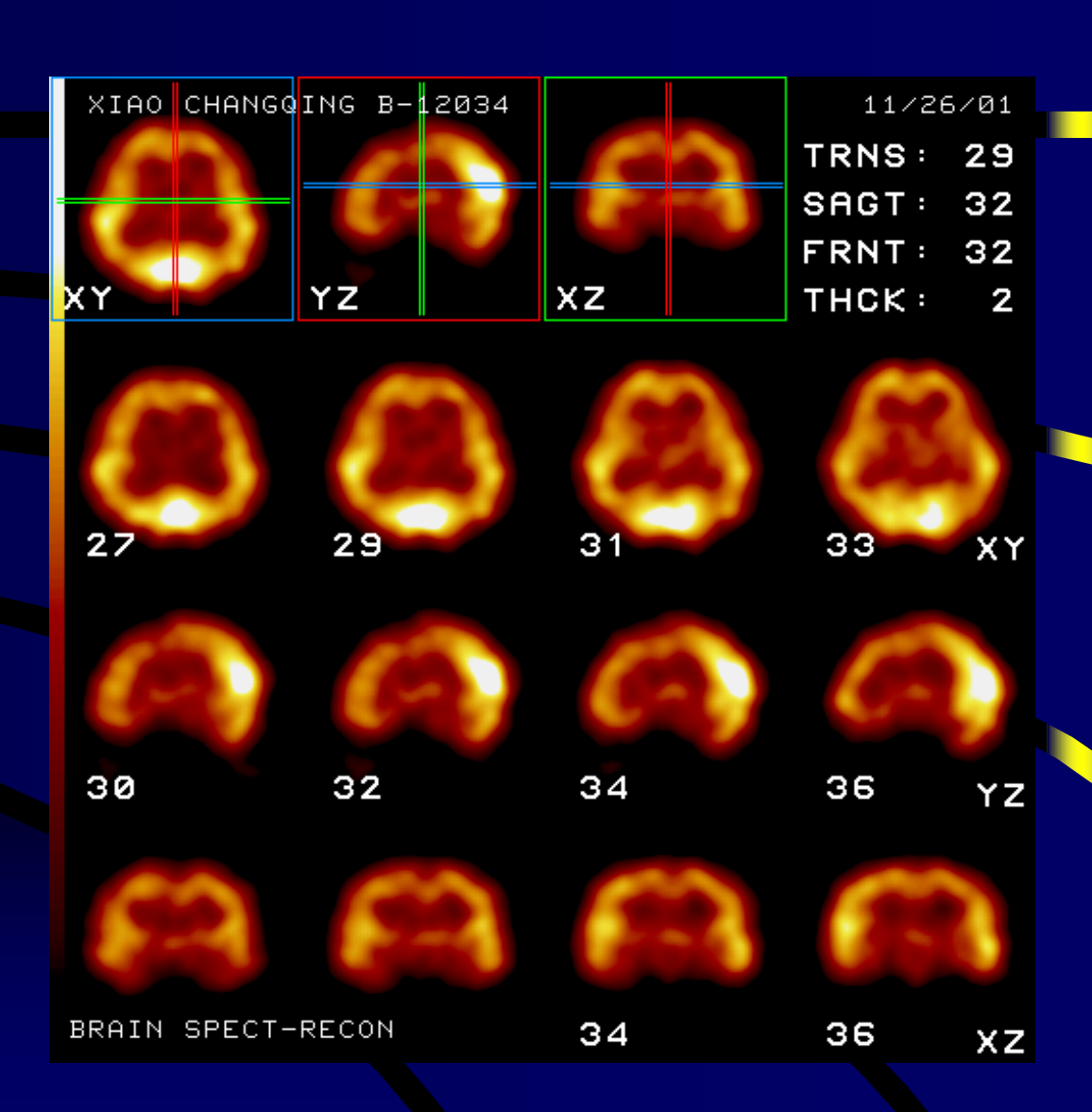
- 目的:
- 1、动态观察
- 2、电影显示
- 3、感兴趣区(ROI)
- 4、 时间-放射性曲线



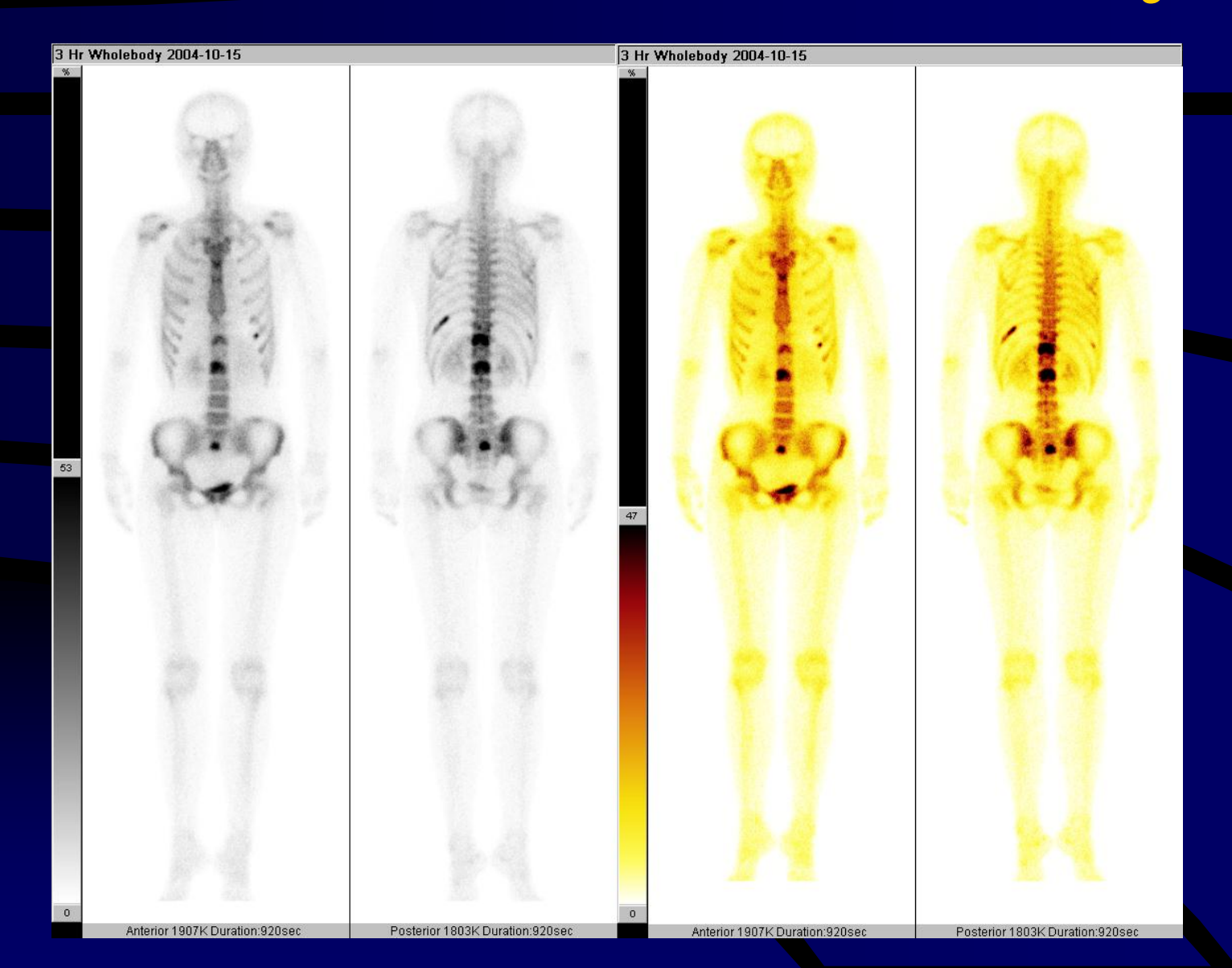
## 3、断层采集(Tomography)

#### 断层采集:

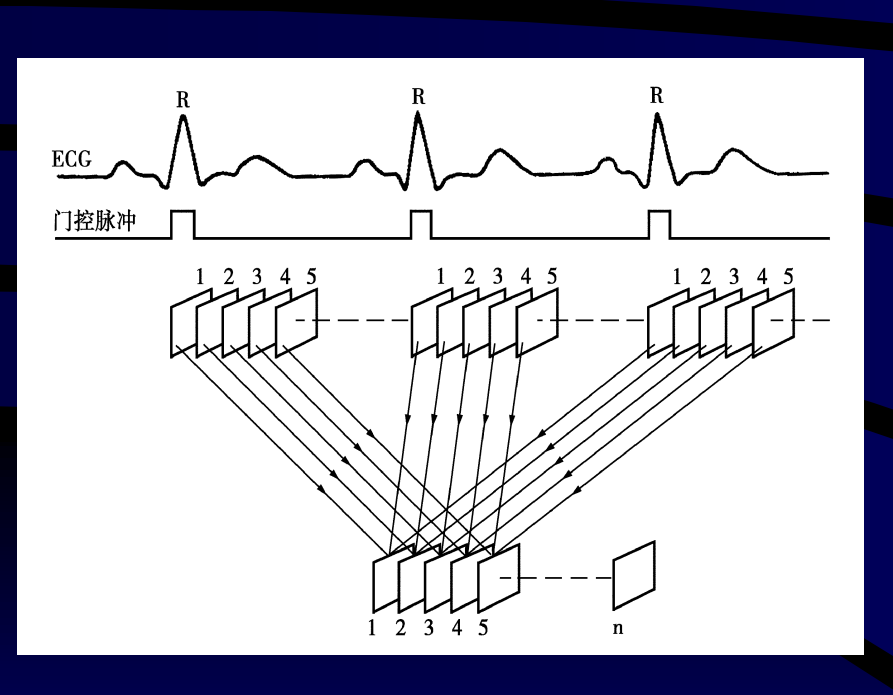
在海人人。

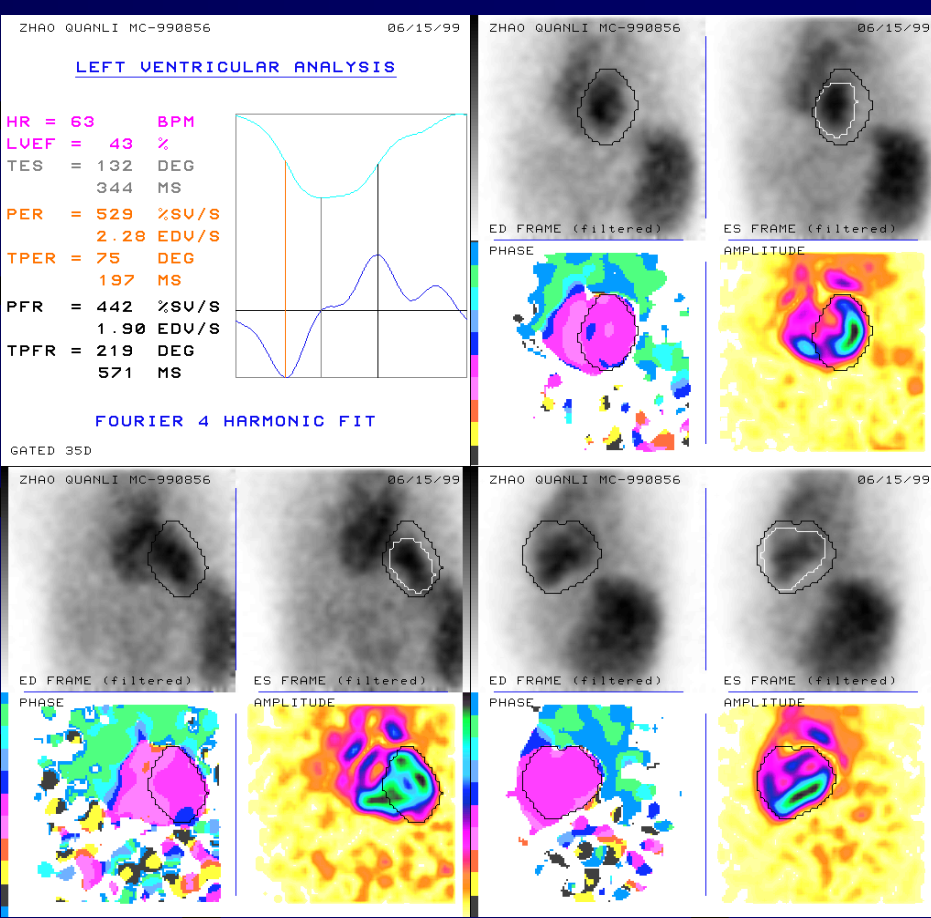


# 4、全身采集(whole body)

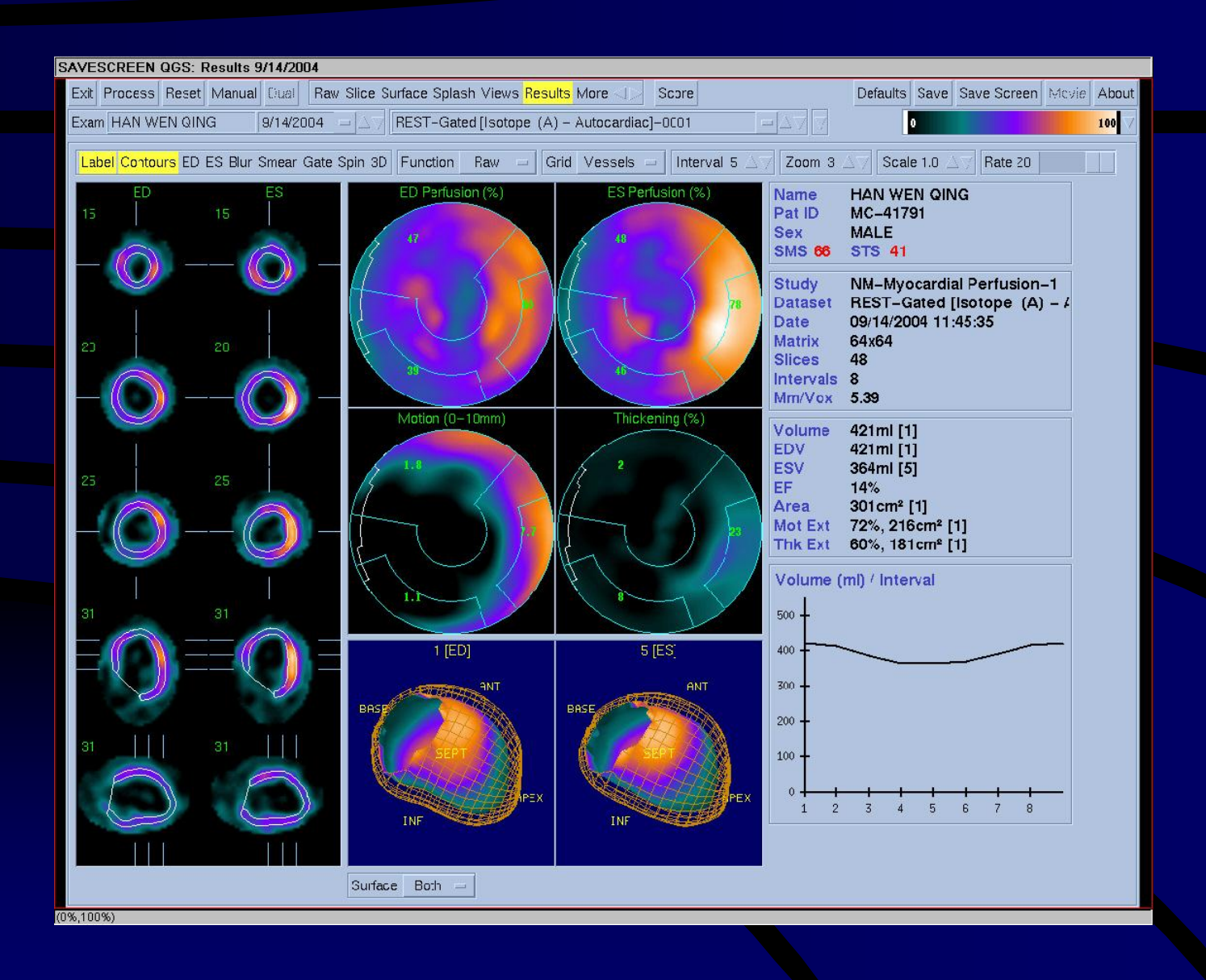


## 5、心电门控采集(Gated acquisition)



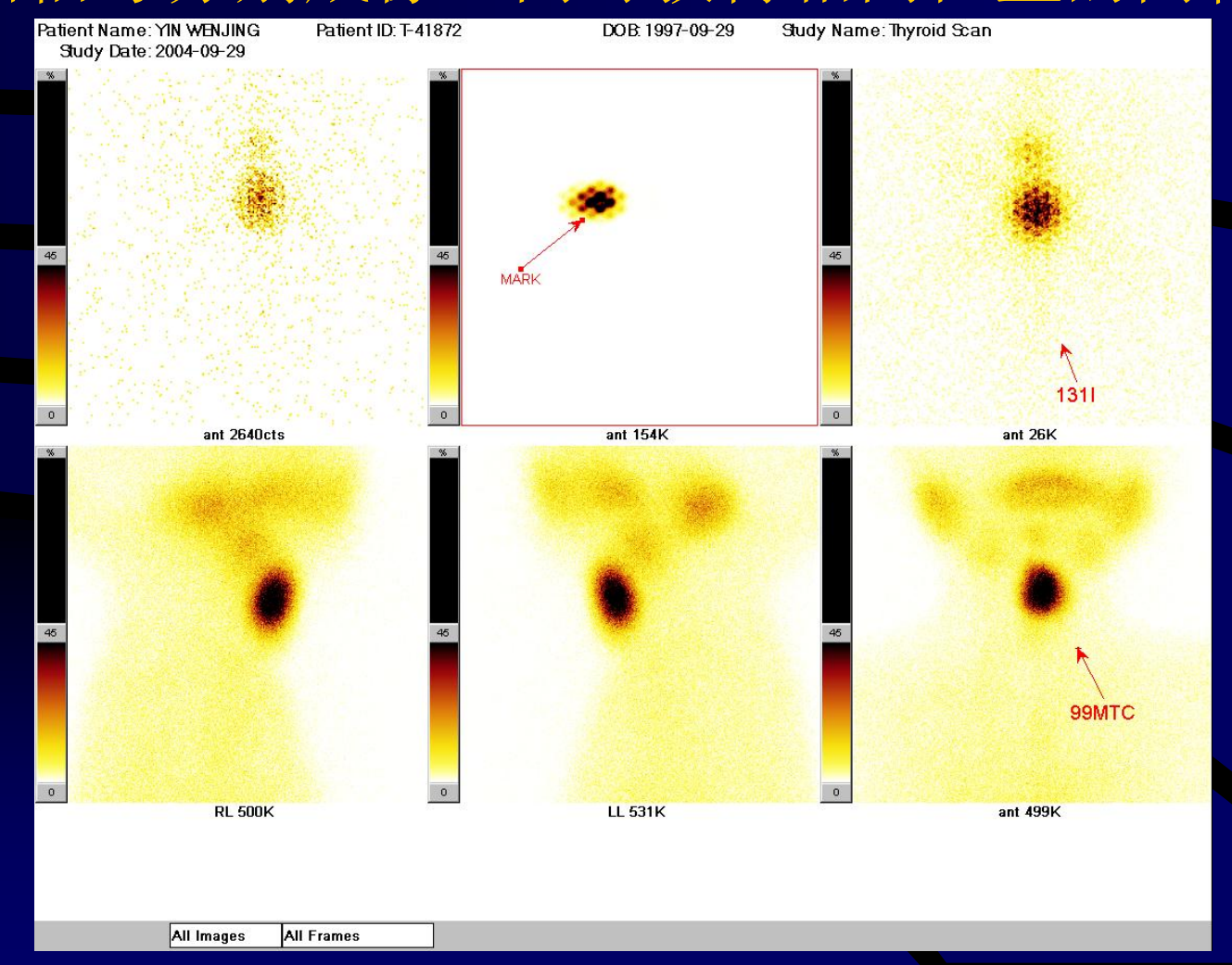


## 6、心肌门控断层采集



### 7、双核素采集

• 对两种能量的粒子,分别输出两种信号,SPECT机对 每路信号分别成像,同时获得相同位置的两幅图像。



### 四、SPECT机采集参数

- 1、选择核素种类、能峰及窗宽
- 131 | 364kev 20%
- 2、选择采集方式及合适的影像矩阵
  - Static 256X256 512X512
  - Dynamic 64X64 128X128
- Tomo 64X64 128X128
- Whole body 256X1024 512X2048
- 3、选择Byte或Word存储方式;
- 4、选择适当的放大因子 (ZOOM)
- 1.33 1.60 2.0 2.66 4.0 8.0

- 5、选择机架运动方式和基本数据
- a、直线轨道运动距离、探头0度、床高等
- b、断层运动 brain、 heart、 liver、 bone
- C、探头距中心径向运动探头尽可能贴近病人
- d、探头自身圆周运动直立位、坐位
- 6、采集停止时间
- a、总时间b、总计数
- c、总角度 d、总长度
- e、帧数f、帧计数
- g、手控停止h、紧急停止

## 采 集 矩 阵

- 1、矩阵(matrix): 计算机把探头的视野划分为由一定量的行与列所组成的方块状阵形, 称之为矩阵。矩阵中的一个小方块则称为一个像素(pixel)。每一个像素在计算机存储器中都有与之一一对应的存储单元, 以存放模拟点阵中每对经ADC转换后属于该像素的有效X、Y坐标值。
- 2、不同的采集方式需采用不同的矩阵64X64 128X128 Dynamic Tomo256X256 512X512 Static256X1024 512X2048 Whole body

# 放大因子(Z00M)

1、放大因子作用:在不改变矩阵大小的情况下提高数字分辨率。

数字分辨率是指在水平和垂直两个方向上单位长度内的像素数(或者用单位视野面积内包含的像素数来表示),单位peixl/cm(cm<sup>2</sup>)。

空间分辨率是指能清晰分辨出两个点源或线源之间的最小距离。

## 放大系数(ZOOM)

- 例:假如64×64矩阵又正好包括γ相机25cm的视野,ZOOM=1.0,数字分辨率为
- 64像素/25cm=2.6像素/cm。
- ZOOM = 2.0, 影像的X轴、Y轴都放大了2.0倍, 数字分辨率是2.0×64/25=5.2像素/cm。
- 如像素单位过大,每个像素内的放射性计数太少,导致影像粗糙模糊,虽然数字分辨率提高了,但空间分辨率反而下降了。

### Byte/Word存储方式

- Byte/Word这一参数决定了采集过程中每一个像素所能容纳的最大计数。
- · Byte表示每个像素有8Bit的存储单元能存储采集的γ 计数值,所能容纳的最大计数值为28-1=255。
- · Word表示每个像素有16Bit的存储空间来储存数据, 所能容纳的最大计数值为2<sup>16</sup>-1=65535。
- · Word影像所用的存储空间比Byte存储方式大一倍。 静态采集时,矩阵选用较大,每个像素值一般不会超过255,而动态采集时,选用的矩阵较小,可能会出现计数溢出,所以应选用Word存储方式。

# 五、影响采集质量的因素

### 影响图象质量因素

#### 空间分辨率

- 准直器(主要因素)
- 探测器(已接近理论最佳分辨力)
- 算法

#### 伪影

- 旋转式SPECT的不均匀在反投影重建产生环形伪影;
- 滤波反投影图像重建过程中,投影平片中的噪声和缺陷会被放大;
- 光电倍增管要严密屏蔽,不然有明显条形伪影。

探头性能的影响

- ❖ 能量分辨
- ❖ 线形
- ❖ 均匀性
- ❖ 灵敏度
- ❖ 空间分辨率

准直器性能的影响

❖ 能量响应

\* 系统分辨

❖ 灵敏度

患者本身的影响

❖ 散射(校正:偏置、双窗、成分)

❖ 衰减(校正:近似、精确)

## 采集参数的影响

- ◆ 矩阵大小(像素大小≤0.5FWHM)
- ❖ Zoom (占全视野75~85%)
- ❖ 信息(越大越好)
- ❖ 时间(越短越好)
- ❖ 药量(越少越好)

### 扫描采集的影响因素

- 探头距离(人体轮廓采集)
- 扫描速度(信息密度)
- 患者准备(饮水、排尿)
- 对位(保证图像完整)

# SPECT处理技术 image process

一、改进ECT影像质量

### 改进ECT影像质量方法

- 1、对比度:调整影像的亮度与计数之间的关系。
- 2、定域值:
  - 下限阈值:把低于某一选择值以下的所有像素计数都作为零计数来定为一帧影像的阈值。
  - 影像的定窗:定圆值时设置上限和下限两个圆值,使在这两个圆值以外的像素都置为零,这称为影像的定窗。
- 3、扣本底:是假设影像中任意区域的本底均为常数,因此可将此数值从影像的每个像素中减去。
- 4、消除噪声:九点加权平滑、时间平滑和中值滤波。
- 5、对数字处理。

## 消除噪声

❖目的:减小放射性计数的统计涨落,

注意:平均过程造成分辨率的损失;边界变得模糊;故当决定对影像进行平滑时要考虑:

第一,仅仅是以改善视觉为目的;

第二,仅在计数波动成为影响视觉感觉的主要因素时才用其法进行平滑。

## 消除噪声技术

1、9点加权平滑:是用原始图像的每一个像素及 其周围的8个像素,分别乘以不同的权重,然 后相加得到新图像相应像素的值。

权重矩阵

1/16 1/8 1/16

图A x 1/8 1/4 1/8 = 图B

1/16 1/8 1/16

这样是对一定范围内像素的值进行平均。

- 2、中值滤波: 它是取出每个像素及其相邻像素, 将它们的计数值从小到大排列,取中间值作为 滤波后的图像对应像素的值。
- 3、时间平滑:是在相邻的帧之间作加权平滑,只用于动态图像。

# 二、平面图像的处理

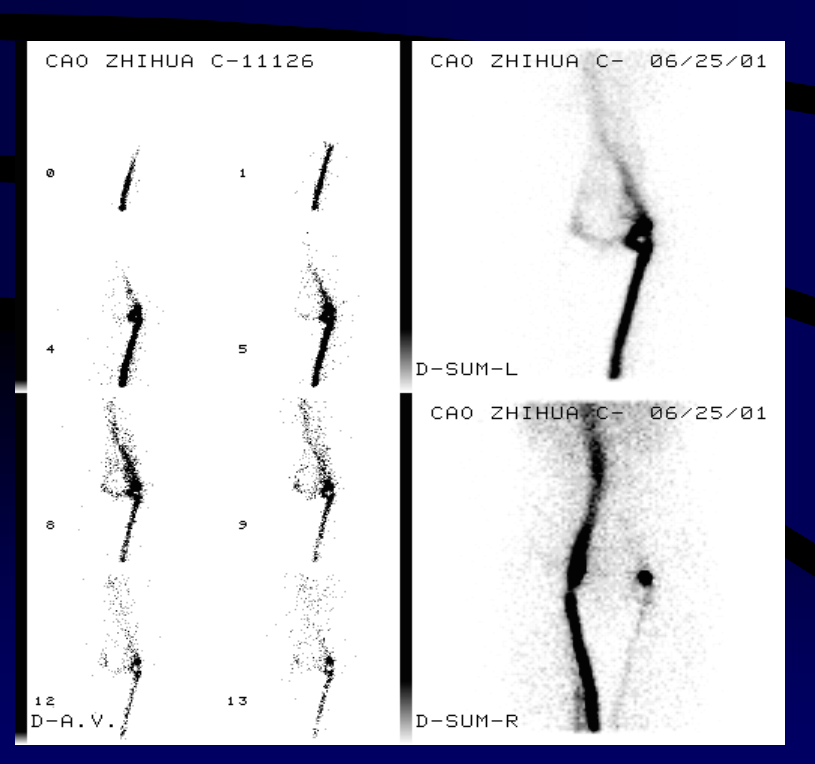
# 1、静态图像处理

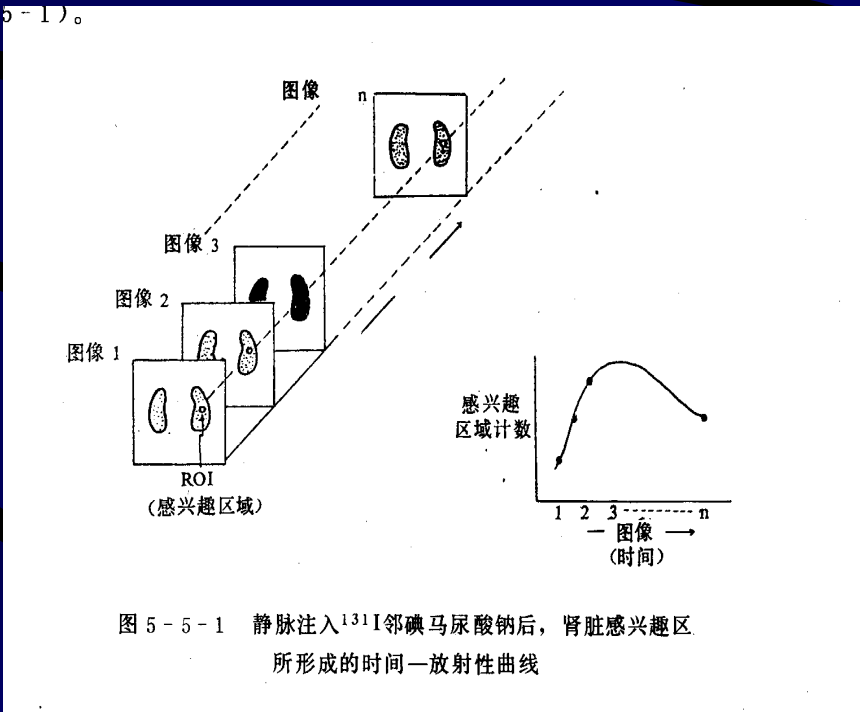
- 放大与缩小
- 相加及相减
- 改变图像角度
- 定量分析

## 2、动态显像处理

a、叠加

#### b、定量分析 (ROI、TAC)



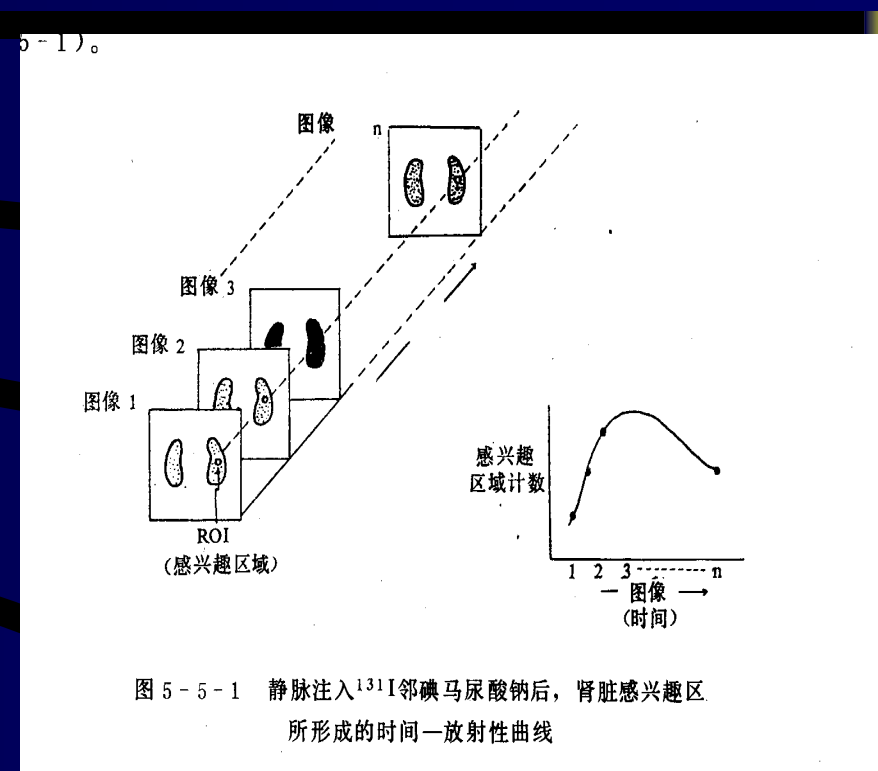


## 定量分析

(1) 感兴趣区 (ROI):

在分析图像时,常需对某一区域 进行统计和计算,这个区域就 称为感兴趣区(ROI).

(2) 时间-活性曲线 (TAC): 把放射性计数为纵坐标,把采 集开始后的时间为横坐标,每帧 动态图像的时间和感兴趣区内的 计数可以在坐标内画出一个点, N帧图像就有N个点,把这些点平 滑地连接起来,成为一条曲线。

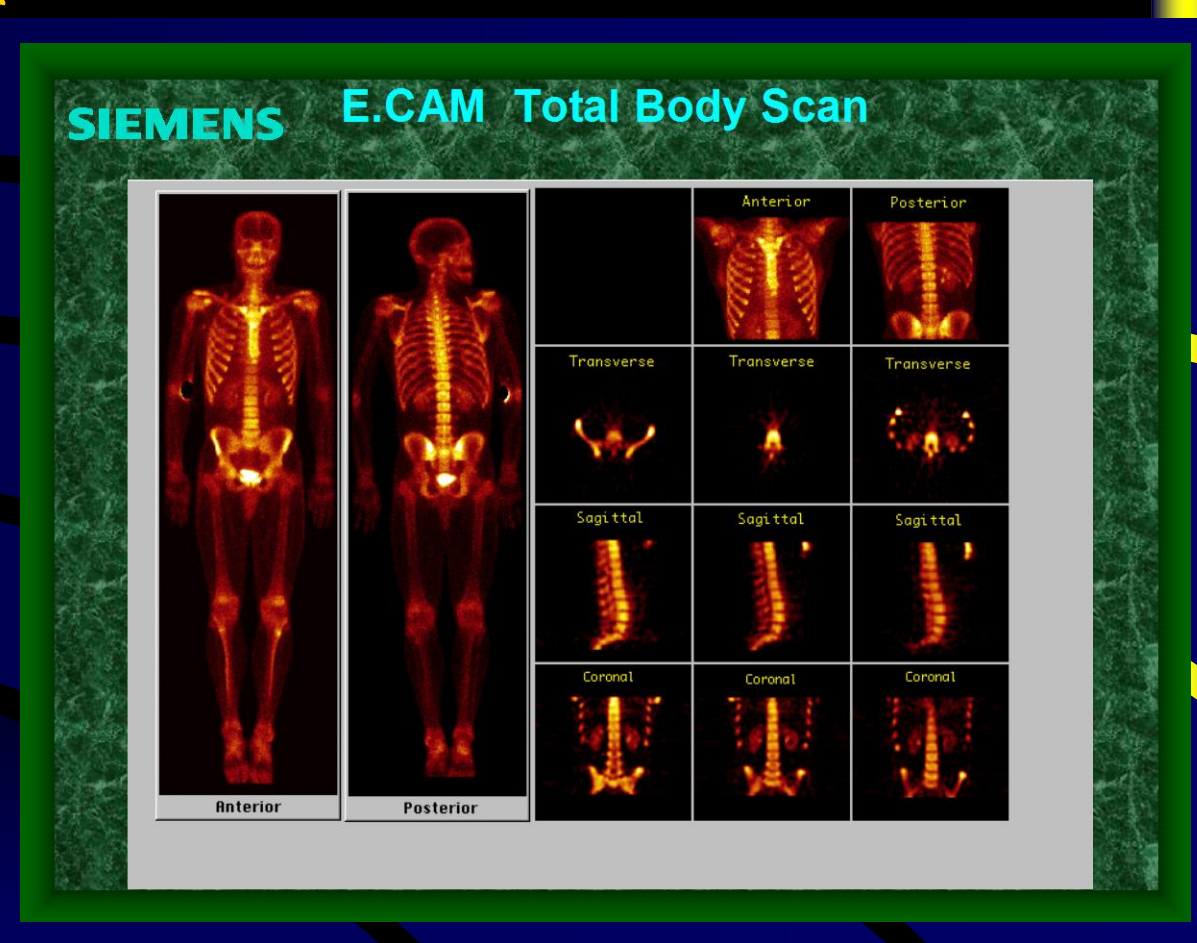


### 3、全身显像处理

- a、选择处理软件
- b、调整亮度
- C、扣除注射点

及膀胱

d、局部放大



### 4、心电门控处理

a、选择处理软件

b、划EDV、ESV

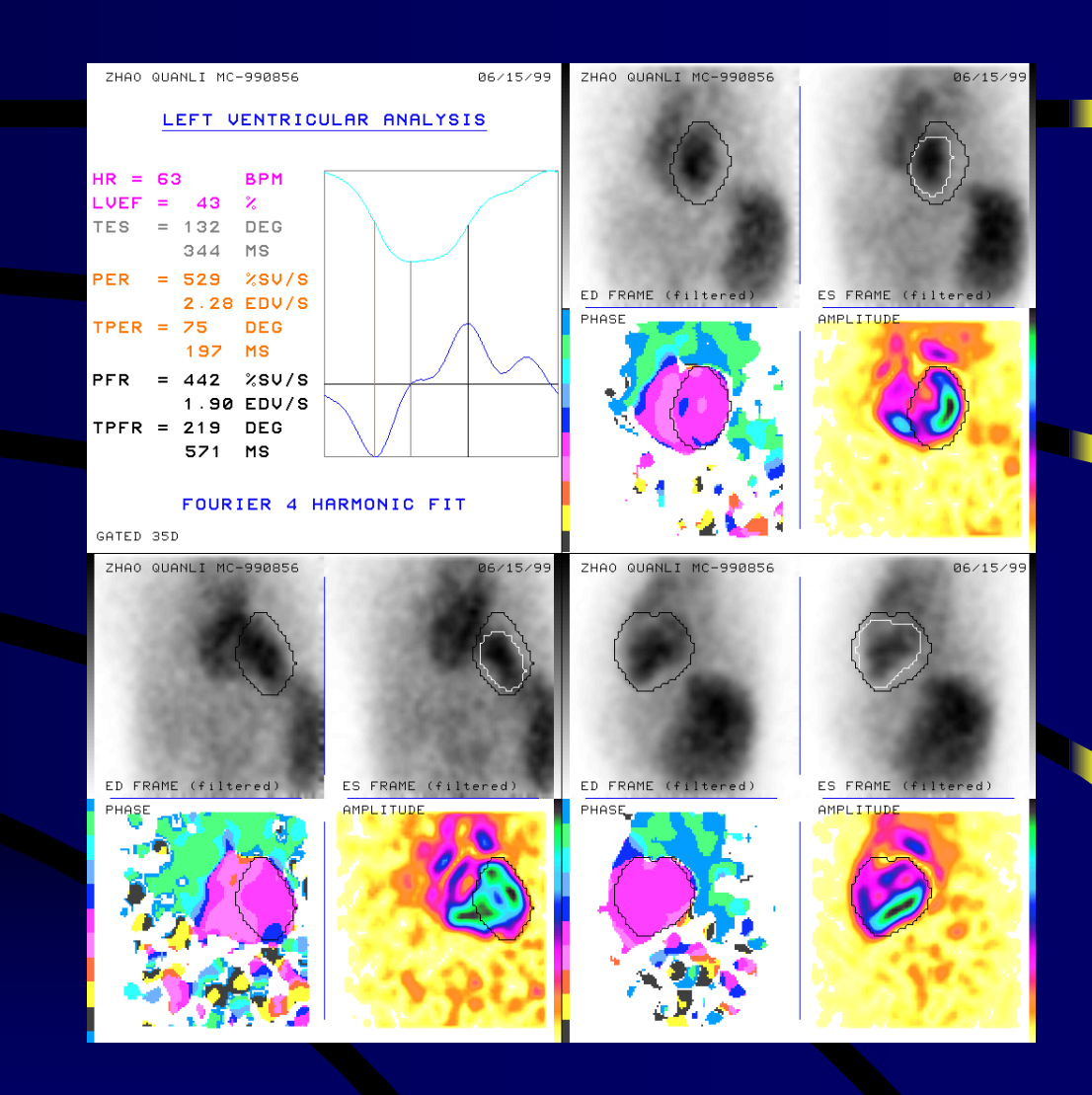
进行ROI分析

C、计算心室容积曲线、

LV EF、振幅图、

肘相图,

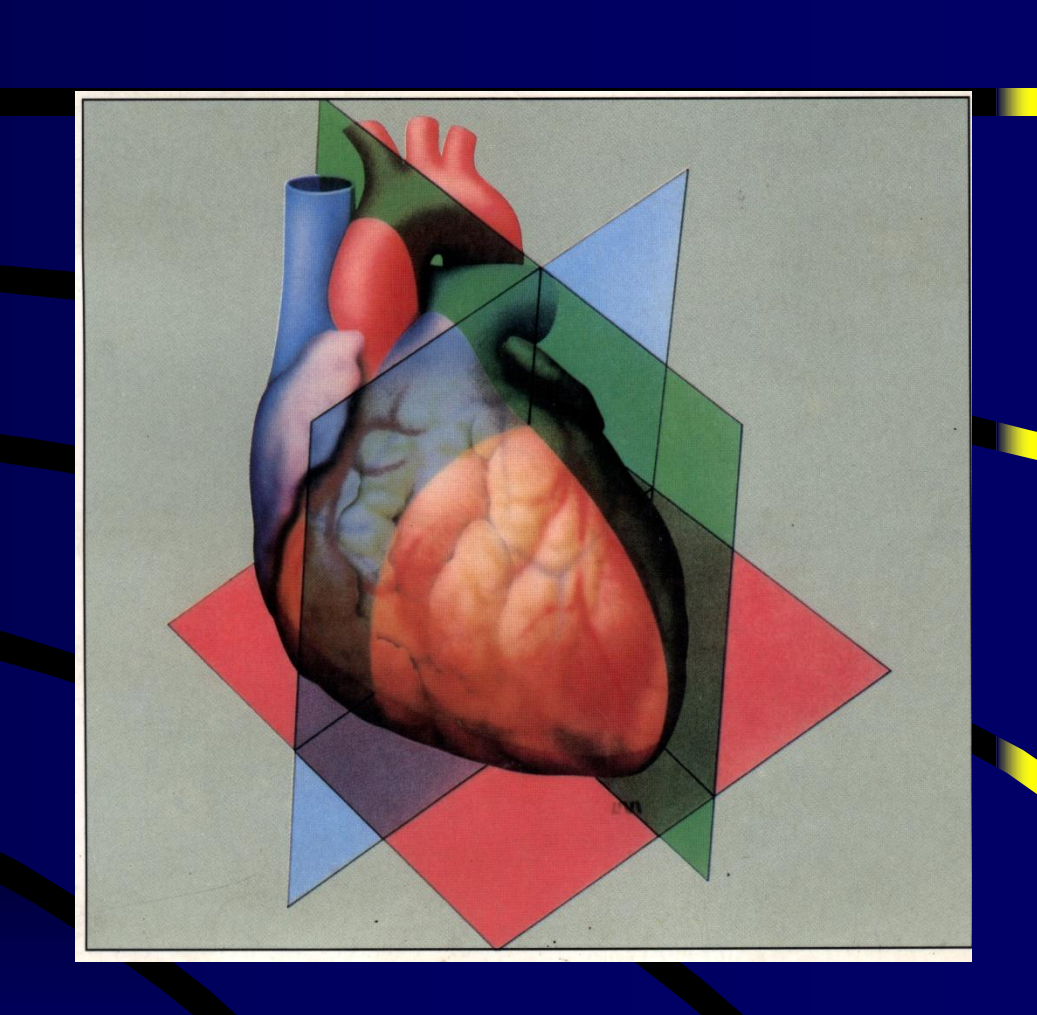
肘相直方图



# 三、断层图像处理

### (一)新层处理

- a、选择处理软件
- b、确定断层重建的范围
- C、选择滤波器
- d、三位断层重建
- e、衰减校正
- f、图像放大及调整角度
- g、储存断层图像
- h、三维立体图



### (二) 断层重建技术

#### • 影像重建:

已知物体在不同方向的投影值,求物体内各点的分布值。

在SPECT中,已知每个角度上的投影值,求断层面内各点的放射性分布值。

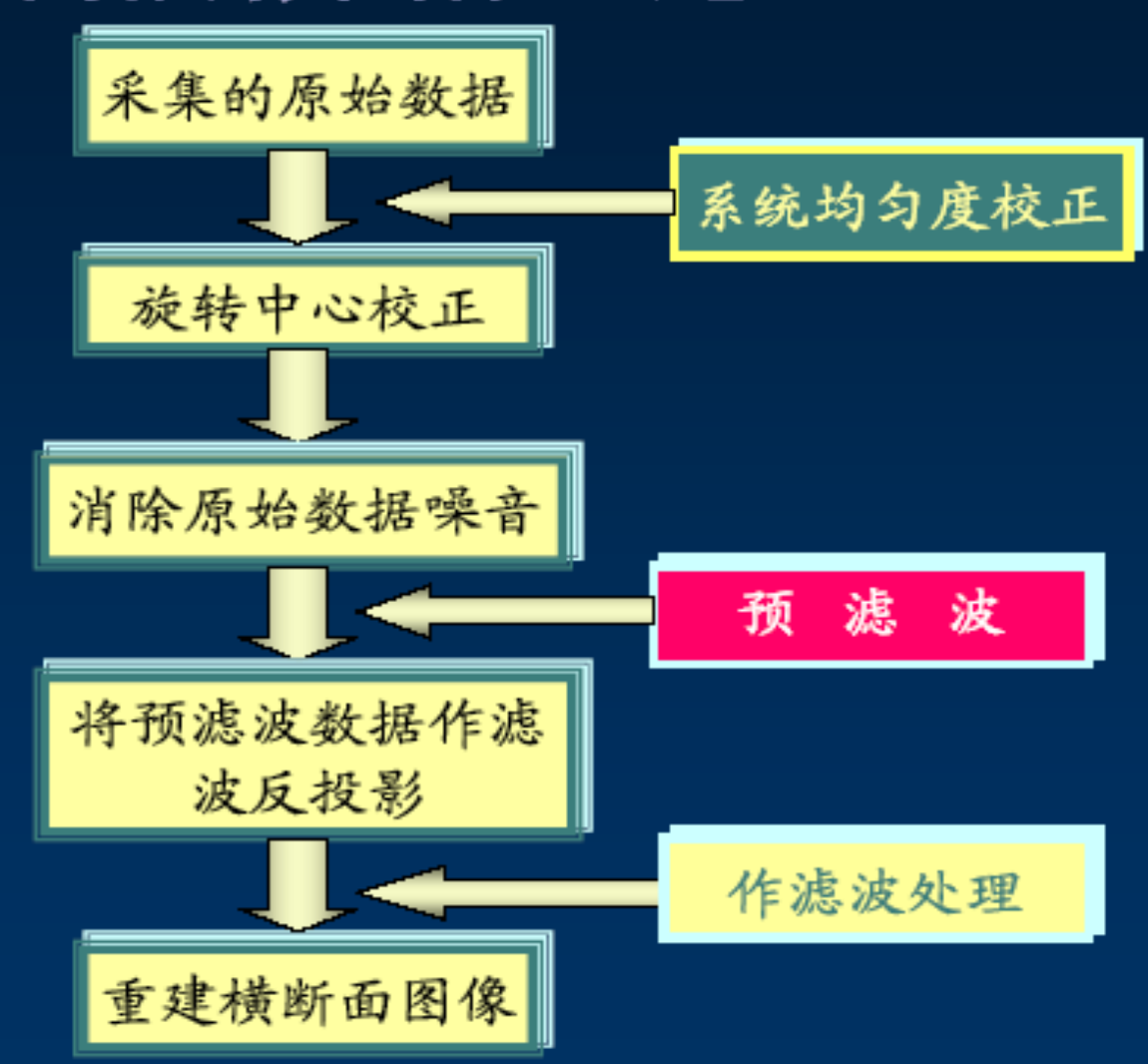
反向投影法 (FBP)

(filtered back-projection)

迭代重建法 (OS-EM)

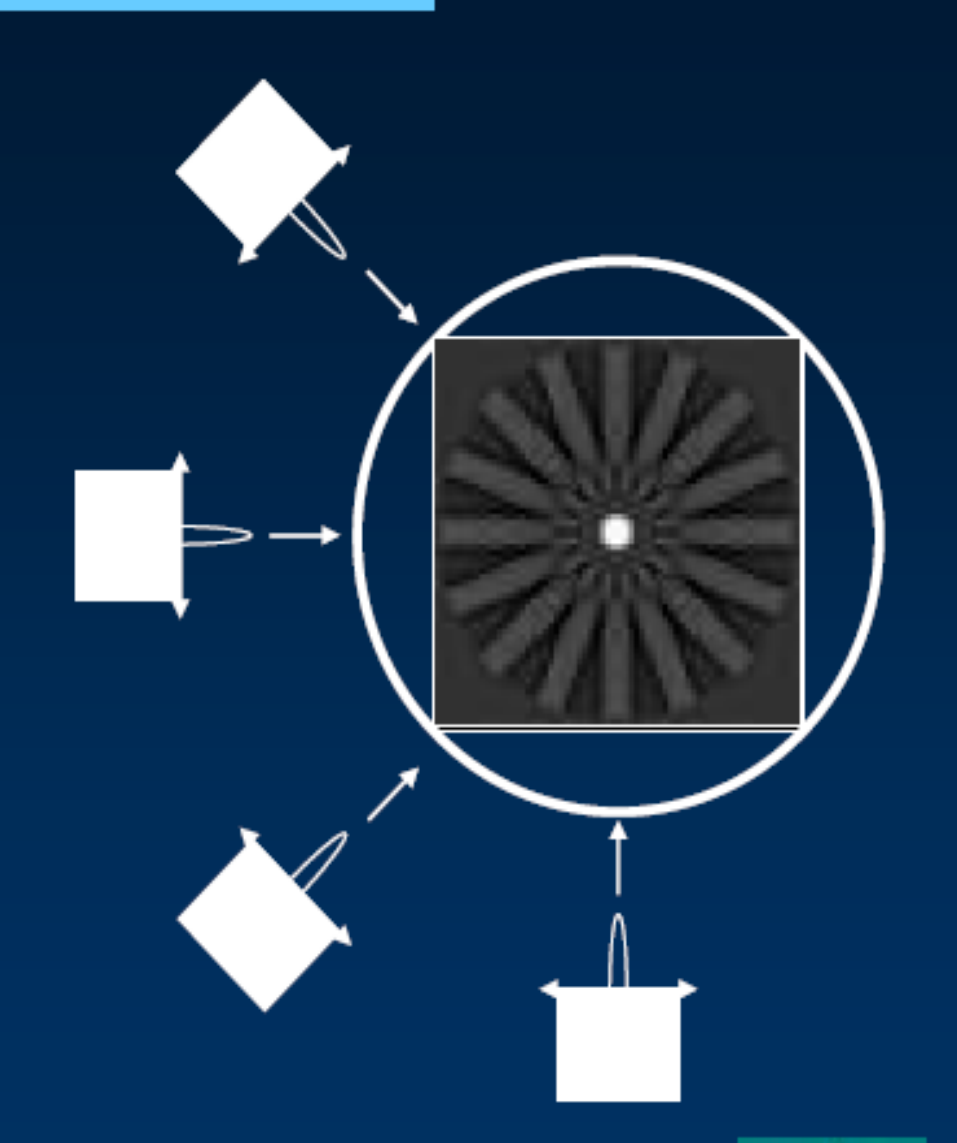
序列子集最大期望值法 ( ordered subsets expectation max. )

### 滤波反向投影图像重建



#### 反向投影重建

- ■按照投影方向把投 影数据反向投往发 射方向。
- ■其结果得到带有星 状伪影的图像。

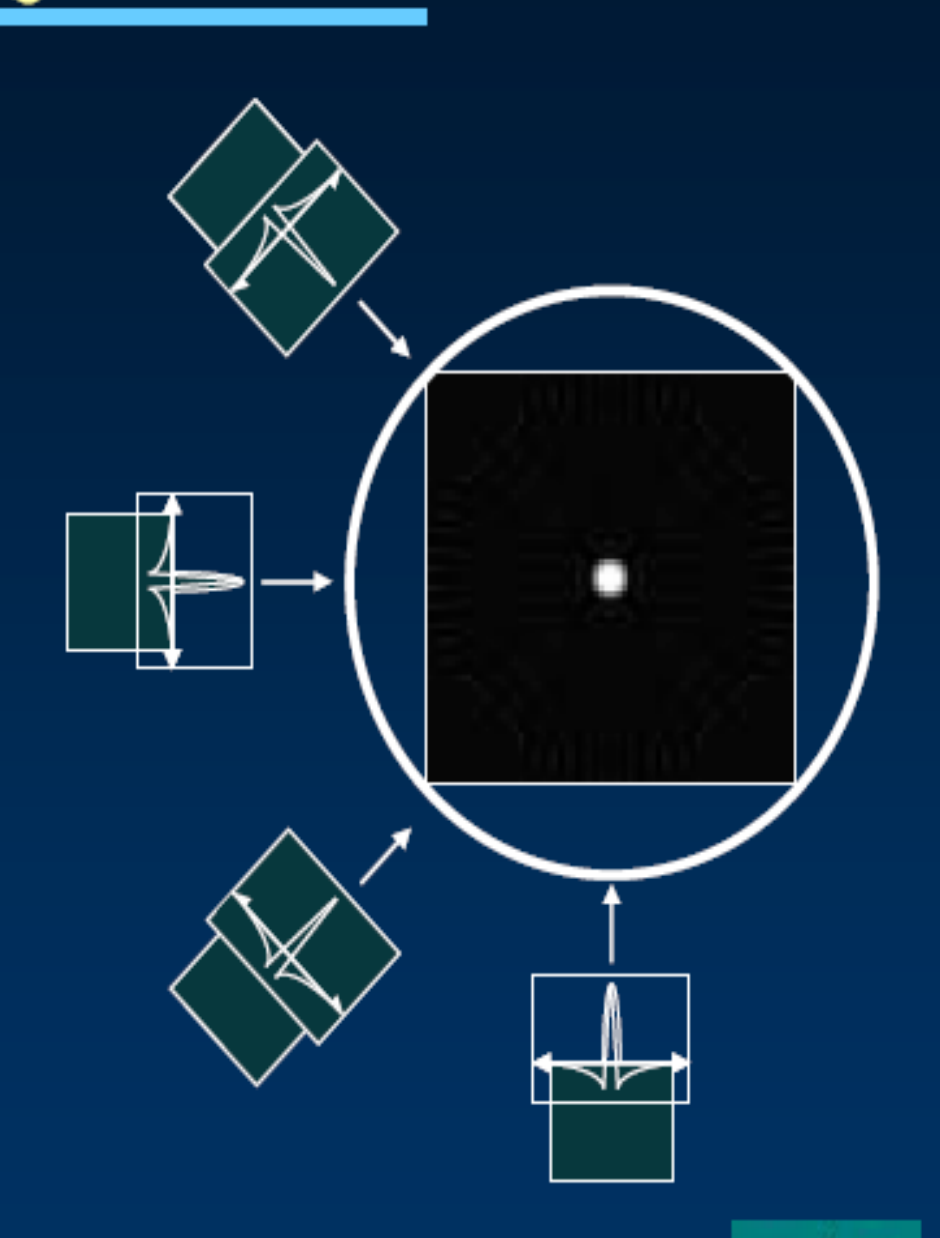




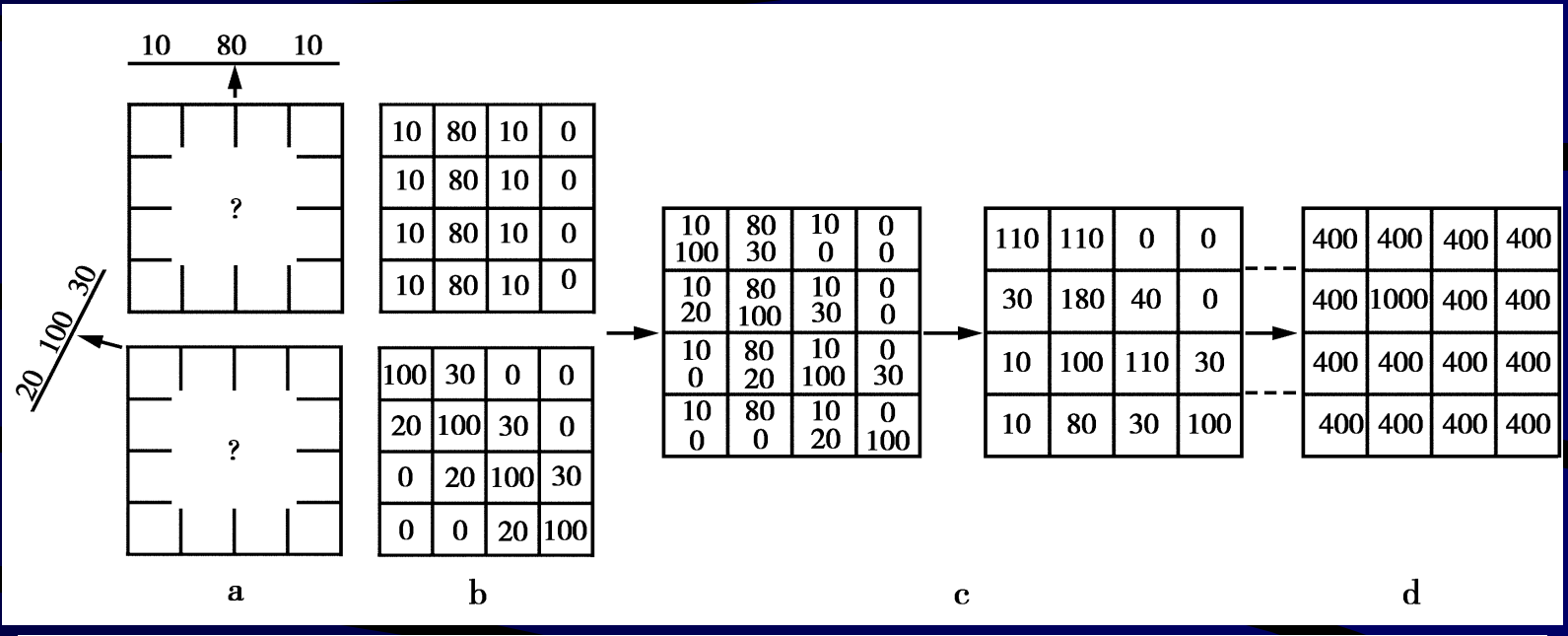
#### 滤波反向投影重建

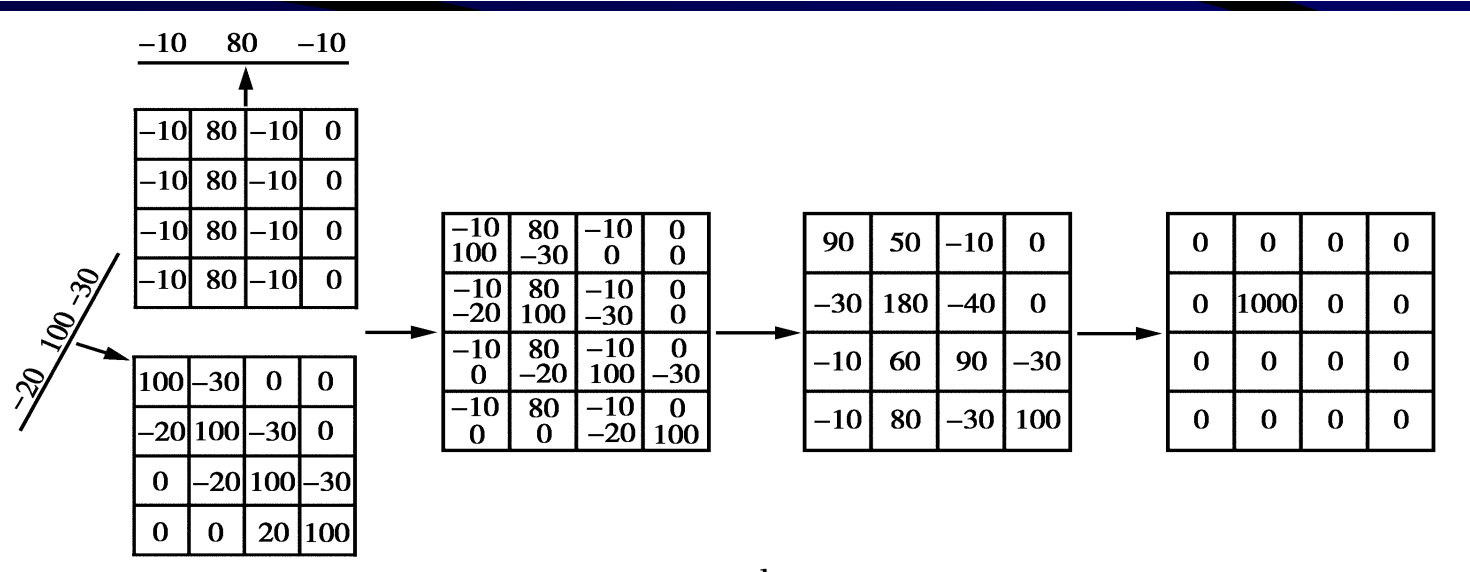
用滤波函数把反向投影图像的星状伪影去除。

其结果得到较精确的重建。



### 滤波反投影法示意图





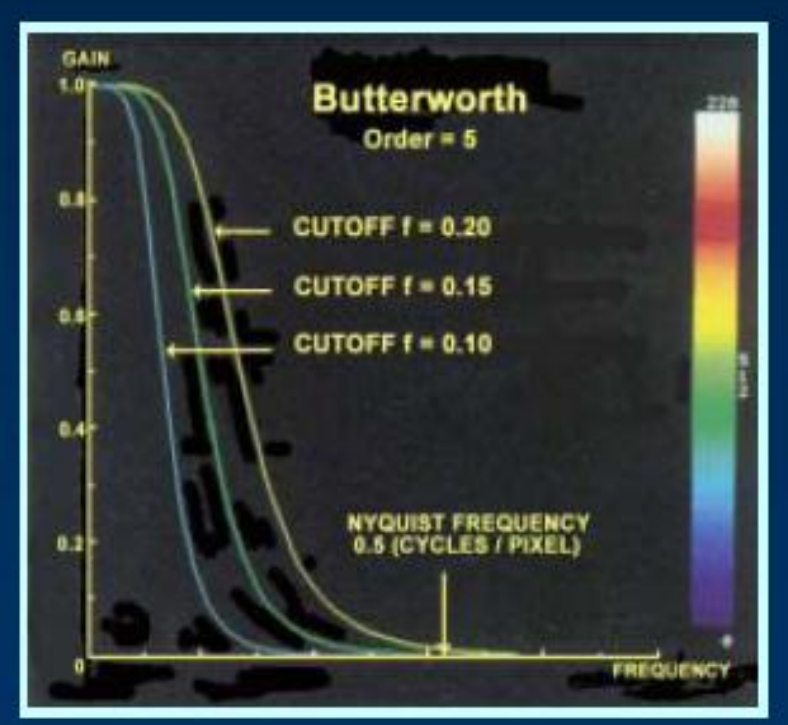
a

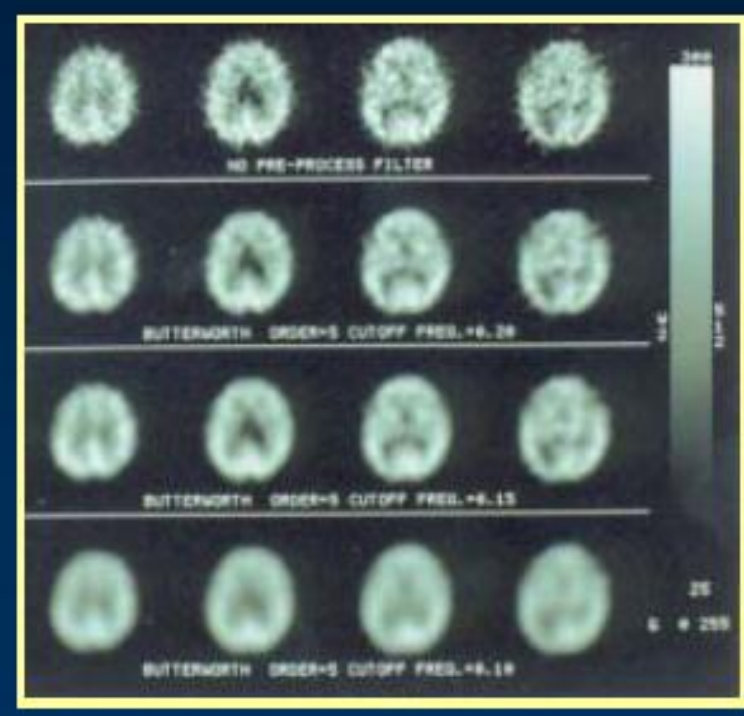
b

 $\mathbf{c}$ 

### 断层重建的滤波

- ●选择合适的滤波函数
- ●确定合适的滤波参数
- •注意滤波参数的单位





无滤波

f = 0.20

f = 0.15

f = 0.10



### 加法因子选代法

- > 送代法可以加入各种误差校正因子, 重建精度高, 但运算量大, 重建速度慢。
- 》送代法是通过不断地修正,使估计值一步步逼近真实的断层图像。一般说来, 迭代次数越多,图像质量越好,重建耗 財越多。

#### 迭代重建

- \* 以收敛为基本特征的算法
- \* 以原始投影数据为依据
- \* 多次迭代逼近
- \* 达到预定精度



#### 断层图像重建 "真实图像" 15 5 10 投影数据 (无噪声) 20 35 15 OS-EM 迭代重建 20 25 25 30 初始估计图像 第二子序 第一子序 10 10 15.00 25.00 0.6 10.00 0.60 9.00 6.00 10 10 10.00 15.00 25.00 21.00 1.4 1.40 14.00 20 20 27 1.00 1.50 23 1.50 1.09 1.00 0.9 5.56 9.78 第三子序 迭代1结束 15.22 19.44 1.09 0.93 58

OS-EM迭代』	巨	建
----------	---	---

"True Image"						
5	10					
15	20					

Iteration 0		Iteration 1			Iteration 2			Iteration 4			Iteration 6		
10	10	5.56	9.78		5.13	9.94		5.01	10.00		5.00	10.00	
10	10	15.22	19.44		15.06	19.87		15.00	19.99		15.00	20.00	

OS-EM的收敛:收敛的速度取决每迭代子集的数目

#### 断层图像重建方法的比较

重建方法	代数法	反投影法	迭代法
算法	代数运算	滤波、反投影	迭代运算
优、缺点	精确度一般	精确度差 计算速度快	精确度高 计算复杂

(三) 如何提高断层图像的质量?

# 校正技术

### 提高断层图像质量的几点对策

- 系统均匀性校正
- ●断层旋转中心校正
- ●衰减和散射校正
- ●合理的采集条件选取
- ●滤波函数和滤波参数选取

### 1. 断层图像的采集

- 采集过程中探头旋转中心不变
- 探头在旋转过程中性能无变化



● 采集过程中病人处于相对静止状态

病人体内放射示踪剂处于相对稳定状态。



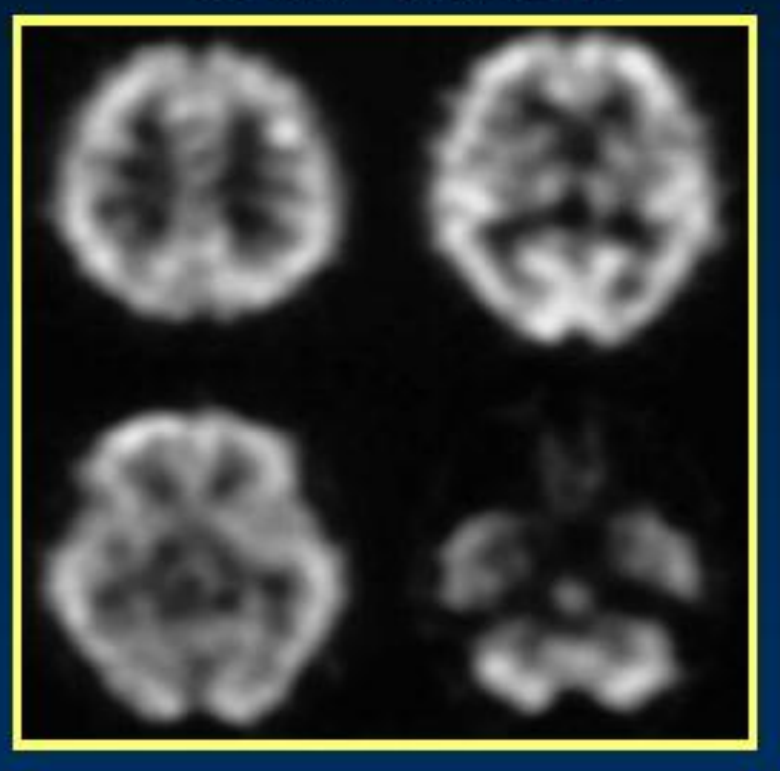
### 2.影响ECT图象采集因素

- 患者本身的影响
- ❖ 衰减
- 散射
- \* 位移
- 探头的影响
- ❖ 探头的均匀性
- \* 准直器的选择
- \* 旋转半径的影响
- ❖ 旋转中心的漂移

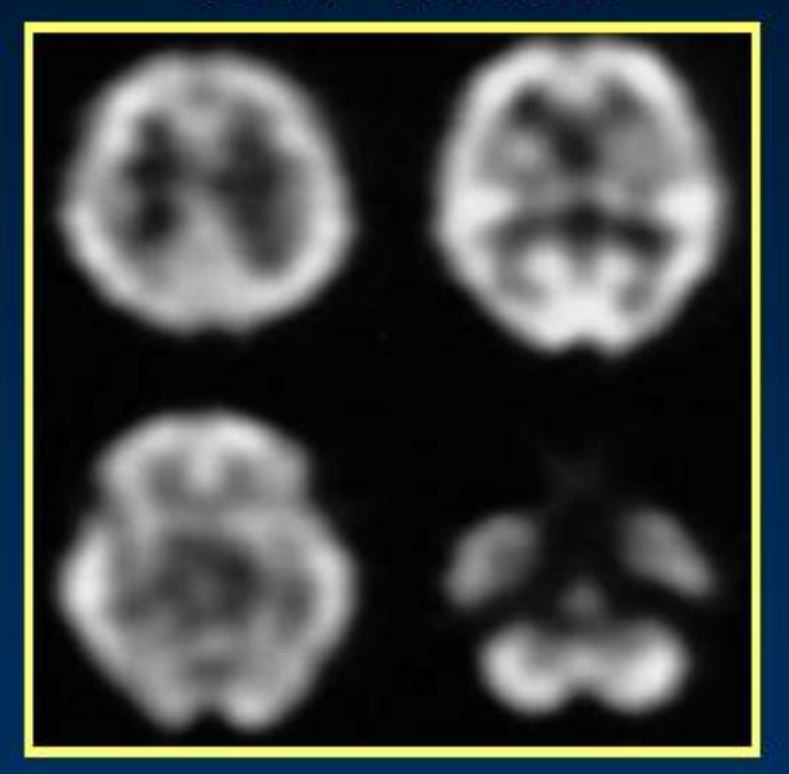
### 3. 断层采集需注意的要点

- 能窗的设置(散射校正)
- 采集矩阵的确定(影响分辨率)
- 探头旋转的步长(影响分辨率)
- 探头旋转的方式(步进和连续)
- 每帧采集的时间(总采集时间不宜过长)

COR=13.5cm



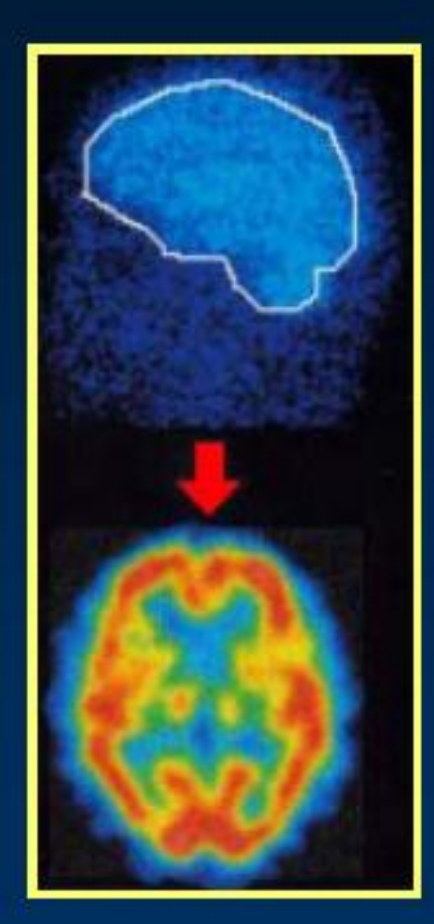
COR=18.0cm

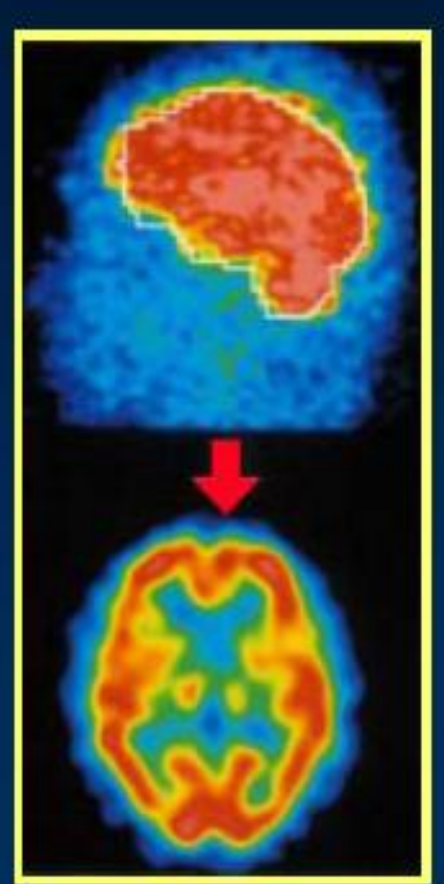


- ●尽可能减小旋转半径以提高断层分辨率
- ●用人体轮廓的方法可最大限度贴近人体



128x128矩阵 总计数 = 360k C/pix = 22





64 x 64矩阵 总计数 = 360k C/pix = 88

●不影响断层分辨率的前提下选用小矩阵



(四)例:

# 脑血流断层显像

#### 4. 脑断层采集条件选择

● 选择依据

❖ 核素活性剂量: 20 mCi

※ 采集时间: < 30分</p>

❖ 系统分辨率: 低能高分辨 ~10mm

扇型准直器 ~ 8mm

❖ 头颅半径: 8 cm

#### 4. 脑断层采集条件选择

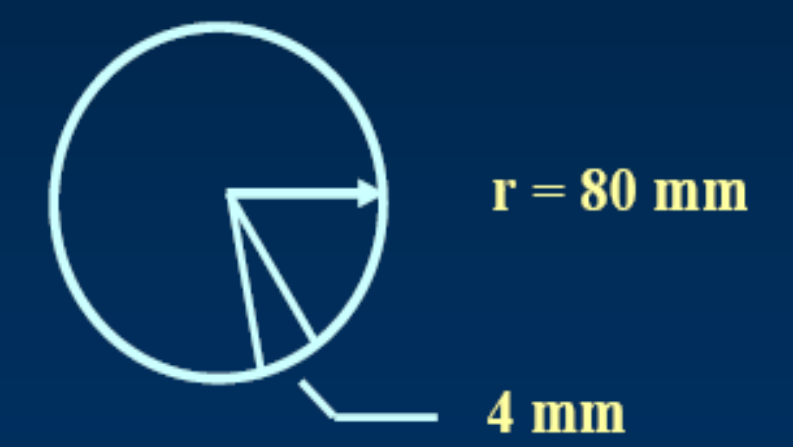
- 采集矩阵的选择
- ❖ 矩阵大小:并非越大越好。相同计数时,矩阵越大统计噪声越大。
- ❖ 矩阵大小的确定:
- ▶ 最佳系统分辨 = 8 mm (FWHM)
- ▶ 最佳图像分辨 = FWHM/2 = 4 mm
- ▶ 象素大小 < 4 mm</p>
- ▶ UFOV = 500 mm, Zoom = 2 (扇形 Zoom=1)
- ▶ 矩阵大小 = 500 mm/4 mm/2 = 63

选用 64 x 64 矩阵不会降低断层分辨



#### 4. 脑断层采集条件选择

- 采集帧数(或步长)的选择
- ※ 采集帧数并非越多越好。采集帧数越多,非计数时间越长。
- \* 采集帧数的计算:
- ▶ 头颅半径: r = 80 mm 头颅周长: s = 480 mm
- ▶ 图像分辨: Rs = 4 mm
- ➤ 采集帧数: n =s/Rs=120



#### <u>120帧采集能保证4mm图像分辨率</u>



#### 4. 脑断层采集条件选择

- 采集方式
- ❖ 分步采集的图像重建质量优于连续采集
- ❖ 分步采集的非计数时间比连续采集长
- ▶ 30分钟120帧分步采集非计数时间约5分钟
- 30分钟120帧连续采集非计数时间约2分钟
- ▶ 120帧连续采集对图像重建质量的影响很小 采用120帧连续采集
- 小于120帧时不宜采用连续采集。



### 4. 脑断层采集条件选择

- 核素剂量 = 20 mCi
- 使用低能高分辨或扇形准直器
- 采集时间 = 30 分, 采集帧数 = 120
- 采集矩阵 = 64, 旋转半径 = 12~13 cm
- 连续采集



# SPECT显示技术 Image display

#### (一)影像显示与调节技术

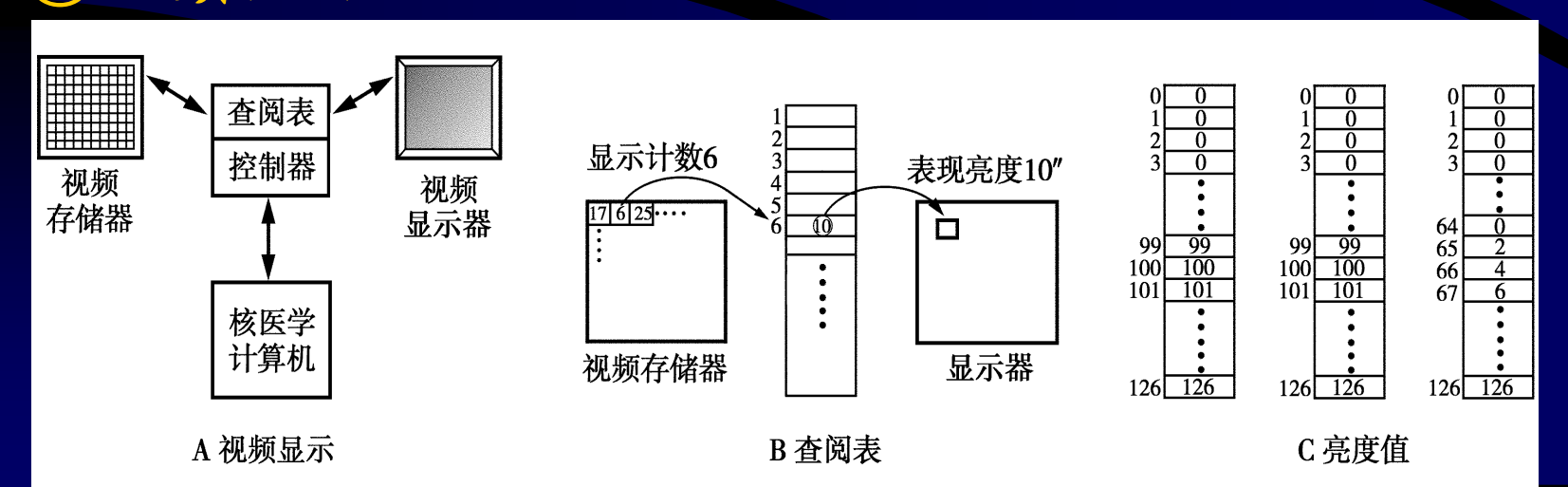
- > 计算机显示器组成:
- ①视频存储器 (存储数字化信息)
- ②视频处理器(控制影像显示)

将影像矩阵中的数字值转化为显示器上各种不同亮度。

它是通过数字-亮度转化表(灰阶表)来实现。

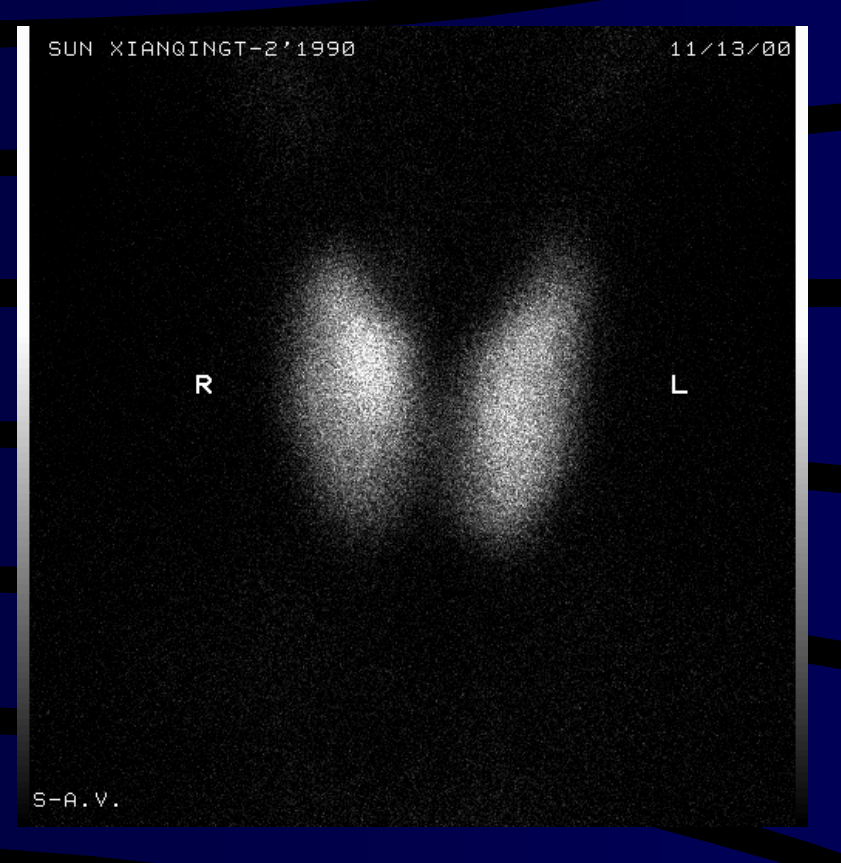
彩色显示通过红、绿、蓝色3种主颜色对应3个转化表来实现。

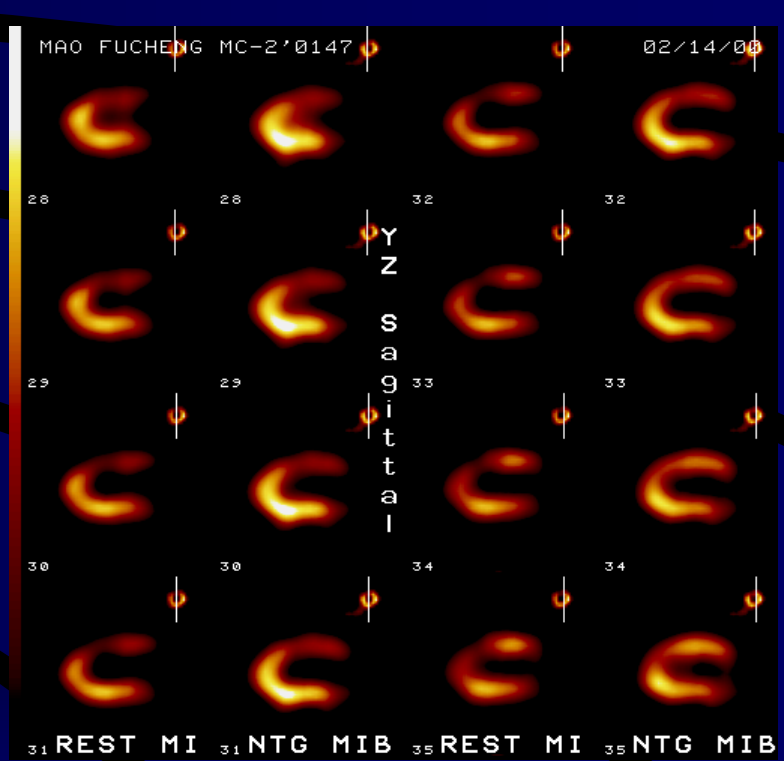
#### ③视频显示器



### (二) 数字化图像的显示

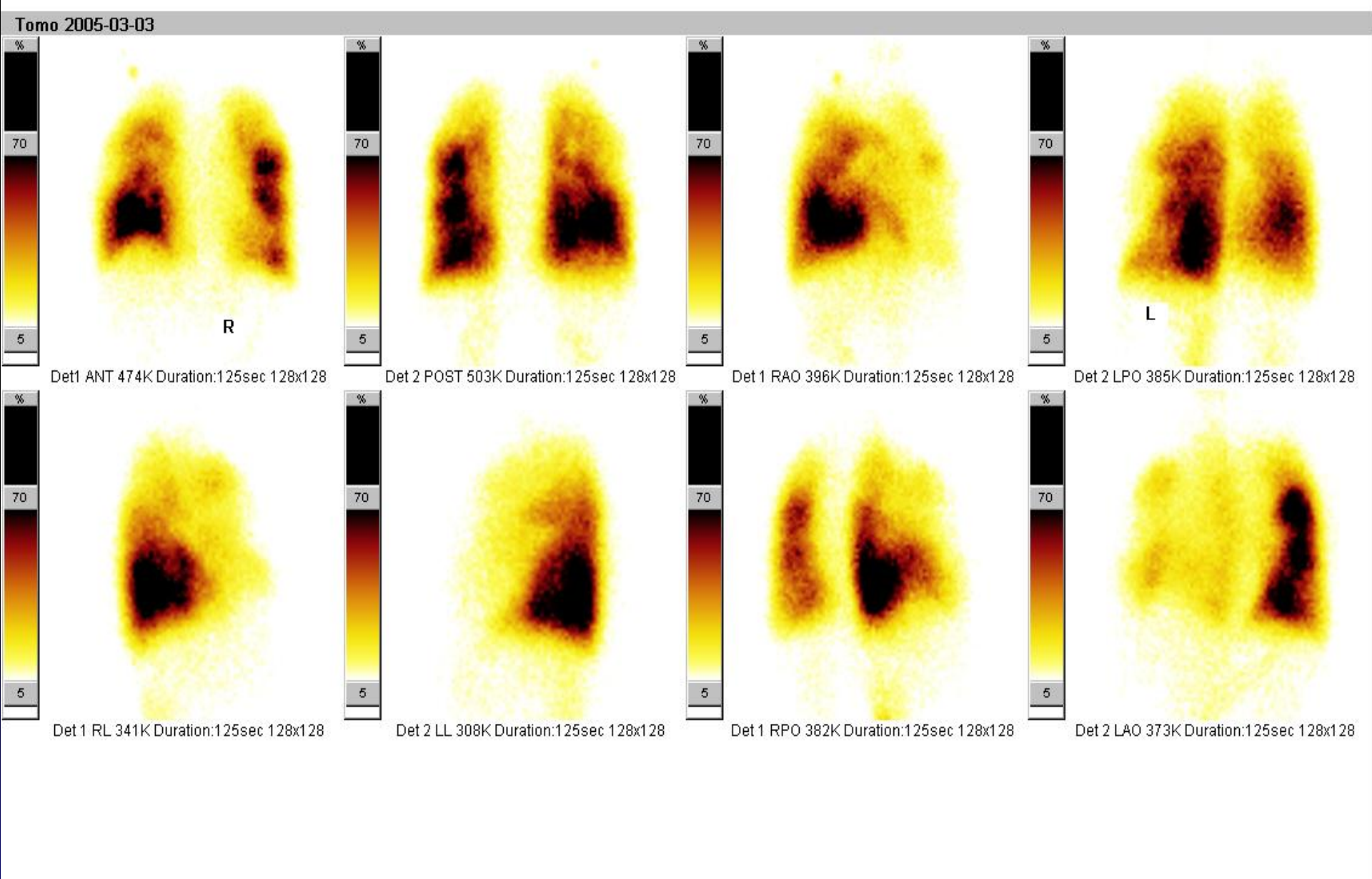
- ❖灰度编码:数字图像记录的是一系列像素的计数值, 要将它显示出来必须把计数值转换成灰度, 将0-255的计数值转换为从台到黑的灰阶。
- ◇ 份彩色编码常用不同的颜色表示像素的不同计数值,更好的反映放射性药物含量的差别。
- **伪彩色:**影像医学这种色彩是人为赋予的,不是脏器的真实颜色,故称为伪彩色。
- 1、彩虹 (rainbow) 编码:是以黑-青-蓝-绿-黄-红-白的连续颜色变化对应 从0-255的计数。
- 2、热金属(hot metal)编码;是一种模仿金属逐渐烧热发光时染色变化的编码(黑-蓝-红-黄-白)。

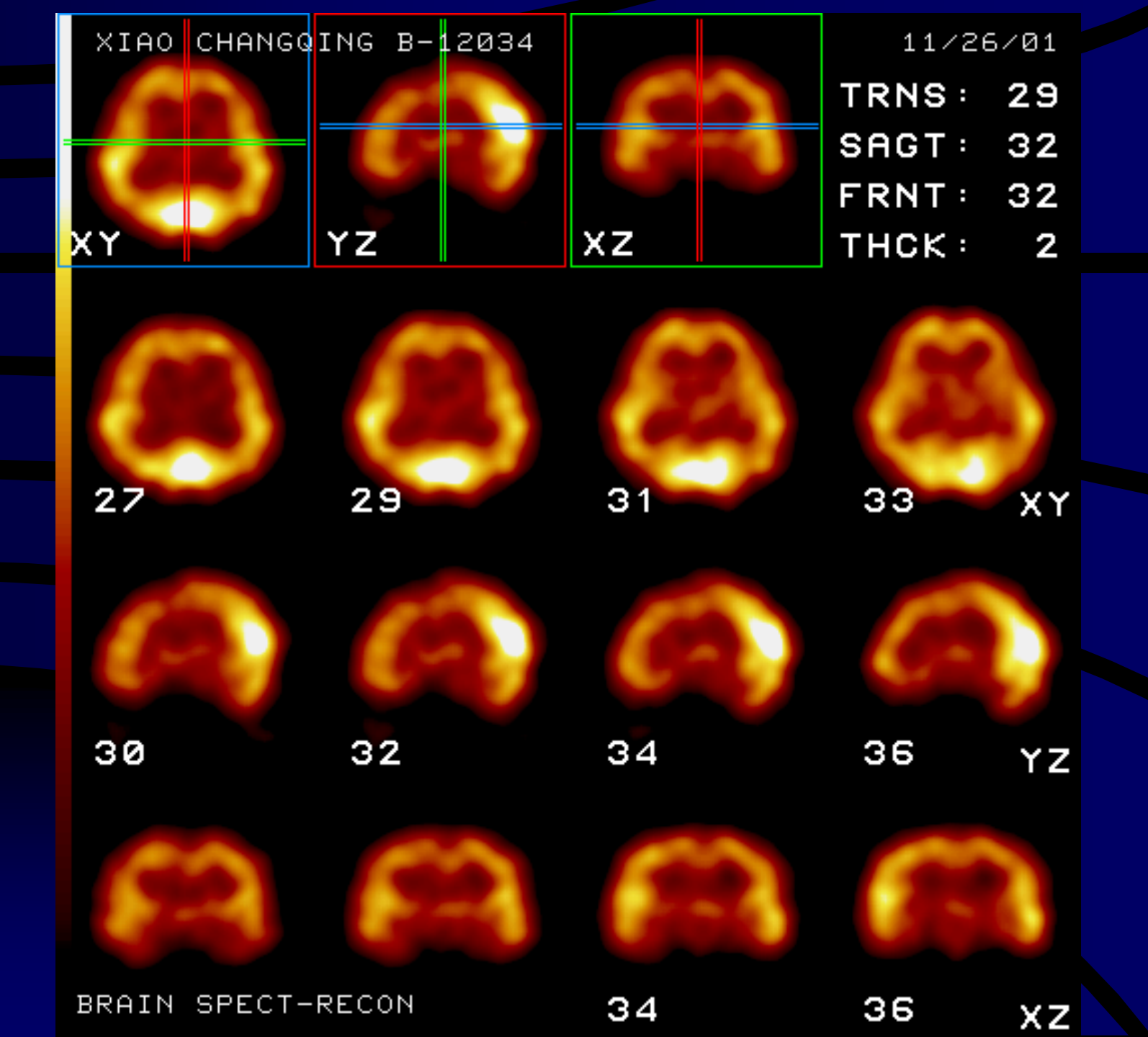


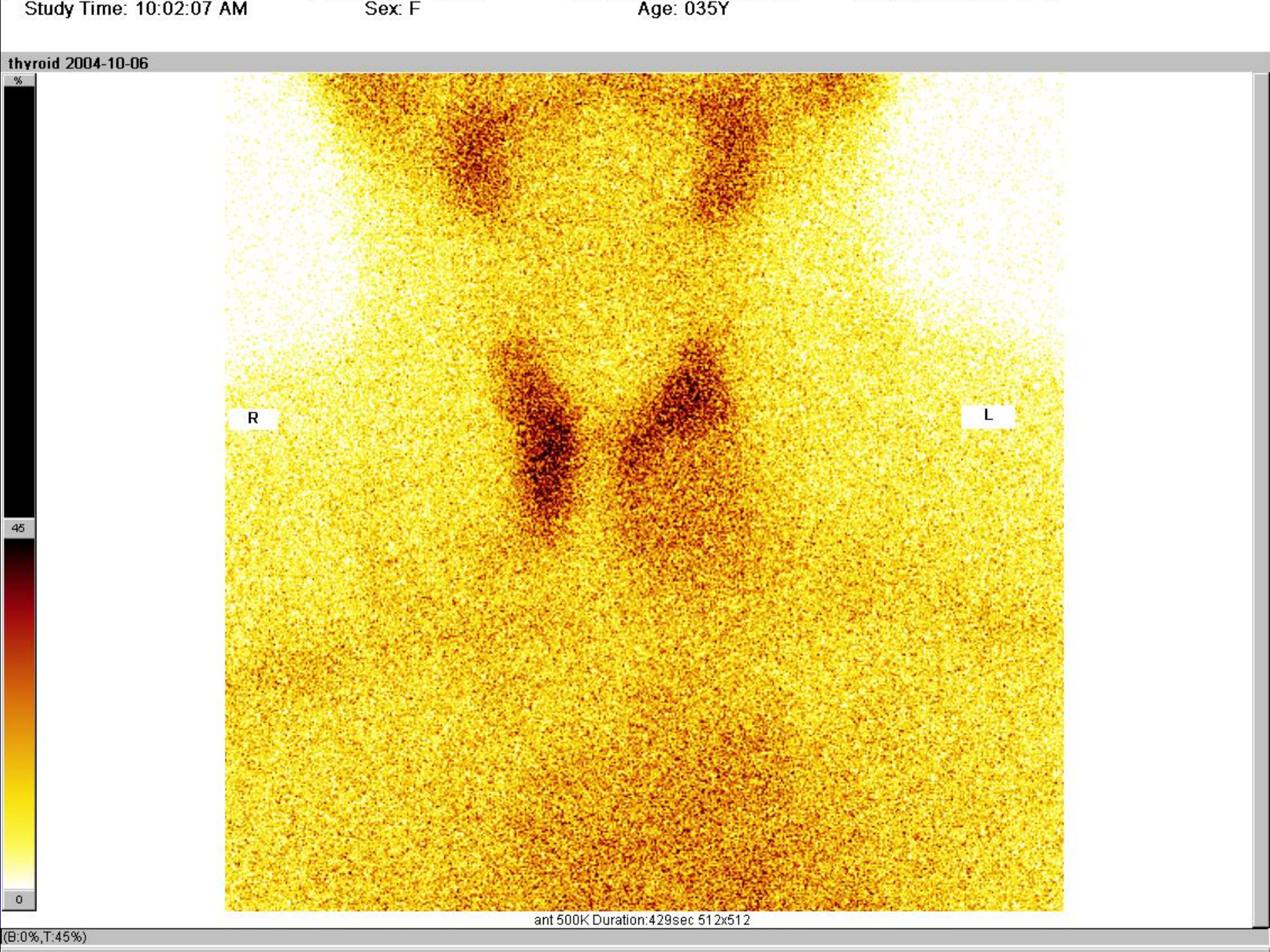


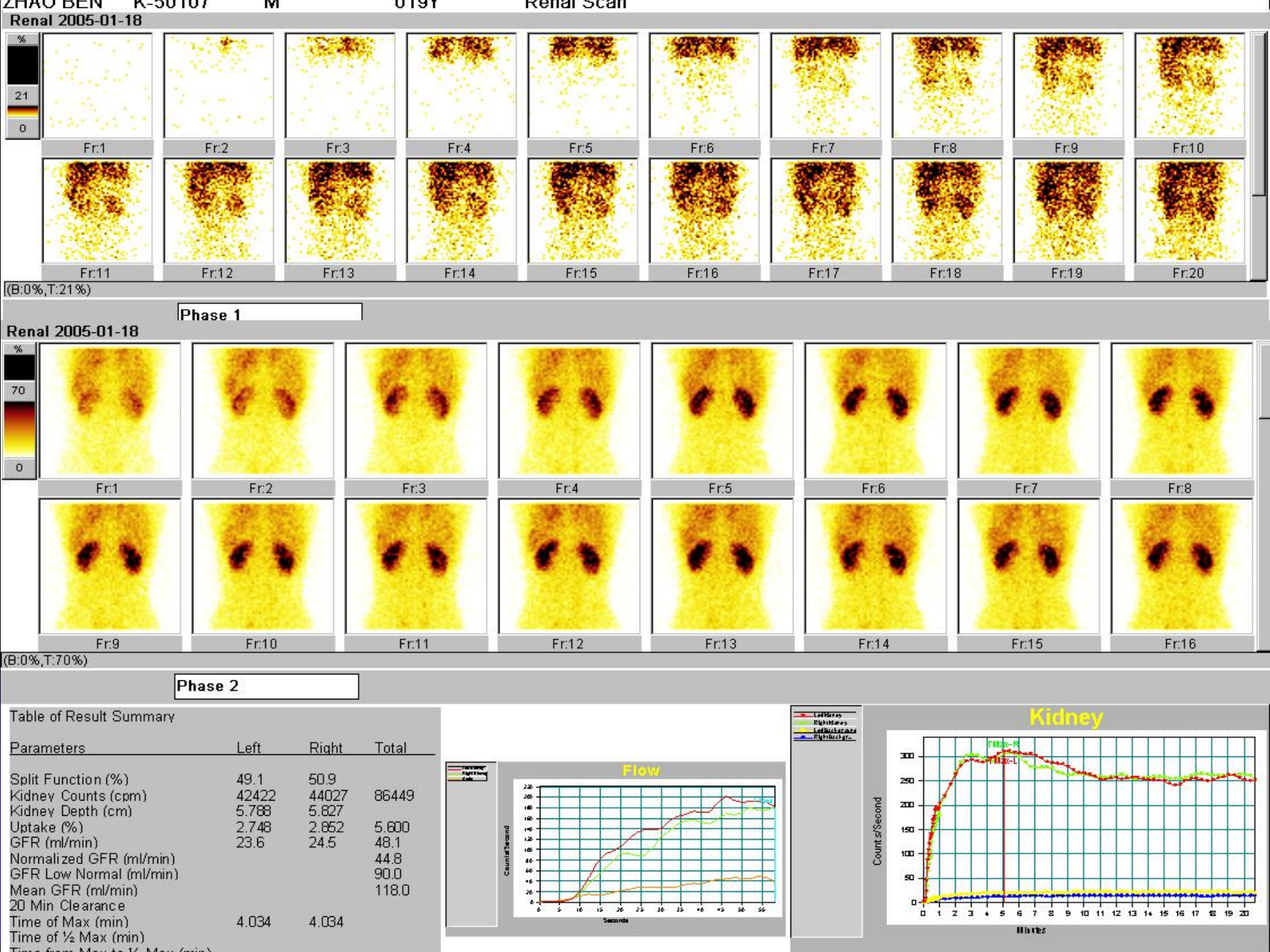
### (三) 图象显示的形式

- 1、平面显示与断层显示
- 2、静态显示与动态显示
- 3、局部显示与全身显示
- 4、电影显示
- 5、三维立体显示
  - a、表面转换法
  - b、容积转换法



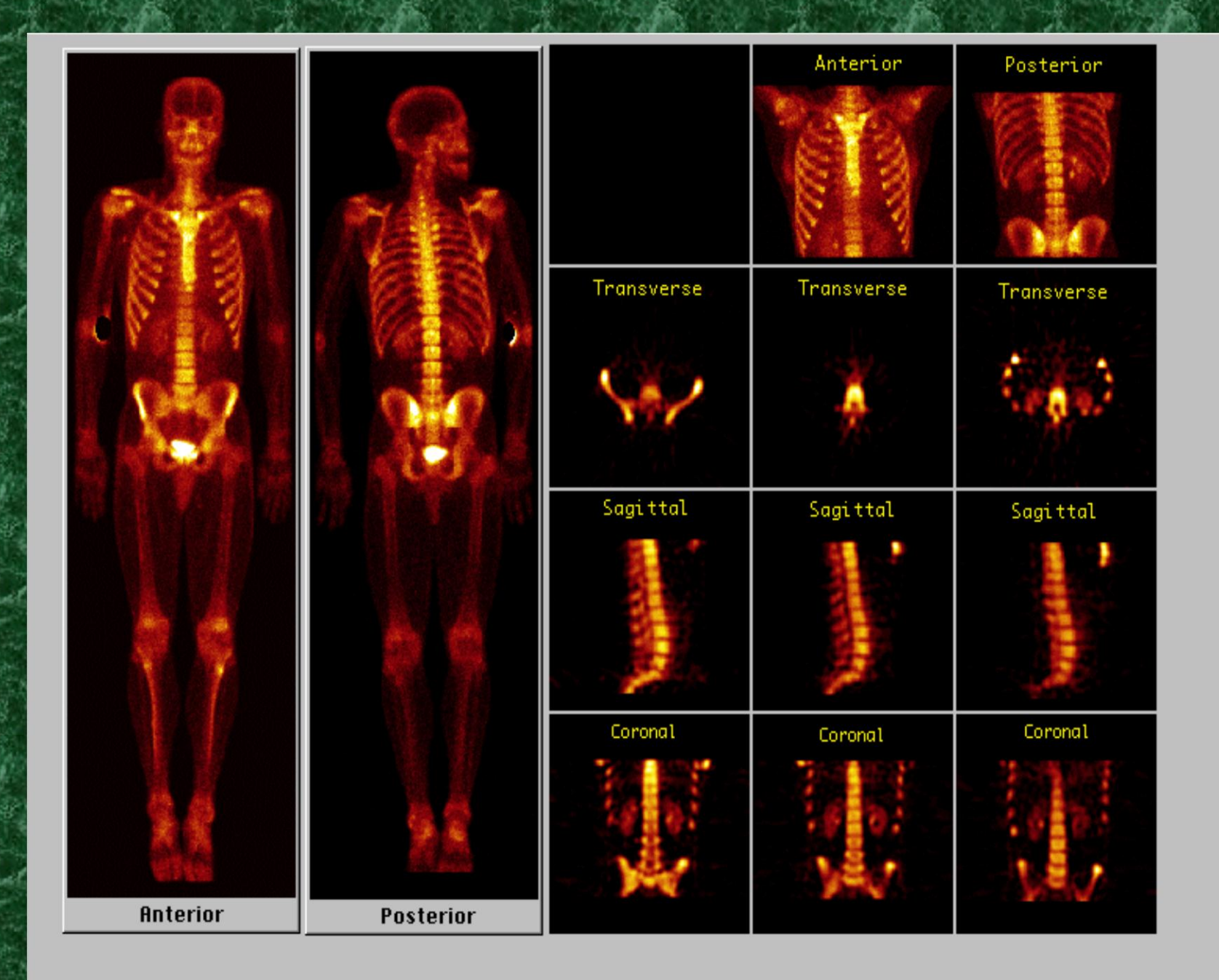


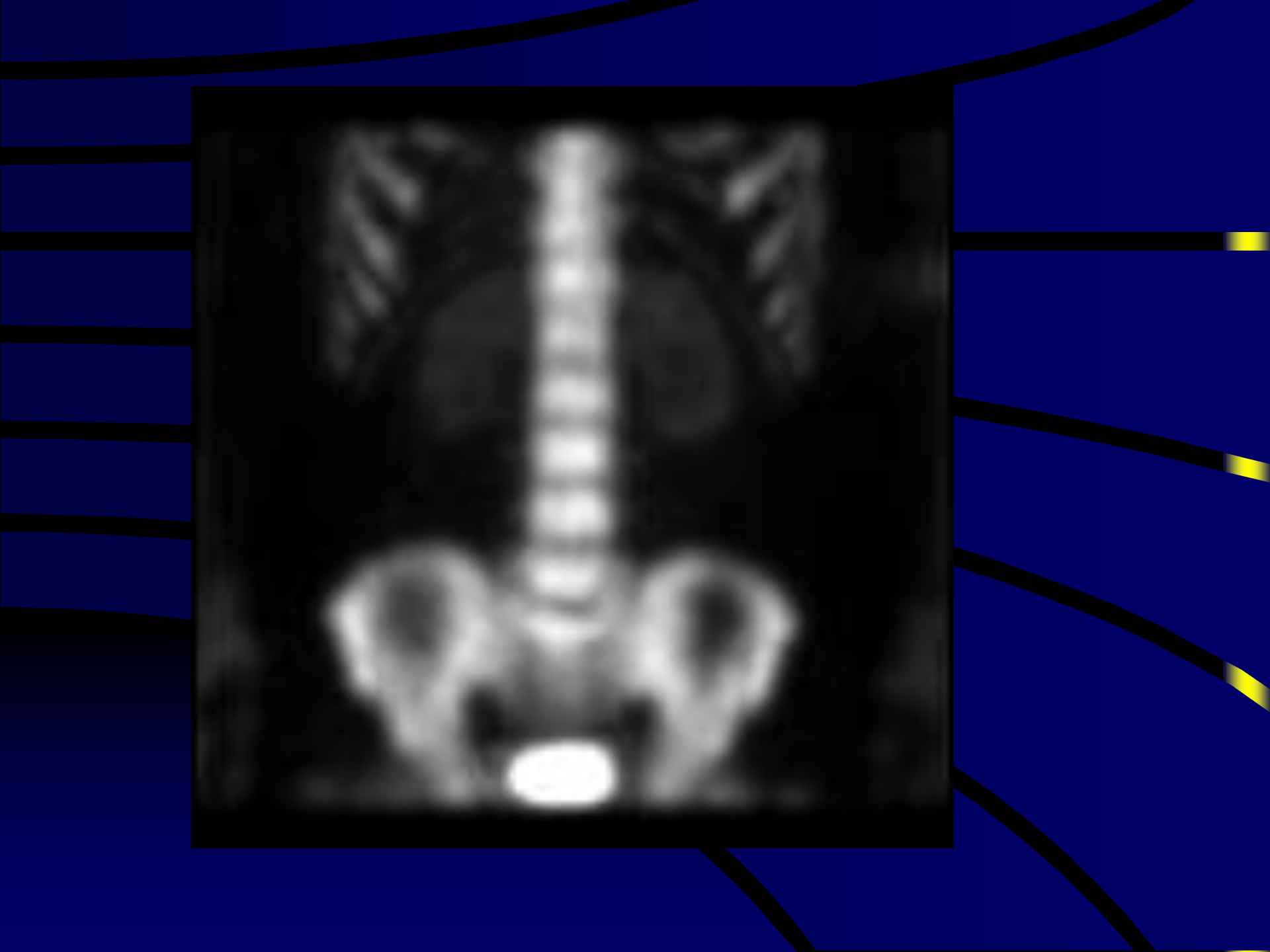




#### SIEMENS

#### LIGHIN TOTAL BODY SCALL





# 三维立体显示

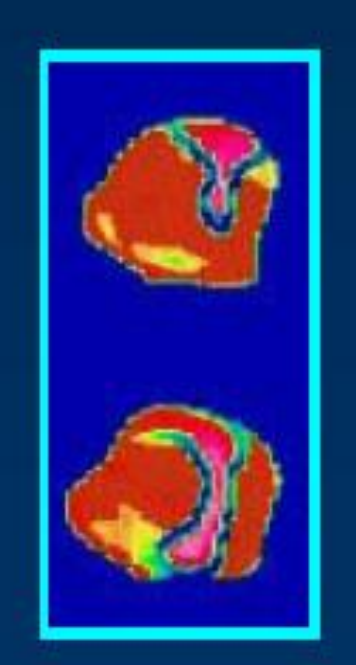
三维显示的种类

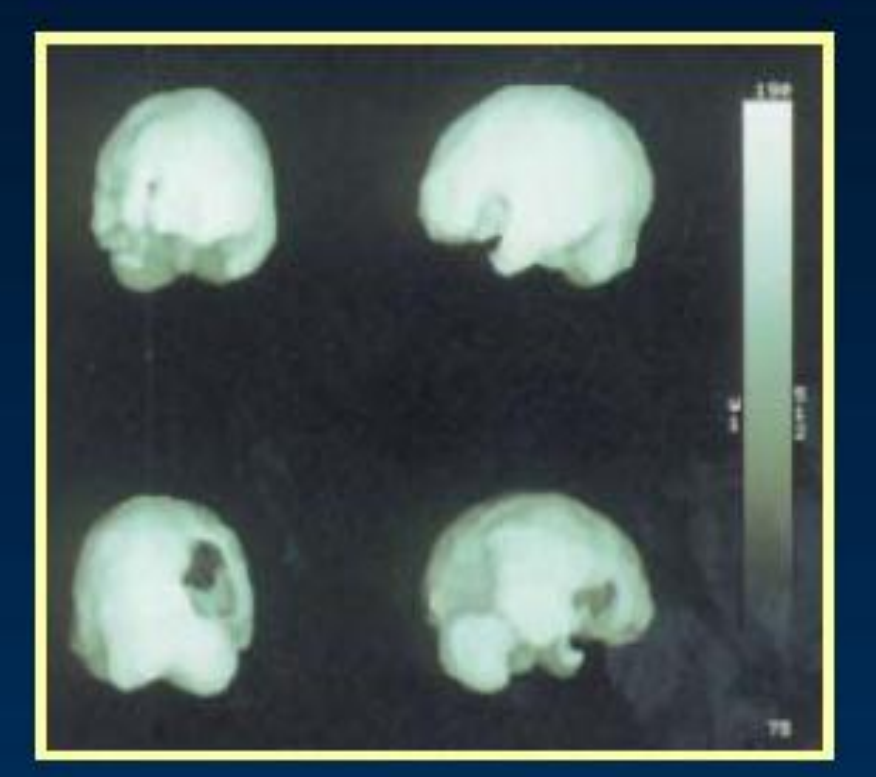
三维表面显示

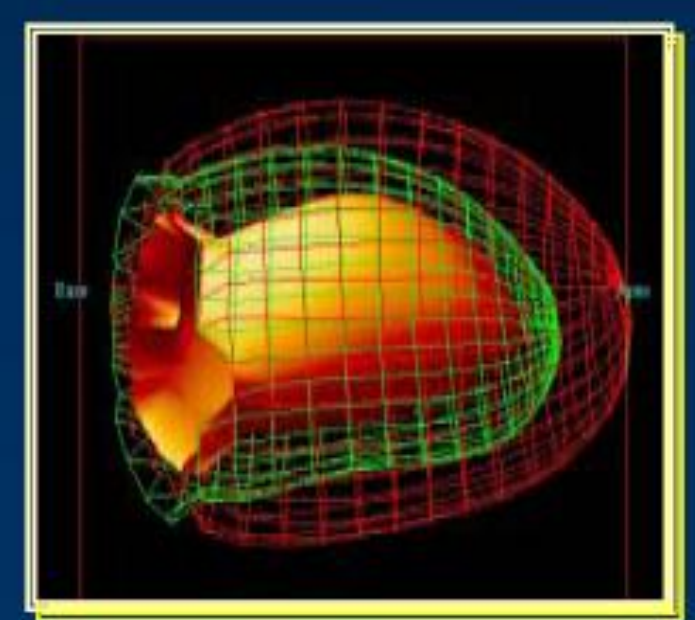
三维最大值显示

三维透明显示





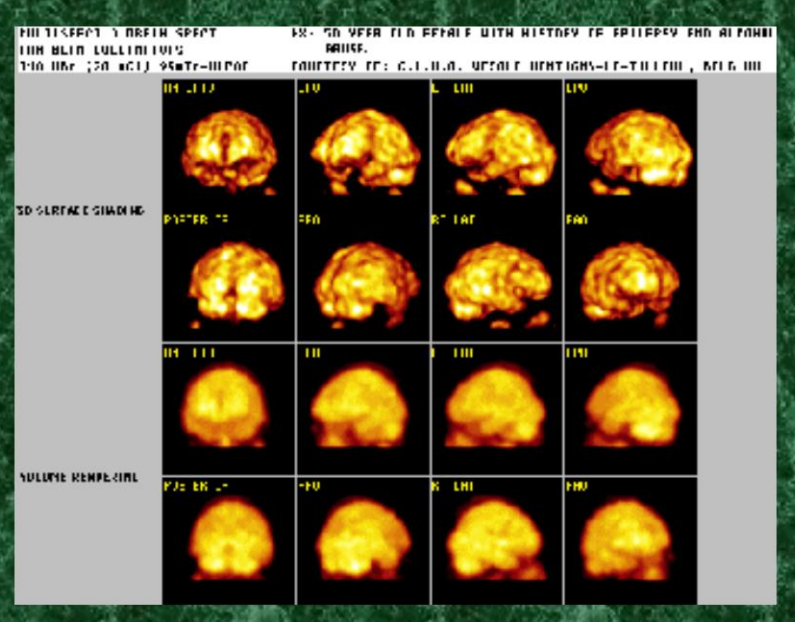




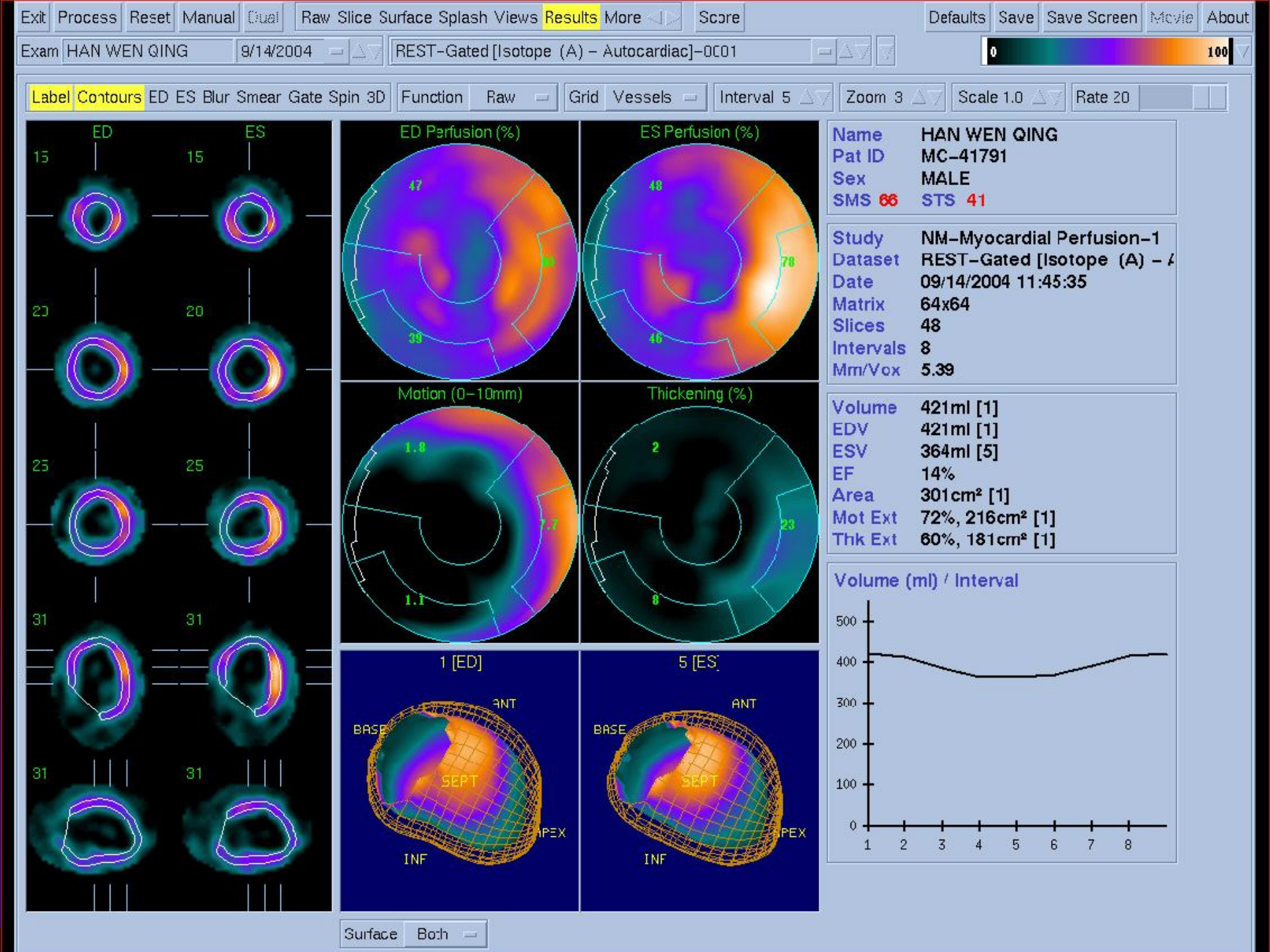


#### **SIEMENS**

# Neurology



- Brain Quantification
- Mallinckrodt Volume Rendering
- 3-D Surface Shading
- Fanbeam Collimation
- IterativeReconstruction
- Image Fusion



# (四)数字化图像的显示控制

- 一、编码上闽和下闽的调整(改变图像的亮度)
- 二、图像放大和缩小
- 三、图像复制(image copy)
- 四、图像滤波(image filter)
- 五、图像局部屏蔽 (masking)
- 六、动态图像的组合及动态显示(Dynamic)
- 七、曲线的生成、运算、及数据统计
- 八、电影显示
- 九、三维立体显示
- 十、图像融合显示(image fusion)

## SPECT与 Y 相机的比较

#### **SPECT**

- 探头旋转
- 二维断层图像重建三维图像, 反映单位体积的放射性浓度。
- 改变了脏器深度方面的空间 分辨率

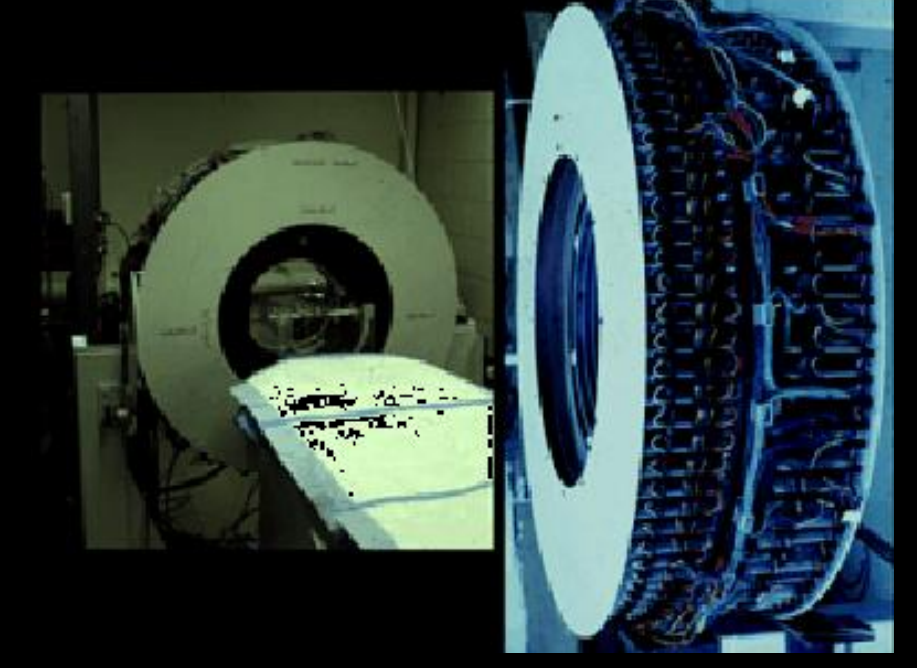
#### y 相机

- γ 相机固定
- · 二维重叠图像,反映单 位面积放射性浓度。
- 对表浅部位容易探测,对脏器深部就很困难

# 六、性能参数

#### 第四节 PET-正电子发射型计算机体层设备

• 1975年,利用发射正电子放射性核素实现脏器体层成像设备PET研制成功,80年代相继实现了正电子核素如用<sup>11</sup>C、 <sup>13</sup>N、 <sup>15</sup>0 、<sup>18</sup>F作标记化合物,进行生物体生理、生化或药理学等基础研究,PET成为当今在分子水平上利用医学影像技术研究人体新成代谢的有力武器。



• 动态成像: PET是发射型断层扫描技术的一种。 它可获得正电子标记药物在人体中的三维密度 分布, 以及这种分布随时间变化的信息。这种 检测能力的重要性表现在:一切生物活动都是 生物体内部生化反应的结果; 而每一种病理现 象背后,都隐含了一种或多种不正常的生化反 应。对生化反应的观测和研究,不仅将提高人 们对人体本身的认识,对各种病症的早期诊断 和对症治疗也大有稗益。

• PET采用发射正电子的核素来标记化合物,正电子标 记药物由静脉注入人体,随血液循环至全身。正电 子与人体内的电子相遇并涅灭产生两个背对背光子。 这对光子具有确定的能量(511kev),能穿透人体并 被环绕着人体的探测器探测到,提供正电子的位置 信息。用以图像重建为基础的软件进行处理后可得 断层图。由于PET可进行三维成像,有较高的灵敏度, 可在短时间内获得清晰的三维图像,这就使相连续 获取图像成为可能。以时间为轴的这样一系列三维 图像,经过数学处理,可从中提炼出有用的功能信 息——组织对某种物质的摄取比、生物率常数(如代 谢常数、血流)等。

• c, N. 0为生物体的自然组成成分,这使得标记过程变得简单,且标记后药物的生化性质基本不变。因此,PET的标记药物很丰富,并可根据所要研究的目标选择特异性药物。另外,这些核素的半哀期都很短,减少病人所受的辐射剂量,并可在短时期内重复测量。

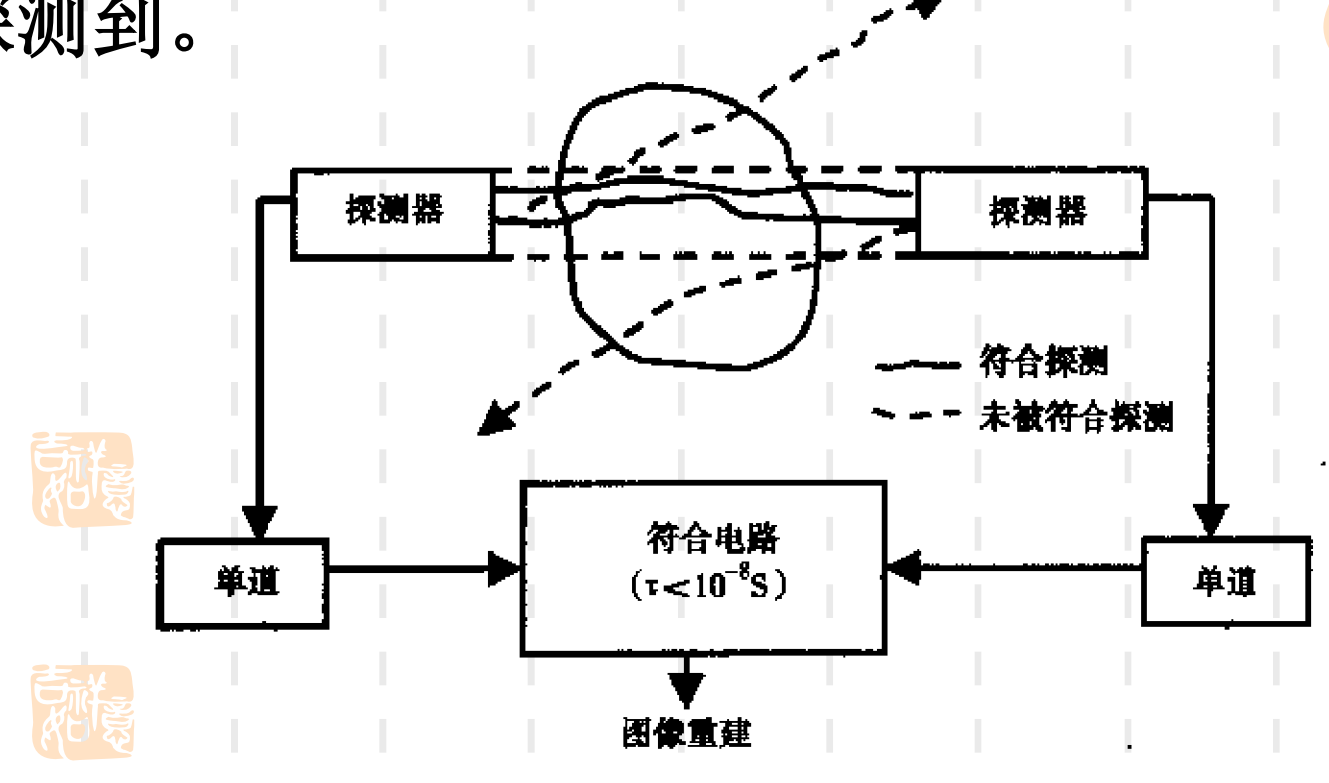
#### 一、正电子

- 1928年P. A. M. Dirac预言正电子存在,5年后C. Anderson观察到第一个正电子。当发生正电子衰变时、原子核的质子转变成一个中子、一个中微子和一个正电子,中子停留在原子核内,中微子和正电子发射出去。由于物理特性,中微子不与周围物质作用,正电子与周围电子相遇,形成两个能量(511Kev)相等、方向相反的γ光子,称为电子湮没辐射,由于正电子自能瞬间存在,很难测量,可以通过测量湮没辐射γ光子探测正电子。
- 用于临床的正电子放射性核素由回旋加速器产生<sup>11</sup>C、 <sup>13</sup>N、 <sup>15</sup>O 、<sup>18</sup>F标记化合物(水、氧、糖、氨基酸),注入到人体内。通过摄像将药理、生理、生化的过程转变成图像。他们的半衰期短: <sup>11</sup>C(为20min)、 <sup>13</sup>N(为10min)、 <sup>15</sup>O (为2min) <sup>18</sup>F (为110min)。

- 用小型回旋加速器产生的11C、13N、15O和18F都是在放出正电子的同时,衰变成相应的同位素。将其标记在水、氧、糖、氨基酸等代谢物质上,注入病人体内,通过摄像,将生理的、药理的、生化的过程等转变为图像。正电子各有其固有的射程(在人体内为数厘米),然后与体内的电子结合而消失。
- 正电子发射体发射出的正电子(β+)在极短时间内与其临近的电子(β-)碰撞而发生湮没辐射,即在二者湮没的同时,产生两个方向相反的能量皆为511keV的γ光于。两个相对的γ闪烁探头加符合电路组成湮没符合探测装置。



上述两个方向相反的γ光子可以同时分别进入这两个探头,通过符合电路形成一个Z信号,而被探测到。



符合电路:

图 7-12 湮没符合探測装置

当两个511kev湮没辐射光子在预设的符合时间窗内被探测到时,系统会认为有一个"有效事件"发生。

■ "光子准直"或"电子准直"

湮没辐射发生的位置限于这两个探头的有效视野内, 故探头视野越小,Z信号的定位范围越窄。精度(空 间分辨串)越高。凡在此视野外或在此视野内发生 的湮没辐射,所产生的两个v光子不能同时入射两 个探头者,皆不能形成符合信号,因而不能被记录。 可见这种位置探测不需要一般的屏蔽型准直器,而 是依靠两个光子的特殊方向和符合电路来实现。 于免去了一般的屏蔽型准直器,因而极大地提高了 探测灵敏度(一般准直器挡去90%以上的应该入射 视野的射线)。







#### 其它概念

- 飞行时间time of flight:正、负电子湮没产生的两个能量相等,方向相反的γ光子到达探测器的时间的差值称为 飞行时间。
- γ校正:为了准确确定放射性核素在人体器官组织中的密度,PET需对γ射线校正。由于PET能精确测定位置,可精确校正,SPECT不能精确校正。根据探测深度控制接收通道中放大倍数。

## PET的特点

- 所用的放射性核素是人体的基本元素, 易于标记代谢过程;
- 对射线的限束是电子准直。
- 缺点是核素标记药物的制备比较麻烦

- PET与γ照相机和SPECT相比,具有的优点:
  - (1) 不需要准直器
  - (2) 检测灵敏度高
  - (3) 本底小,分辩力好

本底值是指没有进样时检测器的信号值,本底值大小和检测器类型有关,由所处环境所形成的较稳定的辐射水平或声量决定,大于此本底的欲测效应(如放射性强度)使用仪器(如盖革计数器)测量。

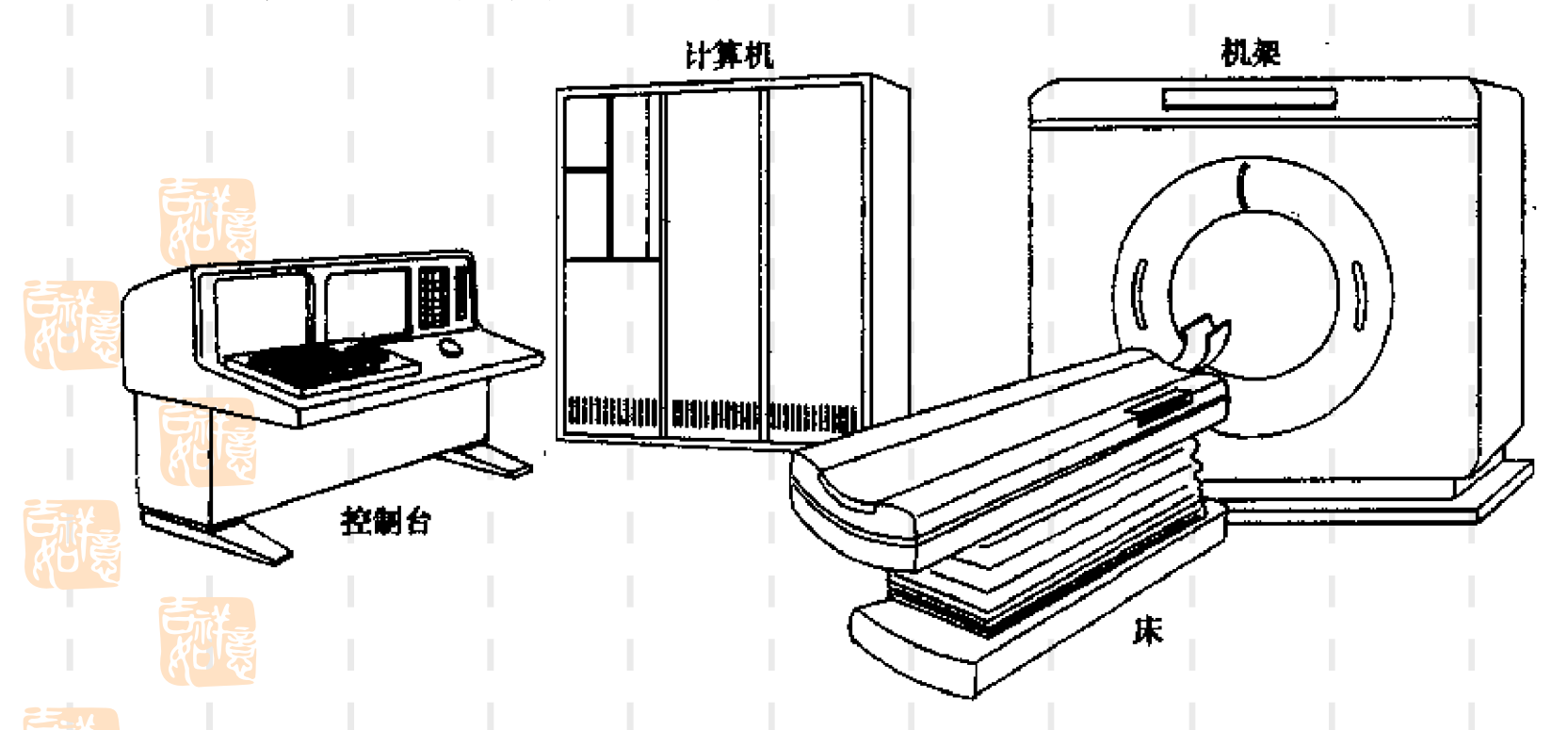
本底噪声,亦称背景噪声。一般指除有用信号以外的总噪声:包括设备噪声和环境噪声两部分。比如电视声中除节目声音外的"沙沙"声等。

- (4) 易于吸收校正
- (5) 可正确定量

## 二、基本结构与工作原理

THE REPORT OF THE PARTY OF THE

- 与SPECT基本相同
- 全身PET结构示意图



















PET最常用的探头是由数百个成对分布的小型γ闪烁探测器组成的环形装置。人体置于环中,体内的湮没辐射产生成对光子可投影到相应的成对探测器中,四周众多探测器获得的这些投影信息就可以重建体层图

像。 受检者 符合电路

图 7-13 PET 结构示意图



# PET探头转动方式增加扫描线,以获得更多信息和缩短采集时间

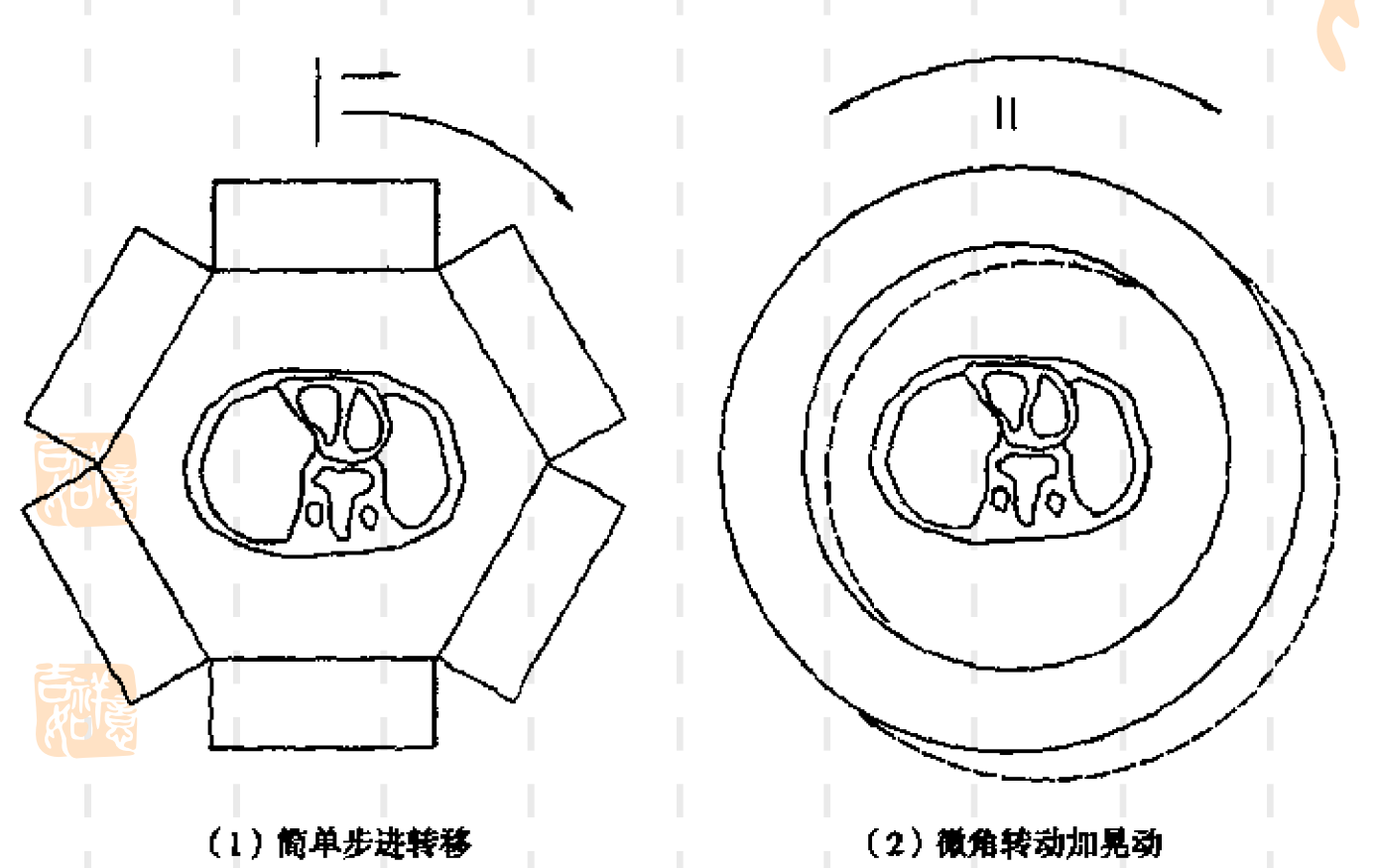




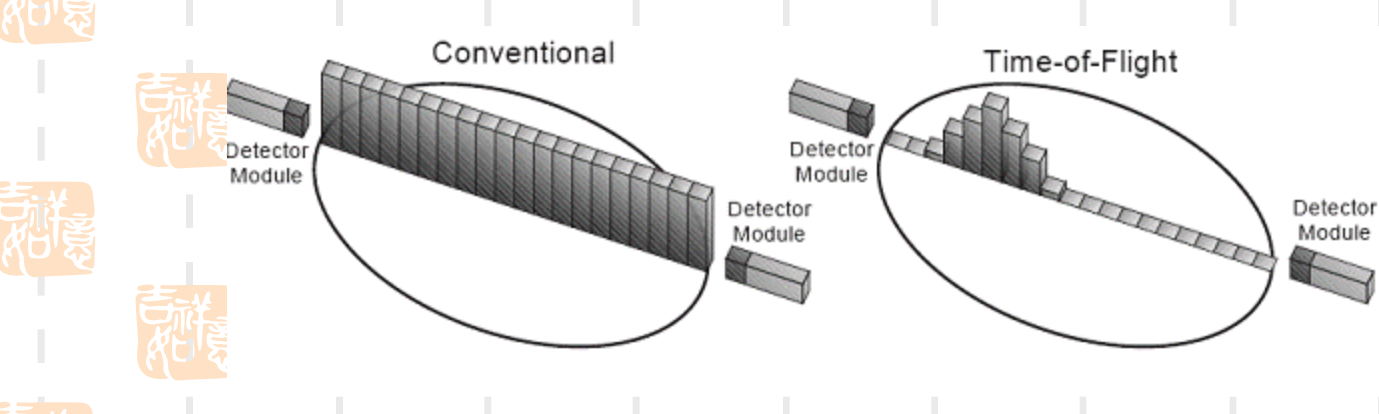
图 7-14 PET 探头转动方式



#### 一、探测器

#### ■ 飞行时间(time of flight ToF)技术

- 在传统PET技术,正电子湮没辐射发生的原始位置,在射线命中的两块晶体所连成的响应 线上。但在响应线上具体哪个位置,却只有通过图像重建才可以确定。由于没有任何其他 信息提供,重建算法在进行起始重建时,被迫假定湮没位置在响应线的所有位置的概率是 一样的,这样就相当于把许多正确的信息放在了错误的位置上,由此导致了大量的噪声。
- 在ToF PET中,两个湮没辐射的光子到达晶体的实际时间差可被测量并记录,距离响应线中心位置越远,两个光子到达晶体的时间差越大。利用该时间差,理论上可以确定湮没辐射的位置。但由于系统时间响应有一定的误差,因此所确定的湮没辐射的位置也不是一个精确的点,只能限定在以该点为中心的一定范围。但即便如此仍可对重建参数进行约束,将湮没辐射位置初步确定在数厘米范围内,进而对该事件的重建信息(位置、浓度)就可以进行更合理的权重分配。





- 里论上,如果ToF PET系统的时间分辨率可以达到20ps,而且晶体切割合理,那么正电子湮没辐射范围的定位精度可以达到3mm,这几乎是PET在临床条件下的极限分辨率。以现代高级临床PET 晶体横截面大小4mm\*4mm为例,如果需要利用ToF效果来将湮没辐射位置限定在5mm范围内,那么两个光子到达双侧晶体的时间差的测量精度必须限定在30ps范围之内(假定光速是300,000km/s)。这种情况下,PET将彻底去除图像重建的需要,采集数据后即可以直接显示,PET的计算机结构和工作流程有可能相应发生一些改变。
- 目前ToF PET的系统时间分辨率还做不到30ps,但基于LSO (铈) 硅酸镥和LYSO(钇、铈) 硅酸镥晶体的ToF PET系统目前已可以做到600皮秒时间分辨能力。稳定性也较好。







- 里论上,如果ToF PET系统的时间分辨率可以达到20ps,而且晶体切割合理,那么正电子湮没辐射范围的定位精度可以达到3mm,这几乎是PET在临床条件下的极限分辨率。以现代高级临床PET 晶体横截面大小4mm\*4mm为例,如果需要利用ToF效果来将湮没辐射位置限定在5mm范围内,那么两个光子到达双侧晶体的时间差的测量精度必须限定在30ps范围之内(假定光速是300,000km/s)。这种情况下,PET将彻底去除图像重建的需要,采集数据后即可以直接显示,PET的计算机结构和工作流程有可能相应发生一些改变。
- 目前ToF PET的系统时间分辨率还做不到30ps,但基于LSO (铈) 硅酸镥和LYSO(钇、铈) 硅酸镥晶体的ToF PET系统目前已可以做到600皮秒时间分辨能力。稳定性也较好。







- 许多人也许还记得ToF PET是八十年代中期热烈讨论的概念,但当时经过仔细研究又最终在临床PET上放弃了。那么为什么二十多年后ToF PET又有可行性了呢?差别就在于现在的ToF PET使用了新的晶体和超高速电路。
- 在上个世纪九十年代,业界当时能获得的具有较好时间分辨率的晶体是BaF2(氟化钡)和CsF(氟化铯),基于这两种晶体的PET系统时间分辨率在550-750 ps。但不幸的是,这类系统在时间分辨率方面得到的信噪比提升,远抵不上这些晶体的低探测效率导致的信噪比损失。









- 现在的市场上基于BGO鍺酸铋晶体的系统,BGO有较高的阻止性能,对511kev光子提供好的探测效率,但其较慢的衰减时间和低光输出量导致其时间分辨率和能量分辨较差。基于BGO晶体的PET系统在三维模式时其较高的散射分数和较宽随机符合时间窗对图像质量的进一步提升造成了很大的障碍。从技术角度看,BGO晶体退出历史舞台是必然的。
- 近来研究发现新一代晶体如LSO和LYSO 具有良好的时间分辨率,阻止光子的性能优异,探测效率一流,这些新晶体的出现,为人们重新开启了ToF技术的大门,并为PET图像质量的提升指出了一条可持续发展的道路,那就是不断缩小晶体、光电倍增管、电路及其他附属部分的时间损耗,提高整体的时间分辨能力,由此稳步提升PET的信噪比,提升临床图像的分辨率。

### 探测器

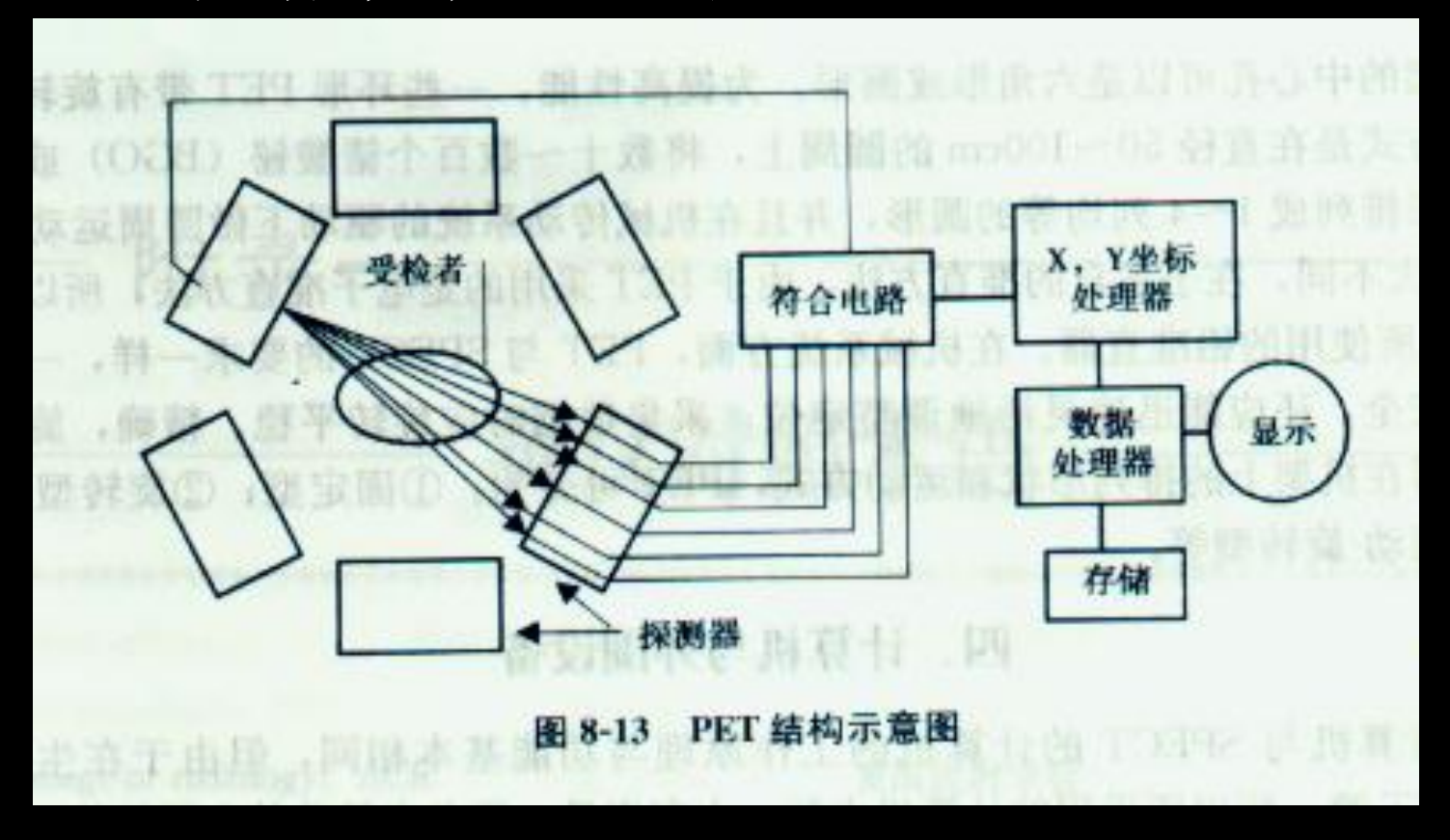
- · 作用: 将来自己人体的γ射线转变成电信号。
- · 基本结构: 两个相对的γ闪烁探头,加符合电路组成。
- 工作原理:
- 探头探测器:将γ光子打在晶体上闪烁,经光导纤维传递到 光电倍增管上,亮度信号
- 符合电路: 电子器件要识别时间间隔(8-12ns), 它相当于准直器的作用,γ光子到达探测器的时间,可以确 定电子湮没的位置(核素位置),两个探头有γ光子输入才 有输出,自有一个探头有γ光子符合电路无输出。
- 幅度鉴别电路: 信号达到一定幅度时才有输出。

探測器 符合探測 未被符合探测 符合电路 单道 单道 (t<10-8s) 图像重建 湮没符合探测装置

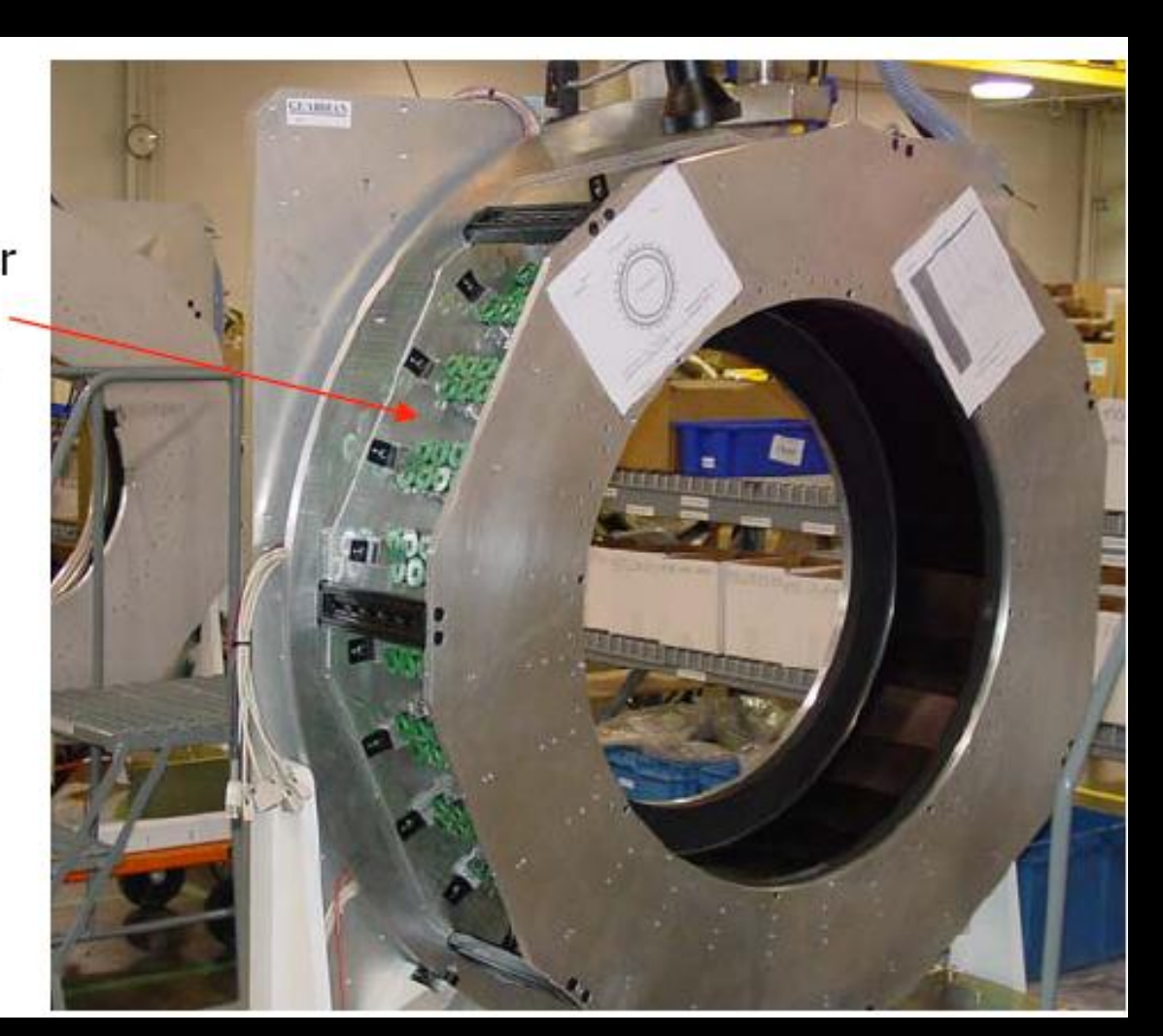
由于湮灭辐射产生 的两个光子具有很强的 同时性和直线性,只有 落入两个探头组成的视 野内的 ¥射线才能被接 收。因此,探头视野越 小,经符合电路形成的Z 信号定位范围越窄,空 间分辨率越高。这种准 直称为光子准直, 又称 电子准直。

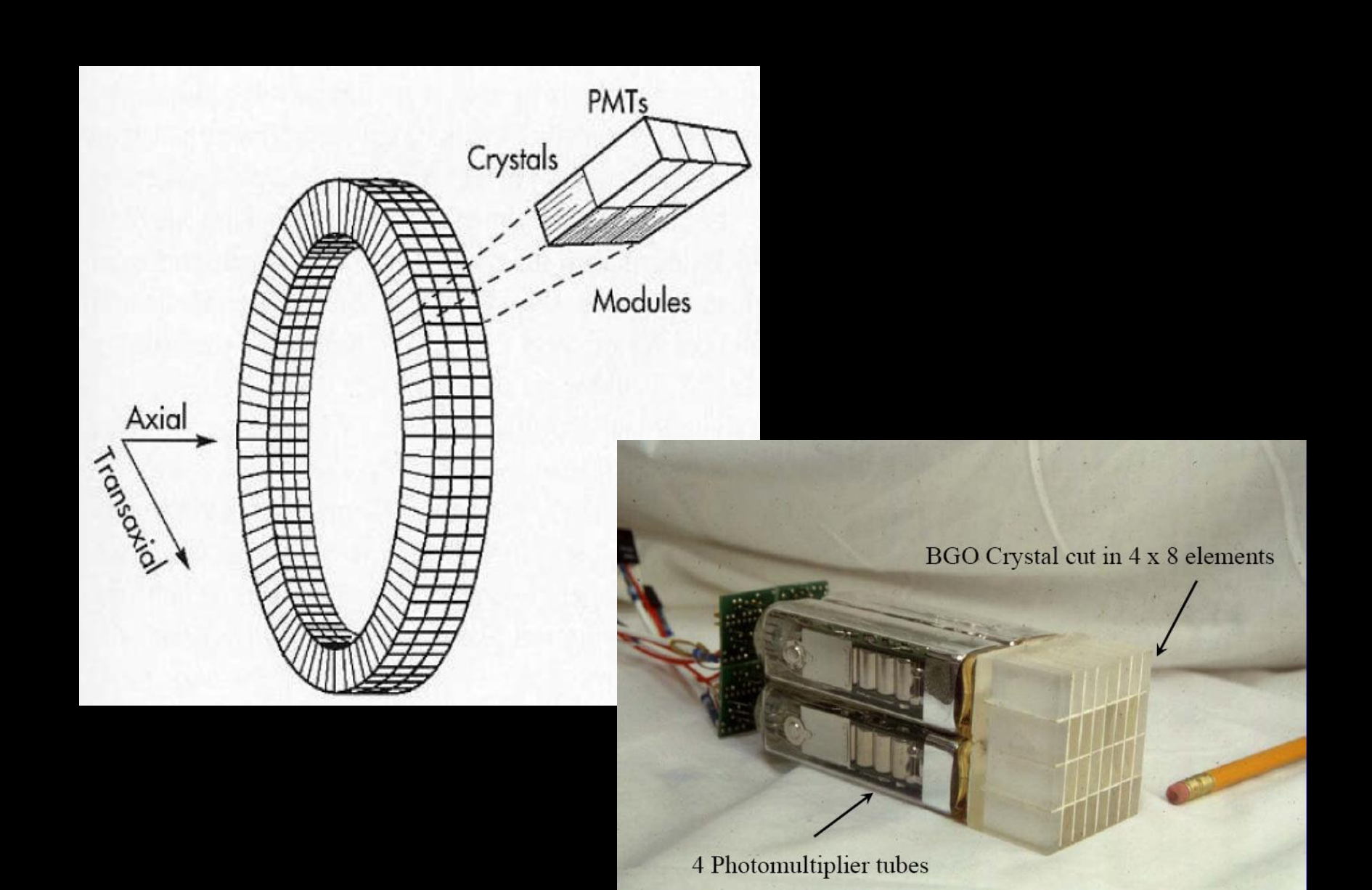
#### PET的扫描

- 成百上千符合探头排列在一个圆周上、人体脏器发出任何射线都能检测。
- 扫描与数据采集8-13图



Detector + PMT assemblies





### 数据采集

- PET以测量正负电子湮灭灭产生的两个背对背Y 光子为其物理基础。湮灭光子被环绕着受检者 (物)的环形探测器以符合逻辑探测到并由计算机 控制采集数据。由于标记的核素、药物的不同性 质,以及扫描的目的各异,在数据采集时各参数 可随要求而变。对不同的药物,生物体有着不同 的时间响应,因而要把握好开始扫描的时间,以 及采集的时间长度和间隔。
- PET所记录的原始数据是标记物密度的线积 分的组合

### 二、射线屏蔽装置

- 1、高能滤过器
- 2、轴向屏蔽
- 3、轴向隔栅

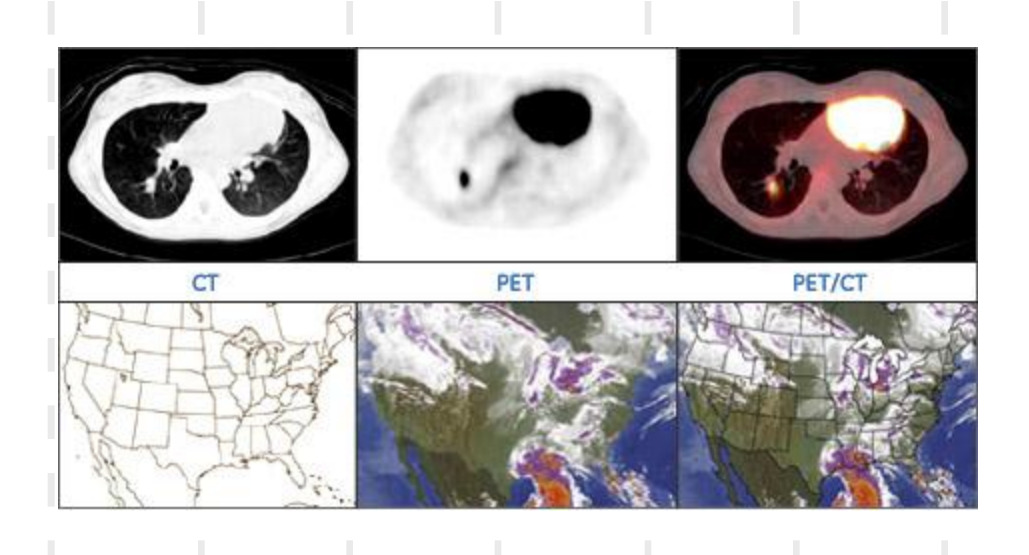
## 三、棒源

## 四、PET探测电路

机架 计算机与外围设备 图像融合设备

- PET-CT
- PET-MRI





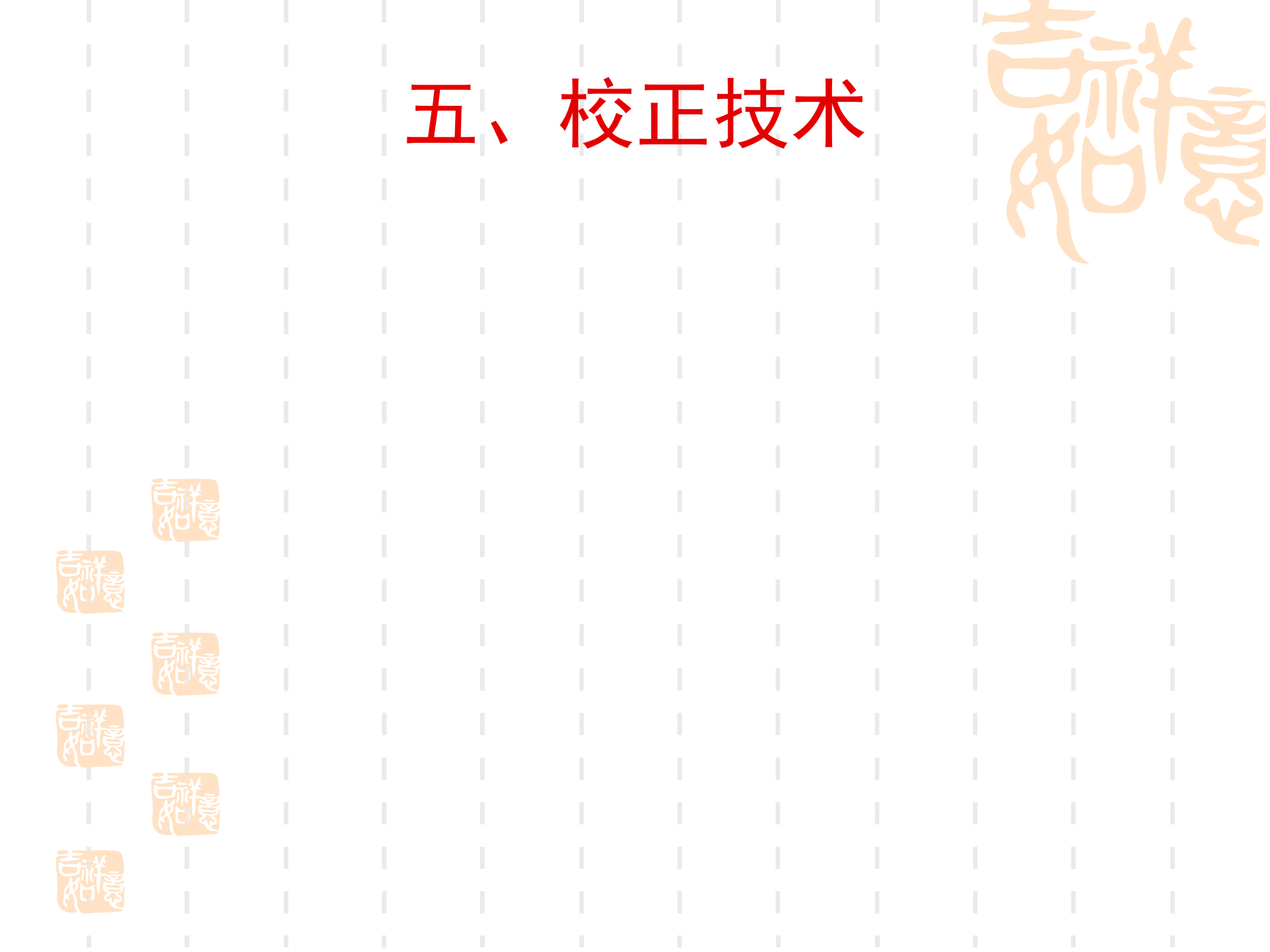






#### 图象重建

- 为得到药物的密度分布函数f(1),还须一个图像重建的求逆过程。早期的CT和PET多是二维成像,并由此发展出许多二维重建算法。三维成像近几年随着三维PEI的出现,受到广泛重视,也存在着多种算法,有些是从二维重建算法发展和推广而来。各种重建算法可简单地归为两类:变换法和迭代法。变换法是以中心分片定理为理论基础的求逆过程,适合计算机运算,能快速地求解;迭代法可将被测物的结构(如解剖接构)、探测器的几何与物理特征、放射性的统计分布等信息结合在重建过程中,尤其适合于统计精度较低或信噪比差的数据,但计算颇为费时。
  - 多数PET采用滤波反投影,变换法。这个算法最早是由Bracewell和Riddile在1967年,Ramachandran和Laksbminarayanan在1971年,根据Radon和Cormack的理论提出来并应用于计算机断层技术。自1972年起,这个算法便鲜有改动,且一直为大多数CT.SPECT和PET系统所采用。
    - 二维图僚重建算法(变换法)
- 变换法图像重建是以中心分片定理(又称傅立叶分片定理,Four阶书lice theorem)为基列的。其中又有滤波反投影法(filtered backprojection,FBP)、反投影滤波器法(backproje破ion们tered,BPF)或P滤波法(P—filteredlaye,8ram)、卷积反投影法(convolution—backProJectl。几



## 六、性能参数

#### PET性能指标

● 评价一个PET设备的好坏,是以它的各项性能指标为参考的。PET应用中较重要的物理参数主要有:空间分辨率、灵敏度、信噪比、时间分辨率、能量分辨率等。这些是决定图像质量的关键。

#### 空间分辨力

通常以三个垂直方向上点源响应的半高宽来表示空间分辨:沿扫描仪纵轴的轴向分辨,与之垂直的横断面上的径向和切向分辨。视野今央由弓:取样的缘故空间分辨最好,当远离视野中心时(横向),由于光子穿透效应空间分辨会逐步降低。目前一般医用PET在视野中心的空间分辨为4—6mm,而实验室PET最好可达2mm,接近理论极限。

从理论上来说,对空间分辨的限制有两条;正电子飞行距离和两涅灭电子的非共线性。正电子发射后,在人钵组织中飞行一段距离,动能逐步降低,最后与人体组织中的电子结合并煙灭产生一对背对背约光子(动量守恒)。飞行距离与正电子能量和物质的密度均有关,而由于电子在介质中的运动(费米运动),正负电子系统的总动量并不严格为零,两光子的飞行方向有一定的偏差角,呈高斯分布,半高宽约为o.50。这两种效应将空间分辨的极限限制在1—2mm。

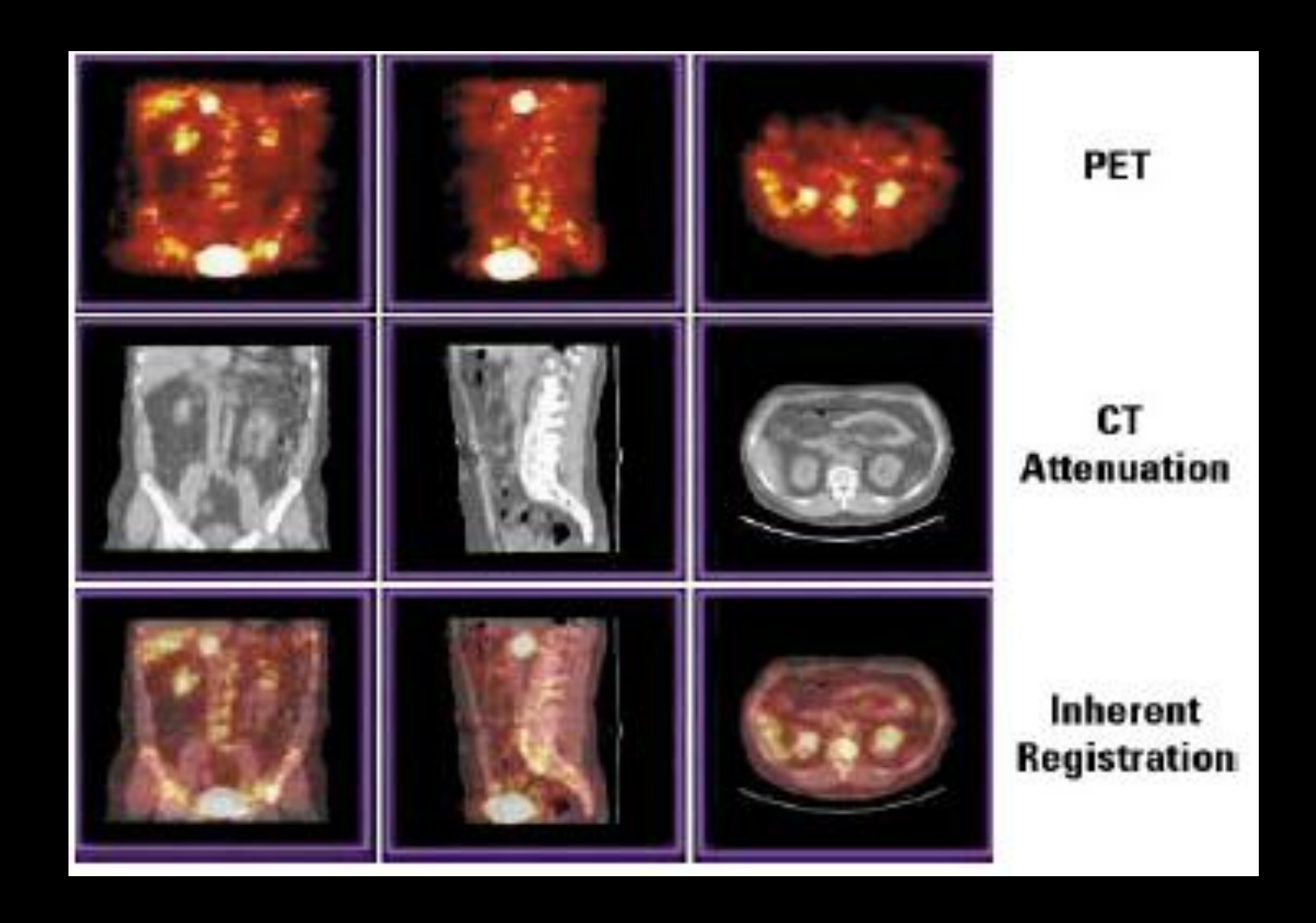
尽管空间分辨存在着物理极限,目前限制空间分辨的主要还是探测器的内在分辨,而这取决于单个探测表面的尺寸。如何实现PMT与小晶体的有效锅合是提高内在分辨的关键,这要 求晶体本身有高的光产额,PMT有好的量子效率且易于紧密排列,限制空间分辨的还有重建参数,如取样频率、像素大小、截止频率等。

#### · 灵敏度

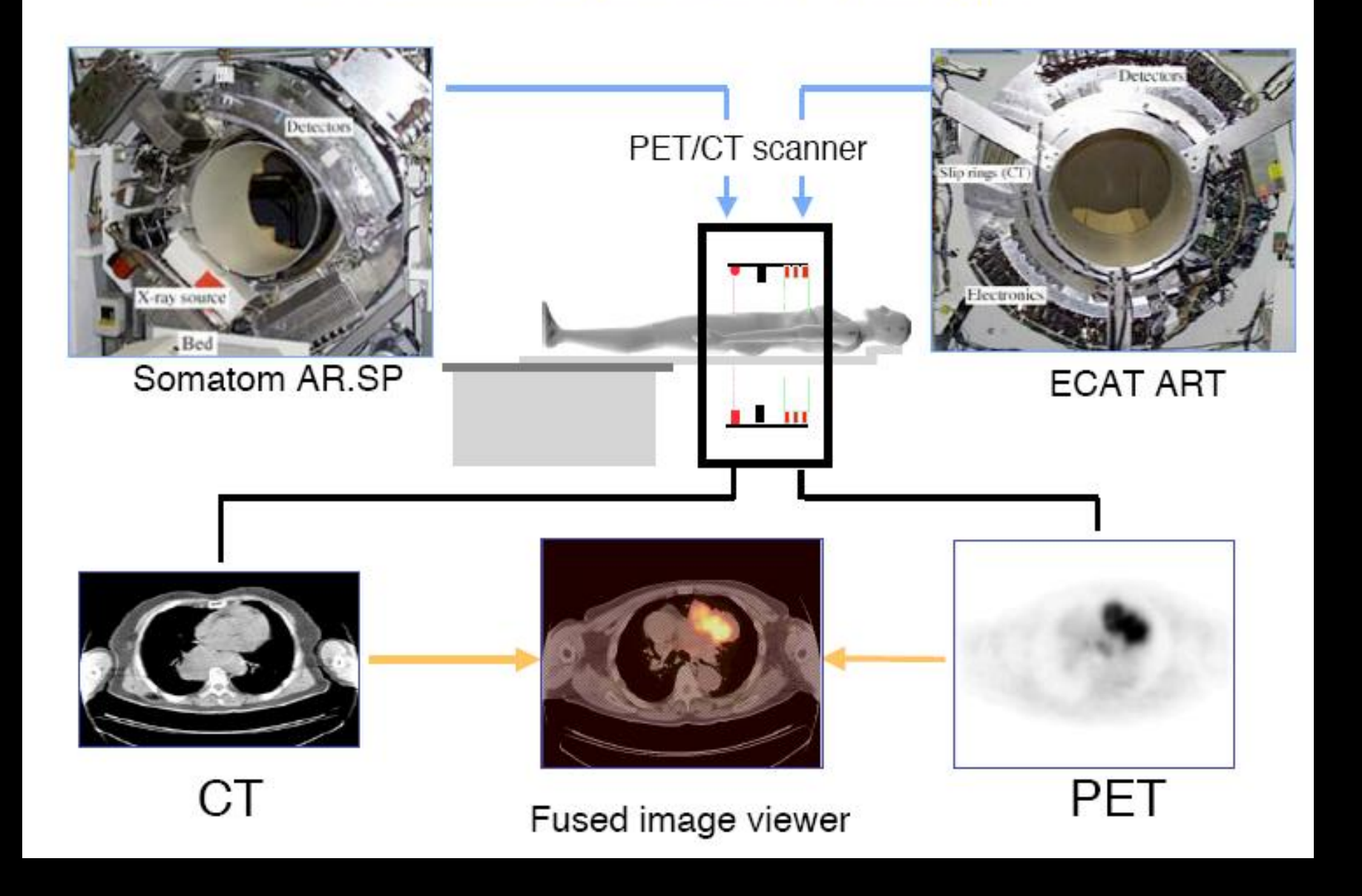
灵敏度是指扫描仪在单位时间内单位辐射剂量条件下所获得的符合计数。这决定了在一定的统计误差要求下,获取一张清晰的图像所需的时间。这在PET系统的动态扫描和临床应用中有着非常重要的意义。扫描的时间要求短,这不仅是因为标记物在体内的分布随时间迅速变化,也考虑到受试者保持长时间不动的困难。反过来. 当扫描时间一定,灵敏度越大,总计数越多,统计涨落引起的误差就越小。另一层考虑是辐射剂量,很显然13扫描时间和总计数一定时PZ敏度越大,所需剂量越小,由辐射引起损伤的儿率也降低。

灵敏度主要由两个因素决定:探测器所覆盖的立体角和探测效率。

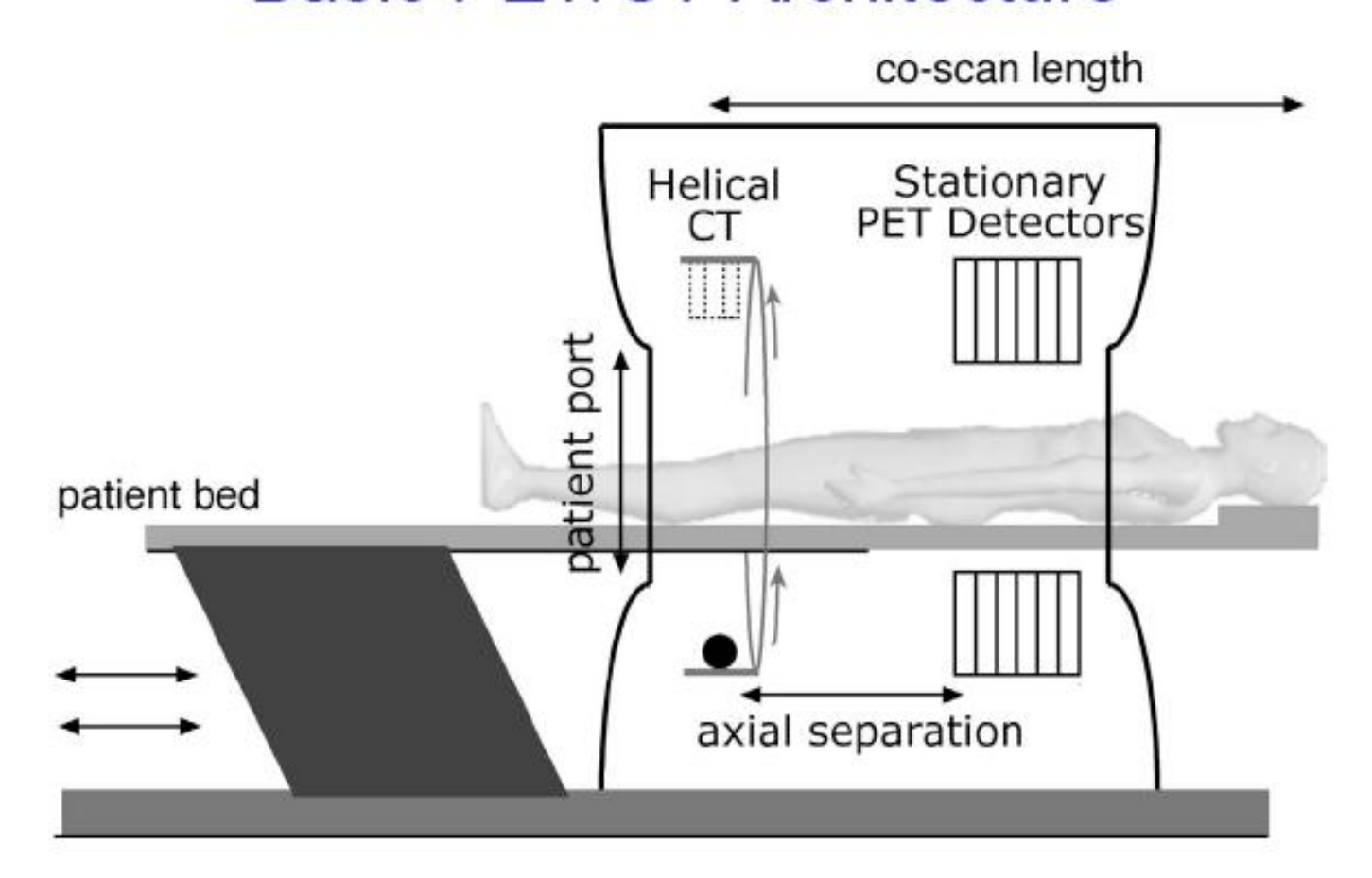
### 图像融合设备



#### 1998: Pittsburgh PET/CT prototype



### Basic PET/CT Architecture



# 图像融合技术 (image fusion)

#### 功能代谢显像 SPECT、HPET和PET

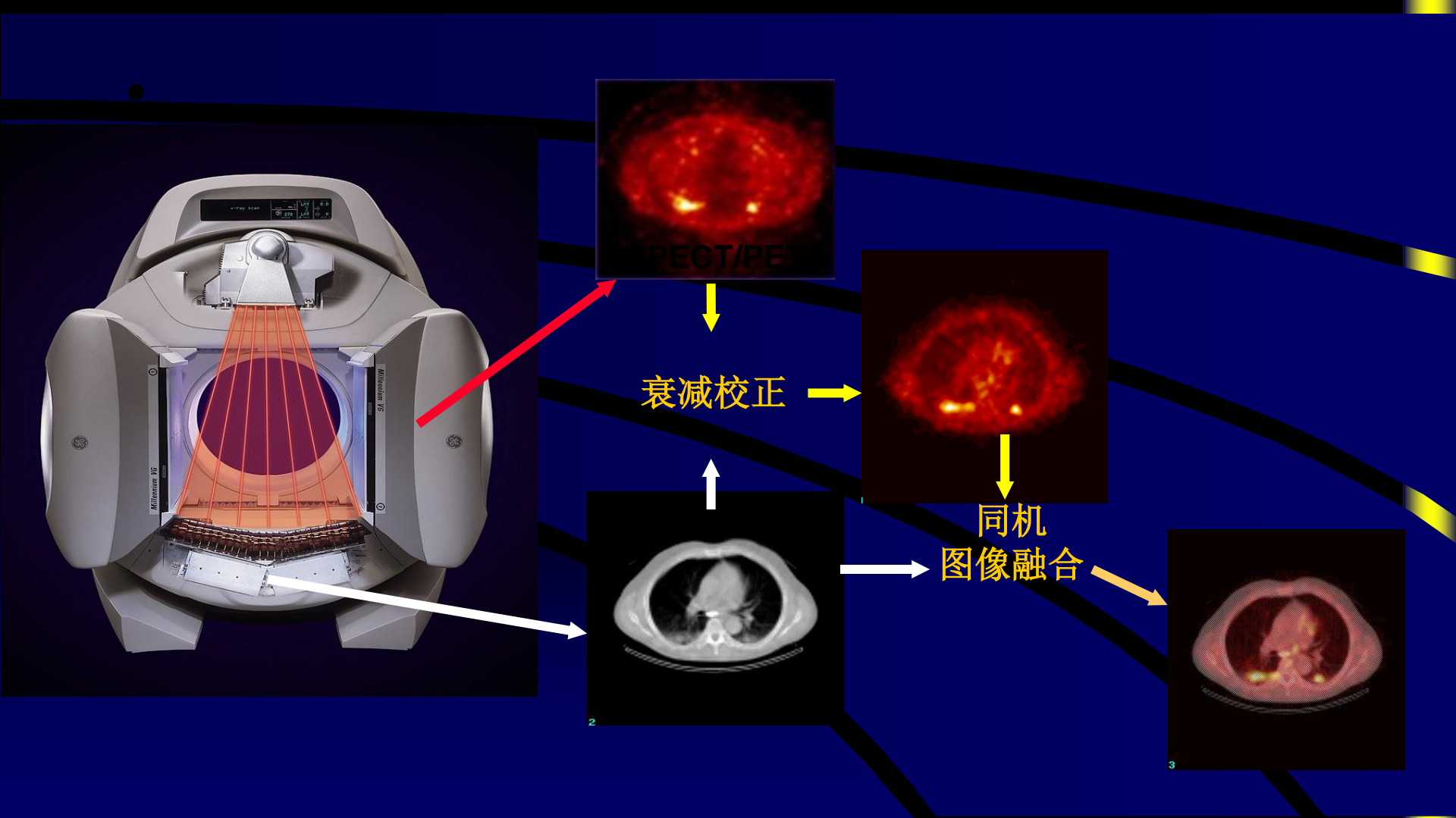
解剖+功能代谢显像 CT+HPET CT+PET

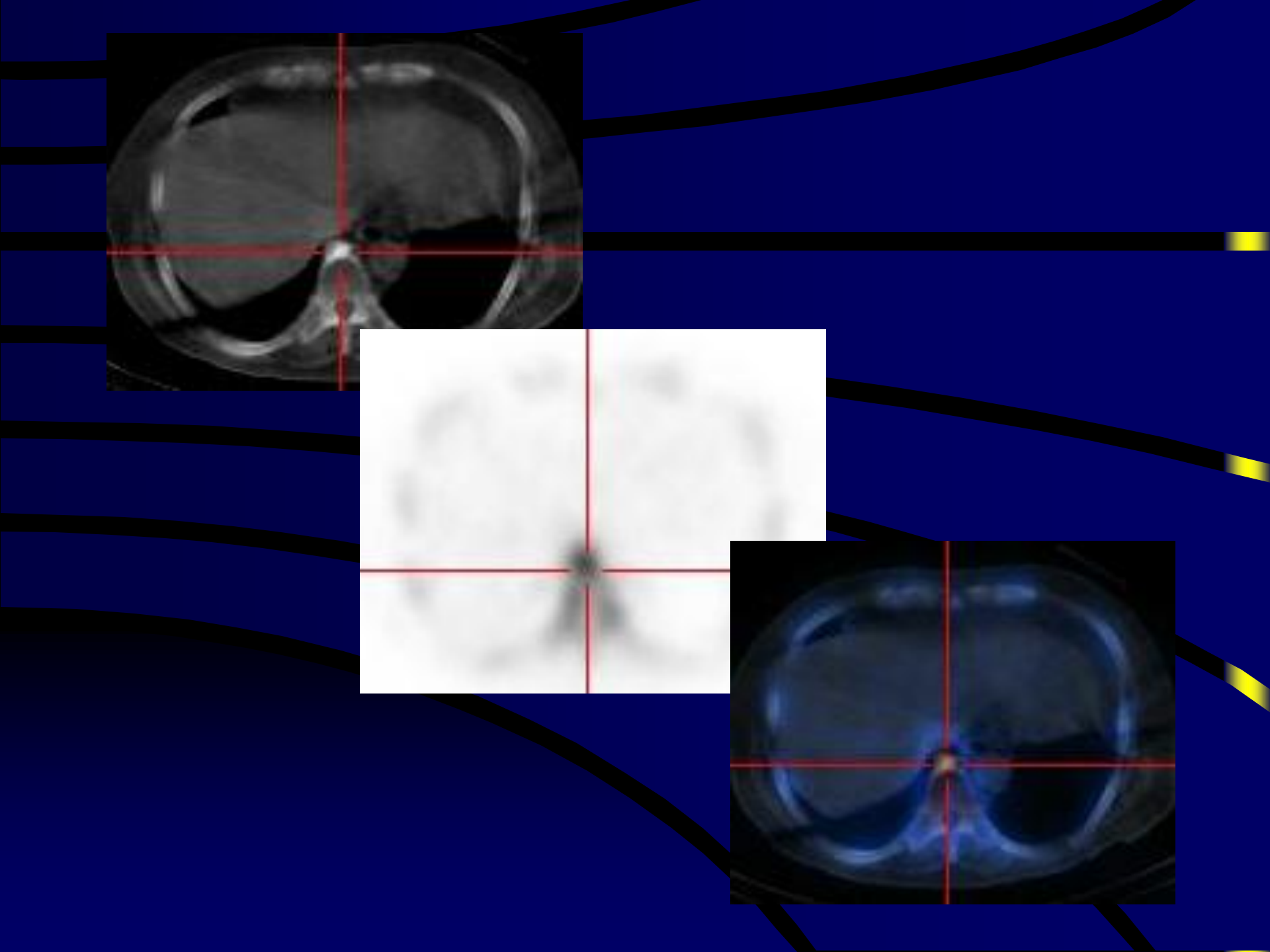
解剖图像 CT和MR

图象融合和定量分析

#### 核医学设备发展的方向!

# Hawkeye 图像



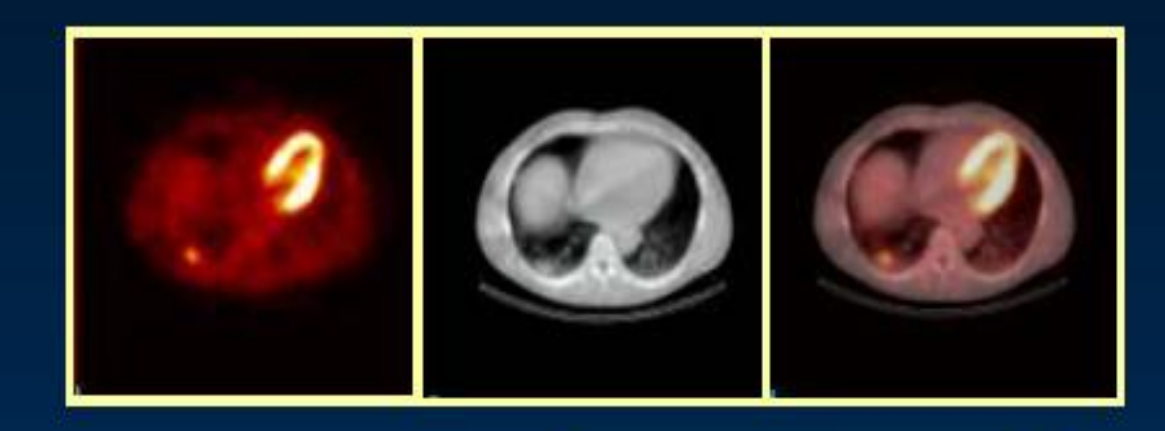


## 数字图像的融合

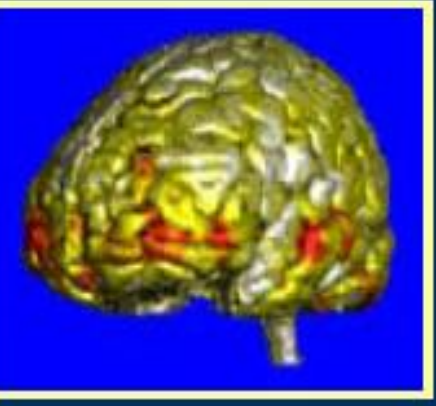
### 图像融合

二维融合

三维融合











### 图像融合技术



融合的作用

- 1. 同时提供解剖定位+功能显像
- 2. 帮助临床制定合理的手术方案
- 3. 指导》刀、 X 刀定位
  - 4. 适形调强放疗 (精细放疗)